

АЗЭРБАЙЧАН ССР ЕЛМЛЭР АКАДЕМИЈАСЫ  
АКАДЕМИЯ НАУК АЗЕРБАЙДЖАНСКОЙ ССР

---

МЭРҮЗЭЛЭР  
ДОКЛАДЫ

ТОМ XXVI ЧИЛД

3

---

«ЕЛМ» НЭШРИЙДАЫ  
ИЗДАТЕЛЬСТВО «ЭЛМ»  
БАКЫ—1970—БАКУ

АЗӘРБАЙЧАН ССР ЕЛМЛӘР АКАДЕМИЈАСЫ  
АКАДЕМИЯ НАУК АЗЕРБАЙДЖАНСКОЙ ССР

# МӘРҮЗӘЛӘР ДОКЛАДЫ

ТОМ XXVI ЧИЛД

№ 3



ЕЛМ· НӘШРИЈАТЫ  
ИЗДАТЕЛЬСТВО „ЭЛМ“  
БАКЫ—1970—БАКУ

582621

УДК 517.512

АРИФ С. ДЖАФАРОВ

ОБ ОБРАТНОЙ ЗАДАЧЕ ТЕОРИИ НАИЛУЧШИХ  
ПРИБЛИЖЕНИЙ ФУНКЦИЙ НА СФЕРЕ И НА ОТРЕЗКЕ

(Представлено академиком АН Азербайджанской ССР З. И. Халиловым)

Как известно (см., например, [7], стр. 355 или [5], стр. 165–167), обратные теоремы теории наилучших приближений функций, заданных на конечном отрезке, посредством алгебраических многочленов, в отличие от периодического случая являются менее полными и позволяют судить о дифференциальных свойствах изучаемых функций не на всем отрезке задания, а только лишь на отрезках, целиком лежащих внутри него. В данной статье получены некоторые теоремы, в которых по порядку убывания наилучшего приближения алгебраическими многочленами устанавливаются структурные свойства функций уже на всем отрезке задания. Аналогичные теоремы получены и для функций, заданных на сфере.

Мы будем рассматривать как функции  $f(\theta, \varphi)$ , заданные на поверхности единичной сферы  $S$  с центром в начале координат трехмерного евклидова пространства, так и функции  $f(x)$ , заданные на отрезке  $[-1, 1]$ .

Пусть  $f \in L_2(E)$ , где  $E$  означает или  $S$ , или же  $[-1, 1]$ . Положим, в случае  $E = S$ ,

$$[f(\theta, \varphi)]_h = \frac{1}{2\pi \sin h} \int_{C(P; h)} f(Q) dS_Q, \quad (1)$$

где  $C(P; h)$  — окружность на  $S$  с центром в точке  $P = (\theta, \varphi)$  и со сферическим радиусом  $h$  (таким образом, интеграл (1) есть среднее значение функции  $f(\theta, \varphi)$  по окружности  $C(P; h)$ ), и в случае  $E = [-1, 1]$

$$[f(x)]_h = \frac{1}{\pi} \int_0^\pi f(x \cosh + \sqrt{1-x^2} \sin h \cos \theta) d\theta, \quad h > 0; \quad (2)$$

(интеграл (2) есть среднее значение функции  $f(x)$ , взятое по параметру  $\theta$ ).

Введем величину

$$\omega^{(2)}(f; \delta)_E = \sup_{h < \delta} \|f - [f]_h\|_{L_2(E)},$$

РЕДАКЦИОННАЯ КОЛЛЕГИЯ: Р. Г. Исманлов (главный редактор), Г. Б. Абдуллаев, Ш. А. Азизбеков, Г. А. Алиев, В. Ю. Ахундов, В. Р. Волобуев, Д. М. Гусейнов, М. А. Дадашзаде (зам. главного редактора), М. А. Далин, М. А. Кашкай (зам. главного редактора), С. М. Кулев, М. Ф. Нагиев, А. С. Сумбатзаде, М. А. Топчибашев, З. И. Халилов, Г. Г. Зейналов (ответственный секретарь).

Адрес: г. Баку, Коммунистическая, 10. Редакция «Докладов Академии наук Азербайджанской ССР».

Сдано в набор 11/II 1970 г. Подписано к печати 10/VI 1970 г. Формат бумаги 70 × 108<sup>1/16</sup>. Бум. лист. 2,75. Печ. лист. 7,54. Уч.-изд. лист. 6,5. ФГ 01209. Заказ 89. Тираж 830. Цена 40 коп.

Типография им. Рухуллы Ахундова Государственного Комитета Совета Министров Азербайджанской ССР по печати. Баку, Рабочий проспект, 96.

153597  
Центральная научная  
БИБЛИОТЕКА  
Академии наук Киргизской ССР

где

$$\|f\|_h = \begin{cases} \|f(0, \varphi)\|_h, & \text{в случае } E = S, \\ \|f(x)\|_h, & \text{в случае } E = [-1, 1]. \end{cases}$$

Обозначим через  $E_n^{(2)}(f)_E$  наилучшее приближение функции  $f$  в метрике пространства  $L_2$ , посредством сферических сумм порядка  $\leq n-1$  при  $E = S$  и алгебраических многочленов степени  $\leq n-1$  при  $E = [-1, 1]$ . Напомним, что сферическая сумма порядка  $n$  есть выражение вида

$$S_n(\theta, \varphi) = \sum_{k=0}^n Y_k(\theta, \varphi),$$

где

$$Y_k(\theta, \varphi) = C_k P_k(\cos \theta) + \sum_{m=1}^k (a_{km} \cos m\varphi + b_{km} \sin m\varphi) P_k^m(\cos \theta);$$

здесь  $P_k(x)$  — обычный, а  $P_k^m(x)$  — присоединенный полином Лежандра,  $C_k, a_{km}, b_{km}$  — произвольные постоянные.

Наконец, под оператором  $D_E$  будем понимать или оператор Лапласа на сфере

$$D_{0, \varphi} \equiv \frac{1}{\sin \theta} \frac{\partial}{\partial \theta} \left( \sin \theta \frac{\partial}{\partial \theta} \right) + \frac{1}{\sin^2 \theta} \frac{\partial^2}{\partial \varphi^2},$$

или оператор Лежандра

$$D_k \equiv \frac{d}{dx} (1-x^2) \frac{d}{dx}.$$

Через  $C, C_1, C_2, \dots$  обозначим постоянные, зависящие от указанных параметров.

Доказательства нижеприводимых теорем существенно опираются на следующие неравенства.

Пусть  $H_n$  означает сферическую сумму порядка  $n$ , в случае  $E = S$ , алгебраический многочлен степени  $n$ , в случае  $E = [-1, 1]$ .

Лемма 1. При любом натуральном  $n$  справедливо неравенство

$$\|D_E H_n\|_{L_2(E)} \leq 2n^2 \|H_n\|_{L_2(E)}.$$

Это неравенство является аналогом известного неравенства С. Н. Бернштейна для производных тригонометрического полинома.

Лемма 2. При любом  $h > 0$  имеет место неравенство

$$\|H_n - [H_n]_h\|_{L_2(E)} \leq \frac{1}{2} h^2 \|D_E H_n\|_{L_2(E)}.$$

Теорема 1. Для любой функции  $f \in L_2(E)$ , при любом натуральном  $n$  справедливо неравенство

$$\|f\|^{(2)} \left( f; \frac{1}{n} \right)_E \leq \frac{C_1}{n^2} \sum_{k=1}^n k E_k^{(2)}(f)_E.$$

Теорема 2. Пусть  $f \in L_2(E)$  и при некотором натуральном  $p$  расходится ряд

$$\sum_{n=1}^{\infty} n^{2p-1} E_n^{(2)}(f)_E.$$

Тогда  $f$  почти всюду на  $E$  совпадает с функцией, допускающей  $p$ -кратное применение оператора  $D_E$ , для которой  $D_E^p f \in L_2(E)$  и, кроме того,

$$1) \quad E_n^{(2)}(D_E^p f)_E \leq C_2(p) \left\{ n^{2p} E_n^{(2)}(f)_E + \sum_{k=n+1}^{\infty} k^{2p-1} E_k^{(2)}(f)_E \right\};$$

$$2) \quad \|f\|^{(2)} \left( D_E^p f; \frac{1}{n} \right)_E \leq C_3(p) \left\{ \frac{1}{n} \sum_{k=1}^n k^{2p+1} E_k^{(2)}(f)_E + \sum_{k=n+1}^{\infty} k^{2p-1} E_k^{(2)}(f)_E \right\}.$$

Пусть  $\varphi(\delta)$  — заданная невозрастающая функция,  $\varphi(\delta) \rightarrow 0$  при  $\delta \rightarrow 0$ . Говорят, что функция  $\varphi(\delta)$  удовлетворяет ( $I_2$ ) — условию С. М. Лозинского [1], если существует константа  $C_4 > 1$  такая, что

$$1 < \lim_{\delta \rightarrow 0} \frac{\varphi(C_4 \delta)}{\varphi(\delta)} \leq \lim_{\delta \rightarrow 0} \frac{\varphi(C_4 \delta)}{\varphi(\delta)} < C_4^2.$$

И говорят, что функция  $\varphi(\delta)$  удовлетворяет ( $N^\alpha$ ) — условию С. Б. Стечкина [6], если для фиксированного  $\alpha > 0$  существует константа  $C_5 > 0$  такая, что для  $0 < \delta < \eta$

$$\eta^{-\alpha} \varphi(\eta) \leq C_5 \delta^{-\alpha} \varphi(\delta).$$

Из теоремы 1 и 2, в качестве следствия, вытекает

Теорема 3. Пусть функция  $\varphi(\delta)$  удовлетворяет ( $I_2$ ) — условию С. М. Лозинского. И пусть для функции  $f \in L_2(E)$  при некотором целом  $p \geq 0$

$$E_n^{(2)}(f)_E = O \left( n^{-2p} \varphi \left( \frac{1}{n} \right) \right).$$

Тогда  $f$  почти всюду на  $E$  совпадает с функцией, допускающей  $p$ -кратное применение оператора  $D_E$ , для которой  $D_E^p f \in L_2(E)$  и, кроме того,

$$\|f\|^{(2)}(D_E^p f; \delta)_E = O(\varphi(\delta)).$$

При  $p = 0$  достаточно требовать, чтобы функция  $\varphi(\delta)$  удовлетворяла ( $N^\alpha$ ) — условию С. Б. Стечкина, где  $0 < \alpha < 2$ .

Заметим, что в качестве функции  $\varphi(\delta)$ , фигурирующей в этой теореме, можно брать, например, функцию  $\delta^\alpha$ , где  $0 < \alpha < 2$ .

Укажем работы [2], [4] и [3], где рассматривались подобные вопросы.

Теоремы 1, 2 и 3 аналогичны теоремам С. Б. Стечкина [6], А. Ф. Тимана и М. Ф. Тимана [8] для  $2\pi$ -периодических функций.

## ЛИТЕРАТУРА

- Барин Н. К. и Стечкин С. Б. Труды Московск. матем. об-ва, т. 5, 1956.
- Джафаров Ариф. В сб. «Исследования по современным проблемам конструктивной теории функций». Баку, 1965. 3. Жидков Г. В. «ДАН СССР», т. 169, № 5, 1966. 4. Кушниренко Г. Г. Научные доклады высшей школы, серия физ.-мат. наук, № 4, 1958. 5. Наталисон И. П. Конструктивная теория функций. М., 1949.
- Стечкин С. Б. «Изв. АН СССР, серия математич.», т. 15, № 3, 1951. 7. Тиман А. Ф. Теория приближения функций действительного переменного. М., 1960.
- Тиман А. Ф. и Тиман М. Ф. «ДАН СССР», т. 71, 1950.

Институт математики  
и механики

Поступило 8.I 1969

## ХУЛАСӘ

Мә'лумдур ки, соңлу парчада тә'жин олунмуш функцијаларын чәбри чохһәддиләр васитәсилә ән яхшы яхыналашма нәзәријәсінин тәрс теоремләри дөври функцијалар һалындан фәргли олараг долгун олмайыб, бахылан функцијанын гурулуш хассәләрини тә'жинолуна парчада дејил, анчаг бүтәвлүкдә бу парча дахилиндә јерләшән һәр бир башга парчада ашкар етмәјә имкан верири. Мәгаләдә јени аялаышларын көмәжи илә бүтүн бахылан парчада функцијанын дифференциал хассәләрини ашкар етмәјә имкан верән бир нечә тәрс теорем алымышдыр. Үйғын мәсәлә сфера үзәриндә тә'жин олунмуш функцијалар үчүн дә бахылыр.

## ТЕОРИЯ УПРУГОСТИ

УДК. 539.3

Ю. А. АМЕНЗАДЕ, И. И. СЕМЕНОВА

РЕШЕНИЕ ЗАДАЧИ ОБ ОСЕСИММЕТРИЧНОМ  
УПРУГОМ РАВНОВЕСИИ ПЛИТЫ ПЕРЕМЕННОЙ ТОЛЩИНЫ

В данной статье рассматривается решение задачи упругого равновесия толстой плиты переменной толщины, торцевые поверхности которой имеют вид усеченного конуса, заданного уравнениями  $z = \pm k(r - r_0)$ , а боковая поверхность ограничена круговым цилиндром.

Следуя А. И. Лурье [1], будем строить неоднородные решения дифференциальных уравнений (9) и (10) (выведенных в статье [2]), удовлетворяющие условиям нагружения торцов, и однородные решения, когда на торцах нагрузка отсутствует.

1. Построение неоднородных решений. Неоднородные решения систем уравнений ([2], 9) и ([2], 10) ищем соответственно в виде

$$\alpha_1 = \sum_{l=0}^{\infty} A_l(\bar{r})\bar{r}^{-l}, \quad \alpha_2 = \sum_{l=0}^{\infty} D_l(\bar{r})\bar{r}^{-l}, \quad (1)$$

$$\alpha_3 = \sum_{l=0}^{\infty} B_l(\bar{r})\bar{r}^{-l}, \quad \alpha_4 = \sum_{l=0}^{\infty} C_l(\bar{r})\bar{r}^{-l}, \quad (2)$$

где  $\bar{r} = \frac{r}{r_0}$ ,  $A_l(\bar{r})$ ,  $B_l(\bar{r})$ ,  $C_l(\bar{r})$ ,  $D_l(\bar{r})$  — неизвестные функции, которые определяются, если подставить (1) в ([2], 9) и (2) в ([2], 10) и приравнять коэффициенты при одинаковых степенях  $r$  в правой и левой частях.

При этом получаем последовательные системы из 2 дифференциальных уравнений бесконечно высокого порядка, которые будут удовлетворены, если положить:

$$A_0(\bar{r}) = 0$$

$$A_1 = a_1(\bar{r} - 1), \quad D_0 = d_0$$

$$A_2 = a_2(\bar{r} - 1)^2, \quad D_1 = d_1(\bar{r} - 1)$$

$$\dots \dots \dots \quad A_l = a_l(\bar{r} - 1)^l, \quad D_{l-1} = d_{l-1}(\bar{r} - 1)^{l-1},$$

где  $a_l$ ,  $d_l$  — произвольные постоянные.

Подставляя предлагаемые решения в ([2], 9), получим для определения этих коэффициентов последовательные системы из двух линейных уравнений.

Аналогично в уравнениях ([2], 10) с учетом решений (2) нужно положить

$$\begin{aligned} C_0 &= c_0^* = \text{const} \\ B_0 &= b_0 \ln(\bar{r} - 1), \quad C_1 = -B_0, \\ B_1 &= (\bar{r} - 1)(b_1 B_0 + b_1^*), \quad C_2 = (\bar{r} - 1)^2(c_2 B_0 + c_2^*), \\ B_i &= (\bar{r} - 1)^i(b_i B_0 + b_i^*), \quad C_{i+1} = (\bar{r} - 1)^{i+1}(c_i B_0 + c_i^*), \end{aligned} \quad (3)$$

где  $b_i, b_i^*, c_i, c_i^*$  — произвольные постоянные, которые определяются так же, как и в ([2], 9) из систем линейных уравнений. Коэффициенты при этих неизвестных представляют собой числовые ряды, сходящиеся при  $0 < k < 1$ .

Таким образом, решения уравнений ([2], 9) и ([2], 10) соответственно записываются в виде

$$a_1 = \sum_{i=1}^{\infty} a_i \left(1 - \frac{1}{\bar{r}}\right)^i \quad (4)$$

$$a_2 = \sum_{i=0}^{\infty} d_i \left(1 - \frac{1}{\bar{r}}\right)^i \quad (5)$$

$$a_3 = \sum_{i=1}^{\infty} \left[ B_0 + (b_i B_0 + b_i^*) \left(1 - \frac{1}{\bar{r}}\right)^i \right] \quad (6)$$

$$a_4 = c_0^* - (B_0 - b_0) \left(1 - \frac{1}{\bar{r}}\right) + \sum_{i=2}^{\infty} (c_i B_0 + c_i^*) \left(1 - \frac{1}{\bar{r}}\right)^i \quad (7)$$

2. Построение однородных решений. Для получения однородных решений торцевую нагрузку следует приравнять нулю. Применяя вышеприведенный метод, получим однородное решение уравнений ([2], 9) в виде

$$\begin{aligned} a_1 &= a_{0,0} \left[ 1 + \sum_{i=1}^{\infty} \bar{a}_{i,1} \left(1 - \frac{1}{\bar{r}}\right)^i \right] + \frac{a_{1,0}}{\bar{r}} \left[ 1 + \sum_{i=1}^{\infty} \bar{a}_{i+1,1} \left(1 - \frac{1}{\bar{r}}\right)^i \right] + \dots \\ &\quad + \dots + \frac{\bar{a}_{n,0}}{\bar{r}^n} \left[ 1 + \sum_{i=1}^{\infty} \bar{a}_{i+n,1} \left(1 - \frac{1}{\bar{r}}\right)^i \right] \\ a_2 &= a_{0,0} \left[ \bar{d}_{0,0} + \sum_{i=1}^{\infty} \bar{d}_{i,1} \left(1 - \frac{1}{\bar{r}}\right)^i \right] + \frac{a_{1,0}}{\bar{r}} \left[ \bar{d}_{1,0} + \right. \\ &\quad \left. + \sum_{i=1}^{\infty} \bar{d}_{i+1,1} \left(1 - \frac{1}{\bar{r}}\right)^i \right] + \dots \frac{a_{n,0}}{\bar{r}^n} \left[ \bar{d}_{n,0} + \sum_{i=1}^{\infty} \bar{d}_{i+n,1} \left(1 - \frac{1}{\bar{r}}\right)^i \right]. \end{aligned} \quad (8)$$

Здесь  $a_{0,0}, a_{1,0}, \dots$  — произвольные постоянные, которые могут быть определены из граничных условий на боковой поверхности.

Изложенный выше метод решения может быть применен и в случае, если нагрузка на торцах задана в виде полинома по отрицательным степеням  $r$ .

3. Сходимость рядов (4)–(8). Для доказательства сходимости рядов (4); (5) построим алгебраическую систему уравнений для  $a_{i+1}, d_i$ , ограничиваясь в уравнениях ([2], 9)  $n$ -ным членом разложения. Начиная с некоторого достаточно большого значения индекса  $i$  эта система будет иметь вид:

$$\begin{aligned} M_1 2n(a_{i+1} - C_{2n+1}^1 a_i + C_{2n+1}^2 a_{i-1} - \dots + C_{2n+1}^{2n} a_{i-(2n-1)} - a_{i-2n}) + \\ + M_2(d_i - C_{2n}^1 d_{i-1} + C_{2n}^2 d_{i-2} - \dots - C_{2n}^{2n-1} d_{i-(2n-1)} + d_{i-2n}) + \\ + M_3 \cdot 4n^2(d_i - C_{2(n+1)}^1 d_{i-1} + C_{2(n+1)}^2 d_{i-2} - \dots \\ \dots - C_{2(n+1)}^{2n+1} d_{i-(2n+1)} + d_{i-2(n+1)}) = 0 \end{aligned} \quad (9)$$

$$\begin{aligned} M_4 2n(a_{i+1} - C_{2(n+1)}^1 a_i + C_{2(n+1)}^2 a_{i-1} - \dots - C_{2(n+1)}^{2n+1} a_{i-(2n+1)} + a_{i-2(n+1)}) + \\ + M_5 \cdot 2n(d_i - C_{2n+1}^1 d_{i-1} + C_{2n+1}^2 d_{i-2} - \dots + C_{2n+1}^{2n} d_{i-2n} - d_{i-(2n+1)}) + \\ + M_6(a_{i+1} - C_{2n+1}^1 a_i + C_{2n+1}^2 a_{i-1} - \dots + C_{2n+1}^{2n} a_{i-(2n-1)} - a_{i-2n}) + \\ + M_7(d_i - C_{2n}^1 d_{i-1} + C_{2n}^2 d_{i-2} - \dots - C_{2n}^{2n-1} d_{i-(2n-1)} + d_{i-2n}) = 0, \end{aligned} \quad (10)$$

где  $M_1, \dots$  — некоторые зависящие от  $n$  и  $k$  величины, определяемые коэффициентами уравнений ([2], 9).

Введем обозначения

$$\begin{aligned} a_{i+1} - a_i &= a_{i+1,1}; & d_i - d_{i-1} &= d_{i,1} \\ a_{i+1,1} - a_{i,1} &= a_{i+1,2} & d_{i,1} - d_{i-1,1} &= d_{i,2}. \end{aligned}$$

На основании этих обозначений уравнениям (9) и (10) придадим вид:

$$\begin{aligned} M_1 2n(a_{i+1,2n} - a_{i,2n}) + M_2 d_{i,2n} + M_3 4n^2(d_{i,2n} - 2d_{i-1,2n} + d_{i-2,2n}) = 0 \\ M_4 4n^2(a_{i+1,2n} - 2a_{i,2n} + a_{i-1,2n}) + M_5 2n(d_{i,2n} - d_{i-1,2n}) + \\ + M_6 2n(a_{i+1,2n} - a_{i,2n}) + M_7 d_{i,2n} = 0 \end{aligned} \quad (11)$$

Исключим из (11) коэффициенты  $a_{i+1}, \dots$  и заменим  $M_1, \dots$  соответствующими значениями. Тогда для достаточно больших значений  $n$  получим соотношения

$$d_i - 2d_{i-1} + d_{i-2} = \frac{k^2}{k^2 - 1} (d_{i-1} - 2d_{i-2} + d_{i-3})$$

Из этого соотношения следует

$$d_i - 2d_{i-1} + d_{i-2} = \left( \frac{k^2}{k^2 - 1} \right)^{i-2} (d_2 - 2d_1 + d_0).$$

Или

$$\begin{aligned} d_i &= d_2 + (i-3)(d_2 - d_1) + (d_2 - 2d_1 + \\ &\quad + d_0)(k^2 - 1) \left\{ (k^2 - 1) \left[ \left( \frac{k^2}{k^2 - 1} \right)^{i-1} - 1 \right] - (i-4) \right\}. \end{aligned}$$

Легко видеть, что

$$\lim_{i \rightarrow \infty} \left| \frac{d_i}{d_{i-1}} \right| = \begin{cases} 1 & \text{при } \left| \frac{k^2}{k^2 - 1} \right| \leq 1 \\ \left| \frac{k^2}{k^2 - 1} \right| & \text{при } \left| \frac{k^2}{k^2 - 1} \right| > 1 \end{cases}$$

Следовательно, радиус сходимости степенного ряда с коэффициентами  $d_i$  будет

$$R = 1 \quad \text{при } \left| \frac{k^2}{k^2 - 1} \right| \leq 1$$

$$R = \left| \frac{k^2 - 1}{k^2} \right| \quad \text{при } \left| \frac{k^2}{k^2 - 1} \right| > 1$$

Из (11), с учетом доказанной сходимости ряда с коэффициентами  $d_i$ , следует сходимость ряда с коэффициентами  $a_i$  при  $R = 1$ .

Таким образом, ряд (4) сходится для  $r_0 \ll r < \infty$  при  $k < 1$ , а ряд

(5) сходится для  $r_0 \ll r < \infty$  при  $\left| \frac{k^2}{k^2 - 1} \right| \leq 1$  и для  $r_0 \ll r \leq \left| \frac{r_0 k^2}{2k^2 - 1} \right|$

при  $\left| \frac{k^2}{k^2 - 1} \right| > 1$ .

Подставляя решение (3) в уравнение ([2], 10), после ряда преобразований и некоторых рассуждений окончательно придем к соотношениям

$$b_{1,2n} - b_{1-1,2n} = 0, \quad c_{1+1,2n} - c_{1,2n} = 0.$$

Следовательно, ряды (6), (7) сходятся при  $r_0 \ll r < \infty$ .

#### ЛИТЕРАТУРА

1. Лурье А. И. Пространственные задачи теории упругости, 1955.
2. Амениде Ю. А., Семенова И. И. Осесимметрическая задача упругого равновесия плит переменной толщины. Уч. зап. АГУ, сер. физ.-матем. наук, № 1, 1969.
3. Лурье А. И. К задаче о равновесии пластин переменной толщины. Труды Ленинград. индустриал. ин-та, № 6, 1936.
4. Семенова И. И. К решению осесимметрической задачи о равновесии слоя переменной толщины. ДАН Азерб. ССР, 1965, т. XXI, № 10. АГУ им. С. М. Кирова, ВНИИПТнефтехимаш.

Поступило 18.VI 1969

Ж. Э. Эмандада, И. И. Семёнова

Дәјишиән галынылыглы оxa нәзәрән симметрик еластик и  
плитәни таразлыг мәсәләсүнин һәлли

#### ХУЛАСӘ

Мәгаләдә оxa нәзәрән симметрик еластики таразлыг һалында олан үз сәтһләри  $z = \pm k(r - r_0)$  тәнлиji илә верилән, яңи сәтни исә даирәви силиндрлә әһәтә олуимуш плитәни тәнлижини һәлли верилмишdir.

Үз сәтһләр юкдән азад олан һал үчүн мәсәләсүн бирчинсли һәлли о, бирчинсли олмајан һәлли исә  $r$ -ин мәнфи дәрәчәсүнә көрә сыра шәклиндә көстәрilmишdir.

Исбат едилмишdir ки, бу сыра  $1 \leq r < \infty$  үчүн жығыландыр.

#### К ВОПРОСУ ДВУХМАГНОННОГО ПОГЛОЩЕНИЯ В СЛОЖНЫХ МАГНЕТО-УПОРЯДОЧЕННЫХ КРИСТАЛЛАХ

(Представлено академиком АН Азербайджанской ССР Г. Б. Абдуллаевым)

В работе [1] нами был исследован микроскопический источник появления дипольных электрических обменно-связанных пар и электрического момента в слабых ферромагнетиках на основе косвенной обменної модели [2]. Было показано, что соответствующие дипольные моменты появляются в четвертом приближении теории возмущений [3] при учете взаимодействия дипольного электрического возбужденного электрона в немагнитном ионе с внешним электрическим полем и спин-орбитального взаимодействия. Также нами были вычислены [4] и исследованы диэлектрические восприимчивости на основе теории двухвременной функции Грина [5].

Рассмотрено влияние спин-фононного и диполь-дипольного взаимодействия на процессы двухмагнитного поглощения.

В настоящей заметке эти вычисления распространяются на сложные магнето-упорядоченные кристаллы, в частности ферриты. Действительно, можно ожидать появление двухмагнитного поглощения в магнето-упорядоченных кристаллах, если 2 компоненты общего спина при таких переходах не изменяются.

Пусть

$$\chi = \mu B \left\{ -g_1 \sum_i S_i^z - g_2 \sum_j S_j^z \right\} - \frac{1}{2} \sum_{ii} I_{11}(i_1 - i_2) \vec{S}_{i_1} \vec{S}_{i_2} - \frac{1}{2} \sum_{jj} I_{22}(j_1 - j_2) \vec{S}_{j_1} \vec{S}_{j_2} + \sum_{ij} I_{12}(i - j) \vec{S}_i \vec{S}_j \quad (1)$$

$\chi$  — есть гамильтониан феррита,

где

$$I_{11}(i_1 - i_2); \quad I_{22}(j_1 - j_2); \quad I_{12}(i - j) > 0.$$

В нашем случае дипольный электрический момент обменно-связанных пар

$$\vec{P} = \sum_{ij} \pi_{ij} S_i \vec{S}_j = \sum_{ij} \pi_{ij} \left\{ \frac{1}{2} (S_i^+ S_j^+ + S_i^- S_j^-) - S_i^z S_j^z \right\} \quad (2)$$

Следуя работе [1], можно получить выражение электрической восприимчивости обменно-связанных пар через соответствующие функции Грина [5, 6]:

$$\vec{E}(\Omega) = -\frac{\pi}{2} i \sum_{ij} \sum_{l+j} \vec{\pi}_{ij} \vec{\pi}_{l+j}^* [G_{ij;l+j}^{II} + G_{ij;l+j}^{III}], \quad (3)$$

где

$$G_{ij;l+j}^{II} = \langle\langle S_i^- S_j^- | S_l^+ S_j^+ \rangle\rangle \quad (4)$$

$$G_{ij;l+j}^{III} = \langle\langle S_i^+ S_j^+ | S_l^- S_j^- \rangle\rangle.$$

Для определения функций Грина типа (4) пользовались обычной процедурой [5]

$$(E + E_\sigma) G_k^{II(1)}(E) - \sigma_2 I_{12}(k) G_k^{II(2)}(E) + \sigma_1 I_{12}(k) G_k^{II(3)}(E) = \\ = \frac{1}{2\pi} \langle [S_i^- S_j^-, S_l^+ S_j^+] \rangle$$

$$(E + E_\sigma^I) G_k^{II(2)}(E) + \sigma_1 I_{12}(k) G_k^{II(1)}(E) + \sigma_1 I_{12}(k) G_k^{II(4)}(E) = 0$$

$$(E + E_\sigma^II) G_k^{II(3)}(E) - \sigma_2 I_{12}(k) G_k^{II(1)}(E) - \sigma_2 I_{12}(k) G_k^{II(4)}(E) = 0$$

$$(E + E_\sigma) G_k^{II(4)}(E) - \sigma_2 I_{12}(k) G_k^{II(2)}(E) + \sigma_1 I_{12}(k) G_k^{II(3)}(E) = \\ = \frac{1}{2\pi} \langle [S_j^- S_l^-, S_l^+ S_j^+] \rangle$$

$$E_\sigma = (y_1 + y_2)\mu B + \sigma_1 [I_{11}(0) - I_{11}(k)] - \sigma_2 [I_{22}(0) - I_{22}(k)] - (\sigma_1 - \sigma_2)I_{12}(0)$$

$$E_\sigma^I = 2g_1\mu B + 2\sigma_1 [I_{11}(0) - I_{11}(k)] + 2\sigma_2 I_{12}(0)$$

$$E_\sigma^{II} = 2g_1\mu B - 2\sigma_2 [I_{22}(0) - I_{22}(k)] - 2\sigma_1 I_{12}(0)$$

$$I(k) = \sum_i I(i-j) e^{-ik(i-j)}; \quad \sigma_1 = \langle S_i^z \rangle; \quad \sigma_2 = -\langle S_j^z \rangle. \quad (6)$$

Из системы уравнений (5) легко можно получить вид Фурье образа функции  $G_k^{II}$ , т. е.

$$G_k^{II} = \frac{1}{\pi} \frac{(E + E_\sigma^I)(E + E_\sigma^{II})}{(E + E_\sigma)[(E + E_\sigma^I)(E + E_\sigma^{II}) + 4\sigma_1\sigma_2 I_{12}^2(k)]} \times \\ \times [\sigma_2 \langle S_i^+ S_l^- \rangle - \sigma_1 \langle S_l^- S_j^+ \rangle]. \quad (7)$$

Аналогично вычислению выражения для  $G_k^{II}$  составляем уравнение движения для функции Грина  $G_k^{III}$  и из этих систем получаем вид Фурье образа функции  $G_k^{III}$ , т. е.

$$G_k^{III} = -\frac{1}{\pi} \frac{(E - E_\sigma^I)(E - E_\sigma^{II})}{(E - E_\sigma)[(E - E_\sigma^I)(E - E_\sigma^{II}) - 4\sigma_1\sigma_2 I_{12}^2(k)]} \times \\ \times [\sigma_2 \langle S_i^+ S_l^- \rangle - \sigma_1 \langle S_l^- S_j^+ \rangle]. \quad (8)$$

Как известно, полюс функции Грина дает энергетический спектр системы, т. е.

$$(E + E_\sigma^I)(E + E_\sigma^{II}) + 4\sigma_1\sigma_2 I_{12}^2(k) = 0 \quad (9)$$

$$(E - E_\sigma^I)(E - E_\sigma^{II}) - 4\sigma_1\sigma_2 I_{12}^2(k) = 0$$

Если полагать, что  $I_{11} = I_{22} = 0$ , из выражения (9) получаем

$$E_{ak} = I_{12}(0)(\sigma_1 - \sigma_2) - \sqrt{(\sigma_1 - \sigma_2)^2 I_{12}^2(0) + 4\sigma_1\sigma_2 I_{12}^2(0)} \left\{ 1 - \left[ \frac{I_{12}(0)}{I_{12}(k)} \right]^2 \right\} \quad (10)$$

$$E_{opt} = I_{12}(0)(\sigma_1 - \sigma_2) + \sqrt{(\sigma_1 - \sigma_2)^2 I_{12}^2(0) + 4\sigma_1\sigma_2 I_{12}^2(0)} \left\{ 1 - \left[ \frac{I_{12}(k)}{I_{12}(0)} \right]^2 \right\}$$

Величины  $E_{ak}$  и  $E_{opt}$  дают энергию акустической и оптической ветвей спиновых волн.

Таким образом, мы видим, что как в случае чистого антиферромагнетика, в ферритах при поглощении кванта излучения возникают два магнона.

Несколько слов относительно примесного поглощения. В случае примесного поглощения формула (3) для диэлектрической восприимчивости остается в силе, точно функции Грина следует найти из примесного гамильтониана [7].

Отметим несколько соображений относительно появления при таких переходах экситонной полосы. В схеме косвенного обмена [2] гамильтониан с самого начала расписан по двум магнето-активным и немагнитным узлам. В окончательном результате для получения косвенного обменного взаимодействия было предложено, что возбужденный электрон немагнитного иона, осуществляющий перекрытие, рассматриваемое как малое возмущение волновых функций с волновыми функциями соседнего магнитного иона, возвращается в свое основное состояние. Если этого предположения не делать, т. е. оставить в гамильтониане и экситонные части, для экситонной части применить схему работы [8], а затем применить процедуру работы [2] и расписать окончательный результат по двум состояниям, т. е. без экситонных и с экситонными состояниями, то мы получим гамильтониан

$$H = H_{ak} + H_{ob} + H_{ob-ak} \quad (12)$$

$$H_{ak} = \sum_n (\Delta E_l + D_l) B_{nl}^+ B_{nl} + \sum_{nm} M_{nm}^+ B_{ml}^+ B_{nl} + \\ + \frac{1}{2} \sum_{nm} M_{nm}^+ (B_{ml}^+ B_{nl}^+ + B_{ml} B_{nl}) \quad (\text{см. [8]}).$$

$$H_{ob} = \sum_{nm} I(nm) a_{m\sigma_1}^\lambda a_{n\sigma_2}^\lambda a_{m\sigma_1}^\lambda a_{n\sigma_2}^\lambda \quad (\text{см. [3]}).$$

$$H_{ob-ak} = \frac{1}{2} \sum \frac{F(m0; m_10; nf; n_1f) \Lambda(nfmO) \Lambda(n_1f, m_1O)}{\Delta_1(nfmO) \Delta_2(n_1fm_1O)} \times \\ \times a_{m_0\sigma_1}^+ a_{m_1\sigma_2}^+ a_{m_1\sigma_1} a_{m_0\sigma_2} B_{nl}^+ B_{nl} \\ - \frac{1}{2} \sum \frac{F(mf; m_10; nf; n, f) \Lambda(nf, mf) \Lambda(n_10, m_10)}{\Delta_1(nf, mf) \Delta_2(n_10, m_10)} \times \\ \times a_{m_1\sigma_1}^+ a_{m_1\sigma_2}^+ a_{m_1\sigma_1} a_{m_1\sigma_2} B_{nl}^+ B_{nl}.$$

Появление связанных экситон-магнонных состояний также может быть обусловлено этим членом. Таким образом, схема, развитая в работе [2], не только позволяет охватить слабый ферромагнетизм, магнето-

электрические эффекты, появление дипольных моментов, но также включить и появление экситонных полос в оптических переходах.

Все эти вопросы (примесное поглощение, экситон-магнонный дипольный момент, появление экситонных полос) будут обсуждаться более подробно в следующих работах.

#### ЛИТЕРАТУРА

- Сейдов Ю. М., Абдуллаев М. Н. Изв. АН Азерб. ССР, серия физ.-матем. и техн. наук, № 1, 1969.
- Войновский С. В., Сейдов Ю. М. ДАН СССР, 107, 37, 1956.
- Боголюбов Н. Н. Лекции о квантовой статистике. Радиинская школа. Киев, 1949.
- Сейдов Ю. М. ДАН СССР, 160, 4, 1965.
- Тяблуков С. В. Методы квантовой теории магнетизма. М., 1965.
- Барьяхтар В. Г. и Шишкян Л. А. ФММ, 17, 5, 1964.
- Гусейнов Н. Г. и Сейдов Ю. М. ЖЭТФ, т. 51, 1084, 1966.
- Аграпович В. М. ЖЭТФ, т. 37, 431, 1959.

Институт физики

Поступило 27.II.1969.

Ю. М. Сейдов, М. Н. Абдуллаев

Мүрәккәб низамлы магнит кристалларында ики магнонлу  
удулмаја даир

#### ХУЛАСӘ

Мәгаләдә мүрәккәб низамлы магнит кристалларында мубадилә әлгәсіндә олан чүтләри електрик дипол моментләри көстәрілмешdir. Икизаманлы Грин функциясы техникасы әсасында һәмни кристалларда динелектрик говрајычылығы һесабланышдыр.

Васитәли мубадилә модели әсасында һамилтон функциясында экситон магнон гарышылығы тәсирини характеризә едән һәддин олдуғу айдашырылыштыр.

#### ЭНЕРГЕТИКА

УКД 621.3.011.1

Ф. Г. ГУСЕЙНОВ, А. Г. ТАМАЕВ

#### О ВОЗМОЖНОСТЯХ ПРИМЕНЕНИЯ ПРИНЦИПА МАКСИМУМА ПОНТРЯГИНА ДЛЯ РАСЧЕТА ЭЛЕКТРИЧЕСКИХ ЦЕПЕЙ

(Представлено академиком АН Азербайджанской ССР Ч. М. Джуварлы)

Расчеты электрических цепей обычно производятся как с помощью уравнений, базирующихся на законах Кирхгофа, так и с помощью определенных топологических правил, впервые предложенных Кирхгофом и Максвеллом. Причем топологические методы стали находить практическое применение лишь в последнее время, так как они связаны с реализацией больших технических затруднений, которые в настоящее время начинают успешно преодолеваться с помощью ЦВМ.

Но имеется и принципиально иной путь расчета электрических цепей при интерпретации последних в виде задачи математического программирования (оптимизации) [1, 2, 3].

К настоящему времени предложено большое количество разнообразных методов решения задач оптимизации, которые можно несколько условно классифицировать на две следующие группы:

1) одношаговые (одноступенчатые) методы (в общем случае многомерные);

2) многошаговые (многоступенчатые) методы.

Наиболее сильными из предложенных многошаговых (многоступенчатых) методов являются динамическое программирование и принцип максимума Понтрягина.

Отметим, что почти все методы решения электрических цепей, применяемых до сегодняшнего дня, в случае, если их рассматривать с позиций задачи оптимизации, по существу являются одношаговыми в многомерном пространстве.

Покажем, что расчеты электрических цепей возможно производить и многошаговыми методами, на основе принципа максимума Понтрягина.

В качестве исходных выражений для решения задачи расчетов электрических цепей используем некоторые условия [1], из которых следует, что для получения решения задачи расчета электрической цепи необходимо определить векторы  $e$  и  $u$ , которые максимизируют следующую функцию:

$$-\frac{1}{2} e_r^T G e_r + l_c^T e_c \rightarrow \max \quad (1)$$

при соблюдении условий

$$\left. \begin{array}{l} N_v^T u = e_v \\ N_r^T - e_r = 0 \\ N_c^T u - e_c = 0 \end{array} \right\}, \quad (2)$$

где  $e_v, e_c, i_c, e_r$  — падения напряжений и токи в подматрицах с элементами, которые соответствуют источникам напряжений, источникам токов и сопротивлениям ветвей;

$u$  — потенциалы узлов;

$G$  — диагональная матрица проводимостей ветвей.

Введем следующие обозначения:

$$-\frac{1}{2} e_r G e_r + i_c^T e_c = \Phi. \quad (3)$$

Итак, для получения решения задачи расчета электрических цепей необходимо решить задачу квадратичного программирования.

Проанализируем возможные пути ее решения на основе дискретного принципа максимума Понтрягина [4].

Ход рассуждений и выкладок при этом следующий.

Примем каждую ветвь электрической цепи за ступень в многоступенчатом процессе. Тогда топология всего многоступенчатого процесса будет полностью совпадать с топологией электрической цепи. Следует отметить, что принципиально можно было бы выбрать и совершенно иные способы адекватного отображения электрической цепи в виде некоторого многоступенчатого процесса, но представляется, что выбранное отображение является наиболее естественным и наглядным.

Так как в работе рассматриваются лишь возможные пути расчета электрических цепей на основе принципа максимума, то в дальнейшем ограничимся разбором лишь простой топологии электрической цепи, т. е. многоступенчатого процесса.

Предположим, задана электрическая цепь с  $N$  последовательными ветвями, сопротивлениями  $r$  и источниками напряжения  $e_v$ , источники тока  $i_c$  отсутствуют, т. е.  $i_c = 0$ .

Для возможности использования формализированного алгоритма принципа максимума для простых многоступенчатых процессов применительно к исходной задаче введем переменные управления  $\theta^n$  и состояния  $x^n$ , где  $n = 1, 2, \dots, N$ .

Примем за вектор управления ступеней, которые адекватно отображают ветви электрической цепи с проводимостями  $g_i$ , потенциалы  $u_i$  тех узлов, в которых заканчиваются (входят) ветви  $i$ . На ступенях с источниками напряжений  $e_v$  в качестве векторов управлений примем сами напряжения  $e_v$ .

Тогда имеем:

- a) для ступеней с проводимостью ветвей  $\theta^n = u^n$ ;
- b) для ступеней с источником напряжения  $\theta^n = e_v$ .

В качестве уравнений преобразования для переменных состояния исходной задачи примем:

- a) для ступеней с проводимостью ветвей

$$x_1^n = \theta^n, \quad (4)$$

$$x_2^n = \sum_{i=1}^n \left[ -\frac{1}{2} (\theta^i - x_1^{i-1})^2 g_i \right] = x_2^{n-1} - \frac{1}{2} (\theta^n - x_1^{n-1})^2 g^n$$

б) для ступеней с источником напряжения

$$\left. \begin{array}{l} x_1^n = x_1^{n-1} + e_v = x_1^{n-1} + \theta^n; \\ x_2^n = x_2^{n-1} \end{array} \right\} \quad (5)$$

Введем применительно к нашей задаче следующую функцию Гамильтона  $H^n$  и сопряженный вектор состояния  $z^{n-1}$ , причем верхние строчки в фигурных скобках (см. ниже) соответствуют ступеням типа (a), нижние — ступеням типа (b).

$$H^n = \sum_{i=1}^2 z_i^n x_i^n = z_1^n \left\{ \begin{array}{l} \theta^n \\ x_1^{n-1} + \theta^n \end{array} \right\} + z_2^n \left\{ \begin{array}{l} x_2^{n-1} - \frac{1}{2} (\theta^n - x_1^{n-1})^2 g^n \\ x_2^{n-1} \end{array} \right\} \quad (6)$$

$$z_1^{n-1} = \frac{\partial H^n}{\partial x_1^{n-1}} = z_1^n \left\{ \begin{array}{l} 0 \\ 1 \end{array} \right\} + z_2^n \left\{ \begin{array}{l} (\theta^n - x_1^{n-1}) g^n \\ 0 \end{array} \right\} \quad (7)$$

$$z_2^{n-1} = \frac{\partial H^n}{\partial x_2^{n-1}} = z_2^n \cdot 1 = z_2^n.$$

Для рассматриваемой задачи выражение (3) при  $i_c = 0$  соответствует значению выражения для  $x_2^N$ , т. е.  $\Phi = x_2^N$ , и  $x_2^N$  представляет решение задачи.

После ряда преобразований, с учетом начальных условий получим

$$H^n = z_1^n \left\{ \begin{array}{l} \theta^n \\ x_1^{n-1} + \theta^n \end{array} \right\} + z_3^n \left\{ \begin{array}{l} x_2^{n-1} - \frac{1}{2} (\theta^n - x_1^{n-1})^2 g^n \\ x_3^{n-1} \end{array} \right\} \quad (8)$$

$$z_1^{n-1} = z_1^n \left\{ \begin{array}{l} 0 \\ 1 \end{array} \right\} + \left\{ \begin{array}{l} g^n (\theta^n - x_1^{n-1}) \\ 0 \end{array} \right\} \quad (9)$$

$$z_2^{n-1} = 1; \quad (10)$$

$$n = 1, 2, \dots, N \quad (11)$$

В случае, если принять, что в рассматриваемой задаче  $i_c \neq 0$ , то после проведения всех выкладок, подобных предыдущим, результирующие выражения (8—11) необходимо дополнить следующими условиями для ступеней с источниками тока  $i_c$ :

$$\left. \begin{array}{l} \theta^n = u^n \\ x_1^n = \theta^n \\ x_2^n = \theta^n - x_1^{n-1} \end{array} \right\} \quad (12)$$

$$H^n = z_1 \theta^n + [x_2^n + (\theta^n - x_1^{n-1}) i_c]; \quad (13)$$

$$\left. \begin{array}{l} z_1^{n-1} = -i_c \\ z_2^{n-1} = 1 \\ n = 1, 2, \dots, N. \end{array} \right\} \quad (14)$$

После получения результирующих выражений (8–14) можно уже непосредственно приступить к завершающим операциям, а именно, оптимизации выражения (8), (13) на каждом шагу по следующим уравнениям [4].

$$H^n(\bar{\theta}^n) = \max H^n(\theta^n), \text{ или } \frac{\partial H^n}{\partial \theta^n} = 0 \\ n=1,2,\dots,N \quad (15)$$

Оптимизацию можно производить одним из методов, указанных в [4]. Результирующие значения переменных управления и состояния, полученные после оптимизации, полностью определяют все решения задачи.

В заключение отметим следующее.

1. В выведенном многоступенчатом процессе по решению исходной задачи вектор управления является одномерным, что представляется важным обстоятельством, т. к., по крайней мере с вычислительной точки зрения, одномерная оптимизация существенно облегчает нужный поиск.

2. Хотя полученный алгоритм не отличается простотой по сравнению с имеющимися методами расчета электрических цепей с последовательными ветвями (что собственно и не входило в цель задачи), он может оказаться весьма полезным для получения алгоритмов в сложных цепях, где решение по имеющимся методам уже не просто. Кроме того, здесь кажущаяся сложность создает сам процесс вывода результирующих выражений. Но для практического применения сами по себе теоретические выкладки уже не нужны и необходимо использовать лишь результирующие выражения (8)–(15), наличие которых уже говорит о том, что возможно использовать принцип максимума Понтрягина в многоступенчатой интерпретации для расчетов электрических цепей.

#### ЛИТЕРАТУРА

- Денис Дж. Б. Математическое программирование и электрические цепи. ИЛ, 1961.
- Берж К. Теория графов и ее применение. ИЛ, 1962.
- Тамаев А. Г. Электрические цепи с задающими источниками тока и квадратичное программирование. «За техн. прогресс», 1968, № 3.
- Фан Лянь-цзинь, Ван Чу-сен. Дискретный принцип максимума. Изд. «Мир», 1, 1967.

АзИИИ энергетики  
им. И. Г. Есмана

Поступило 7.V 1968

Ф. Н. Нусеинов, А. Н. Тамаев

Ихтијары конфигурацијалы електрик дөврәләринин  
дискрет принципин максимуму әсасында һесаблама  
алгоритми һагында

#### ХУЛАСЭ

Мәгаләдә електрик дөврәләри чохпилләли просес кими Еjlәр сил-  
силикаттарин (тциклинин) изоморф графы васитәсилә верилдикдә, онларын  
һесабы учун принцип е'тибарилендә јени олан алгоритм чыхарылышты.

Башлангыч мәсәләнин һәлли учун уjгун һамилжон функцијасы вә  
онун гошмасы гурулмуш, көстәрилән функцијаларын оптималлашды-  
рылмасы Понтрјакин максимум принципинин дискрет иәзәриjәсү әса-  
сында апарылышты.

582528

Р. Г. ИСМАИЛОВ, С. М. АЛИЕВ, Н. К. РЗАЕВ

#### АЛКИЛИРОВАНИЕ ТОЛУОЛА $\alpha$ -ОЛЕФИНАМИ В ПРИСУТСТВИИ СИНТЕТИЧЕСКИХ АЛЮМОСИЛИКАТОВ

В последнее время в промышленности стали широко производиться детергенты, синтезированные на базе углеводородов с прямой цепью, взамен ранее выпущенных детергентов, полученных на базе углеводородов с разветвленной цепью.

Это вызвано тем, что детергенты, имеющие разветвленную боковую цепь, очень плохо подвергаются микробиологическому разложению в водоемах. Детергенты, полученные на базе  $\alpha$ -олефинов, достаточно хорошо разлагаются бактериями [1].

Продукты алкилирования бензола  $\alpha$ -олефинами ( $C_8$  и выше) в присутствии хлористого алюминия получили широкое применение в производстве поверхностно-активных веществ. Сведения относительно использования аллюмосиликатов в реакциях алкилирования ароматических соединений  $\alpha$ -олефинами с прямой цепью  $C_8$  и выше не встречаются.

В настоящей статье приводятся данные по алкилированию толуола  $\alpha$ -олефинами в присутствии синтетических аллюмосиликатов.

#### ЭКСПЕРИМЕНТАЛЬНАЯ ЧАСТЬ

В качестве сырья были использованы толуол и  $\alpha$ -олефиновая фракция 180–240°C.  $\alpha$ -олефиновая фракция имела: удельный вес 0,7680;  $n_D^{20}$  – 1,4340; Мол. вес – 173; бромное число – 88,78 и др.

Толуол: т. кип. 110,6 – 110,8°C,  $d_4^{20}$  – 0,8658 и  $n_D^{20}$  – 1,4969.

В качестве катализатора были использованы синтетические аллюмосиликаты Ново-Бакинского нефтеперерабатывающего завода.

Опыты по алкилированию проводились на лабораторной установке с проточным реактором. Загрузка катализатора составляла 540 г. Полученный алкилат подвергался разгонке на колонне с дефлектом. Для целевой фракции производилось определение  $n_D^{20}$ , сульфируемости, непредельности и др.

Было изучено влияние температуры, скорости подачи сырья, соотношение компонентов на ход процесса алкилирования. Полученные данные представлены в табл. 1, 2 и на рис. 1, 2.

Как видно, алкилирование толуолов  $\alpha$ -олефинами легко протекает при температуре 250°C и выше.

Таблица 1  
Влияние температуры на алкилирование толуола  $\alpha$ -олефинами над алюмосиликатами (весовое соотношение толуол :  $\alpha$ -олефины—3 : 1, скорость 0,2  $\text{ч}^{-1}$ , продолжительность опыта 10 ч)

№ пп	Показатели	Температура, °С			
		250	300	350	400
1	Материалный баланс, % вес:				
	алкилат	98,5	98	97,2	94,5
	газ + потери*	1,5	2	2,8	5,5
2	Начало кипения алкилата, °С	109	105	103	90
3	Состав алкилата, % вес:				
	толуольная фракция с т. кип. 135°C	72,5	72,7	73,4	78,7
	алкилтолуольная фракция выше 135°C	27,4	27,2	26,4	21,0
	потери	0,1	0,1	0,2	0,3
4	Характеристика толуольной фракции с т. кип. 135°C:				
	$n_{\text{D}}^{20}$	1,4960	1,4940	1,4940	1,4930
5	сульфируемость, объем, %	95	94	94	92
	Характеристика алкилтолуольной фракции выше 135°C:				
	$n_{\text{D}}^{20}$	1,4660	1,4845	1,4850	1,4876
	сульфируемость, объем, %	49,7	78	82	86,9
	Йодное число	25,3	0	0	0
6	Выход алкилтолуольной фракции выше 135°C, % на $\alpha$ -олефины	108	107	102,5	80
7	Конверсия толуола	9,3	13,4	13,6	12
8	Выход алкилтолуола, % вес:				
	на пропущенный толуол	18	27,6	26,6	22,7
	на прореагировавший толуол	194	206	195	190
	на пропущенные $\alpha$ -олефины	54	82,8	79,8	67,1

\* Включая кокс.

Таблица 2

Алкилирование толуола  $\alpha$ -олефинами в присутствии синтетических алюмосиликатов. Температура 300°C, толуол :  $\alpha$ -олефины—4 : 1, вес, скорость 0,2  $\text{ч}^{-1}$

Характеристика катализатора	Выход фракции, %	$n_{\text{D}}^{20}$
Начало кипения, °С		
до 108	1	105
108—113	76,8	1,4870
113—136	1	1,4948
136—142	0,1	1,4930
142—148	—	1,4854
148—175	0,1	—
175—225	0,5	1,4830
225—250	1,6	1,4630
250—275	4,0	1,4670
275—300	6,8	1,4850
300—к. о.	5,1	1,4840
Конец отгонки, °С	320	
Общий выход	97,0	
Остаток	1,6	
Потери	1,4	
Фр. с т. кип. 105—136°C	78,8	1,4940
Фр. с т. кип. 136—330°C	25,2	1,4830

Наибольший выход алкилтолуолов достигается при температуре 350°C, скорости подачи сырья 0,2  $\text{ч}^{-1}$  и весовом соотношении толуол :  $\alpha$ -олефины—3—4 : 1. Сульфируемость алкилтолуольной фракции составляет 87—90%, а бромное число равно нулю. Конверсия толуола при этом составляет 8,3%.

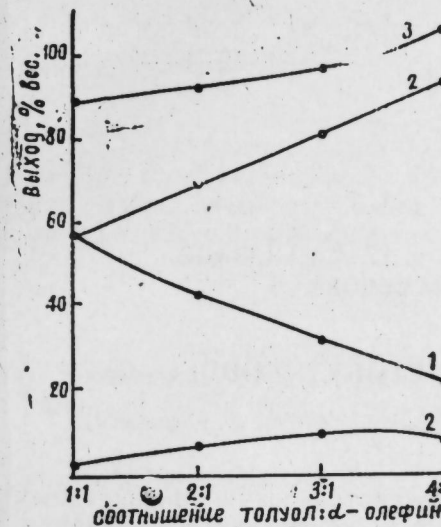


Рис. 1. Влияние соотношения реагентов на алкилирование толуола  $\alpha$ -олефинами. Выход алкилтолуола, % вес: 1—на пропущенный толуол; 2—на пропущенный  $\alpha$ -олефин; 3—выход алкилтолуольной фракции выше 135°C, % на  $\alpha$ -олефины; 4—конверсия толуола.

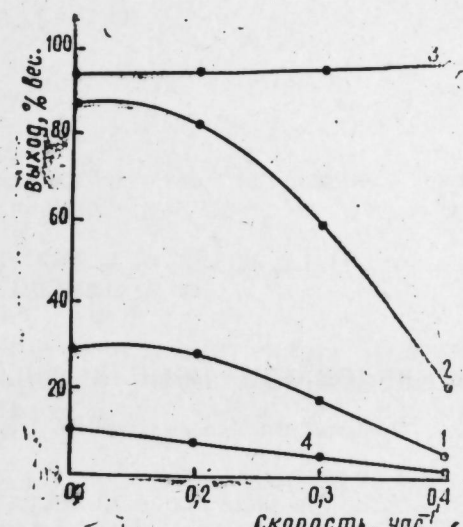


Рис. 2. Влияние скорости подачи реагентов на алкилирование толуола  $\alpha$ -олефинами. Выход алкилтолуола, % вес: 1—на пропущенный толуол; 2—на пропущенные  $\alpha$ -олефины; 3—выход алкилтолуольной фракции выше 135°C, % на  $\alpha$ -олефины; 4—конверсия толуола.

При найденных условиях активность катализатора в течение 50 ч не снижается.

### Выводы

- Исследовано алкилирование толуола  $\alpha$ -олефинами в присутствии синтетических алюмосиликатов.
- Изучено влияние различных факторов и найдены оптимальные условия синтеза алкилтолуолов.

### ЛИТЕРАТУРА

Исмаилов Р. Г., Алиев М. С., Раев Н. К. „Нефть и газ“, № 5, 1967.

ИНХП

Поступило 4.VII 1969

Р. Г. Исмаилов, С. М. Элиев, Н. Г. Раев

Алюмосиликат катализаторунун иштиракы илэ толуолун  $\alpha$ -олефинләр алкилләшмәси

### ХУЛАСА

Мәгәләдә олефин фраксијасы әсасында сәттің-актив маддәләрдән олан сүлфанолун алынmasы үчүн хаммал саýылан алкилтолуолун синтезидән бәйс олуимушдур.

Алюмосиликат катализаторунун иштиракы илэ толуолу  $\alpha$ -олефин фраксијасы илэ алкилләшдириб, просесә тә'сир едән амилләри (реакентләрни верилмә сүр'етини, нисбәтини вә температуру) өјрәнәрек алкилләшмә үчүн оптималь шәрорт тапсылыштыр.

**А. С. РЗАЕВ, Ф. А. АБДУЛЛАЕВ, И. Г. ИСМАИЛЗАДЕ,  
И. М. МАМЕДОВ, Л. МАМЕДОВА**

## ИССЛЕДОВАНИЕ ПРОИЗВОДНЫХ $\beta$ -КЕТОБУТИЛОВОГО СПИРТА

(Представлено академиком АН Азербайджанской ССР М. Ф. Нагиевым)

Благодаря наличию в молекулах кетоспиртов реакционноактивных функциональных групп, они стали объектом пристального изучения. Особенно большое внимание стали обращать на изучение  $\alpha$ - и  $\beta$ -кетоспиртов. За последние 20 лет  $\beta$ -кетобутиловый спирт и его производные начали широко вовлекаться в многочисленные синтезы с целью получения весьма ценных соединений. Так, например,  $\beta$ -кетобутиловый спирт и его этиловый эфир широко применяются для промышленного производства витамина А [1], для синтеза его аналогов [2], удлинения углеродного скелета  $\beta$ -иона [3] и др.

Благодаря многофункциональной реакционноспособности молекул  $\beta$ -кетоспиртов, потенциальная возможность их исследования далеко не исчерпана. С целью изучения физиологической активности производных  $\beta$ -кетобутилового спирта, а также для изучения их физико-химических свойств нами проводилось исследование по разработке метода синтеза простых эфиров, соответствующих как одноатомным, так и двухатомным спиртам, так как существующие методы [4–6] не позволяют получить всевозможные алкокси- и другие производные. Нами установлено, что при умеренном нагревании смеси  $\beta$ -кетобути-

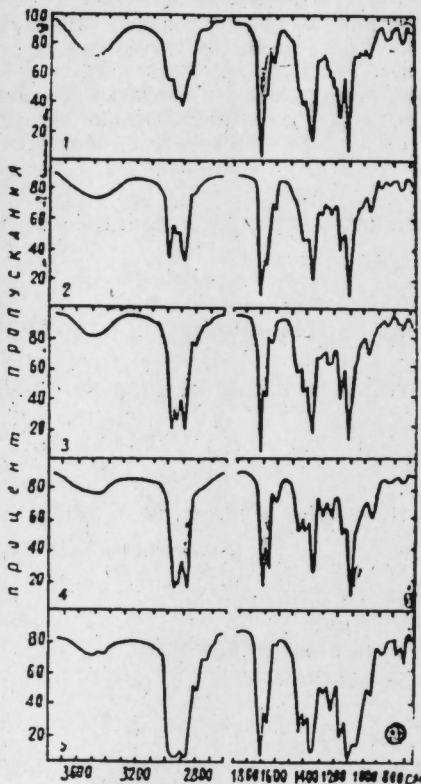
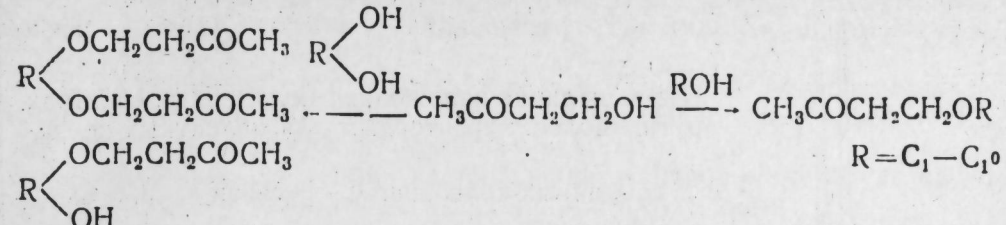
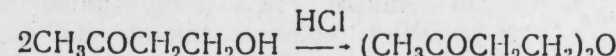


Рис. 1. ИК-спектры: 1—метилово- $\beta$ -кетобутиловый эфир; 2— этилово- $\beta$ -кетобутиловый эфир; 3—пропилово- $\beta$ -кетобутиловый эфир; 4—бутилово- $\beta$ -кетобутиловый эфир; 5—амилово- $\beta$ -кетобутиловый эфир.

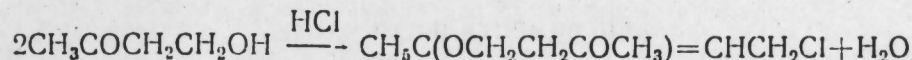
лового и соответствующего одно- и двухатомного спиртов в присутствии 10%-ного хлористого водорода можно легко получить эфиры:



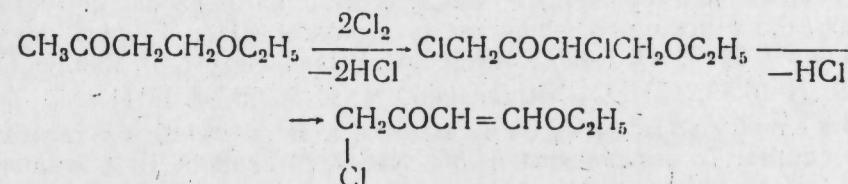
При этом установлено, что наряду с главным направлением реакции имеет место побочное направление, при котором образуется ди- $\beta$ -кетобутиловый эфир:



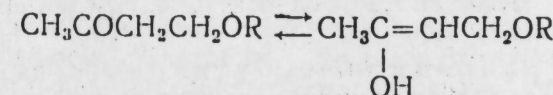
Если реакцию этерификации  $\beta$ -кетобутилового спирта проводить в присутствии HCl и безводного  $\text{Na}_2\text{SO}_4$ , то конечным продуктом оказывается  $\beta$ -( $\beta$ -кетобутиокси) — кротилхлорид.



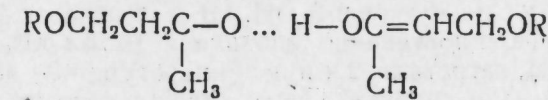
Этилово- $\beta$ -кетобутиловый эфир хлорируется по  $\alpha$ - и  $\beta$ -положению с образованием этилово- $\alpha$ ,  $\gamma$ -дихлор- $\beta$ -кетобутилового эфира, который действием спиртового раствора щелочи превращен в хлорметил- $\beta$ -этоксивинилкетон:



Спектроскопическое исследование простых эфиров  $\beta$ -кетобутилового спирта показало, что последние могут существовать в кето-енольной таутомерной форме:



Их спектры были сняты в интервале 3800—650  $\text{см}^{-1}$  на спектрофотометре  $UR=20$  на призмах из NaCl и LiF, толщина слоя 0,015 мм. В спектрах этилов-, бутилово- и амилово- $\beta$ -кетобутилового эфиров присутствие широкой полосы в области 3500  $\text{см}^{-1}$  указывает на наличие водородной связи водорода гидроксильной группы с кислородом карбонильной группы кетоформы другой молекулы:



Характерная для C=O группы интенсивная полоса обнаружена в области  $1715\text{ cm}^{-1}$ . Слабая полоса поглощения  $1630\text{ cm}^{-1}$  характеризует  $\text{>C=C<}$  связи.

В спектрах  $\beta$ -кетобутиловых эфиров с увеличением алкильного радикала происходит уменьшение интенсивности полос, соответствующих

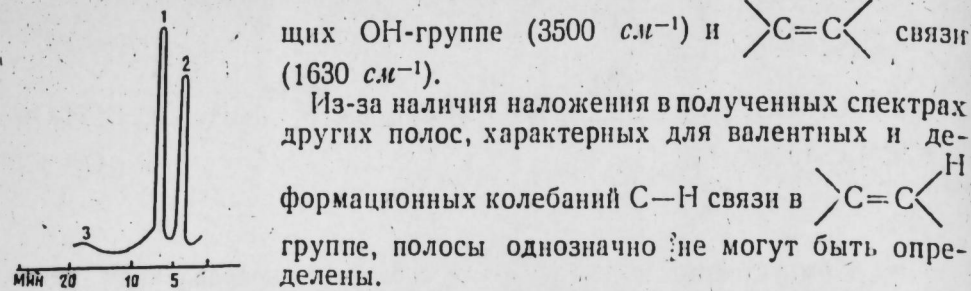


Рис. 2. 1—кетонная форма; 2—енольная форма; 3—пендиентицированные вещества.

из-за наличия наложения в полученных спектрах других полос, характерных для валентных и де-

формационных колебаний С—Н связи в  $\text{C}=\text{C}$  группе, полосы однозначно не могут быть определены.

Присутствие сильной полосы в области  $1115 \text{ см}^{-1}$  связано с наличием в молекулах С—О—С-связи.

По данным ГЖХ, полученным на хроматографе ХЛ-4, колонка длиной  $3600 \times 4$ , газ водород  $75 \text{ мл/мин}$  также подтверждают наличие в  $\text{CH}_3\text{COCH}_2\text{CH}_2\text{OCH}_3$  кето-енольной таутомерии, причем кетонная форма составляет 67%, а енольная—33%.

### ЭКСПЕРИМЕНТАЛЬНАЯ ЧАСТЬ

**Бутилово- $\beta$ -кетобутиловый эфир.** Раствор 10 г  $\beta$ -кетобутилового спирта, 50 мл бензола и 10 г бутилового спирта, содержащего 10% хлористого водорода, при перемешивании нагревают в течение 3 ч при температуре  $50-60^\circ$ . После нейтрализации безводным  $\text{K}_2\text{CO}_3$ , сушки над безводным  $\text{CaCl}_2$  и отгонки бензола, из остатка выделено 6,5 г искомого вещества с выходом 40%. Т. кип.  $56-58^\circ$  (1 мм),  $d_4^{20}$  0,9125,  $n_D^{20}$  1,4250,  $M_R$  40,53. Вычислено 41,10. Найдено, %: С 67,10, Н 10,82,  $\text{C}_8\text{H}_{10}\text{O}_2$ . Вычислено, %: С 66,66, Н 11,11.

**$\beta$ -( $\beta$ -кетобутикс) кротилхлорид.** В смесь 10 г  $\beta$ -кетобутилового спирта, 75 мл бензола и 5 г  $\text{NaSO}_4$  помещали 10 г этилового спирта, содержащего 10% хлористого водорода. После 3-часового нагревания при температуре  $50-60^\circ$  и нейтрализации б/в  $\text{K}_2\text{CO}_3$  и отгонки растворителя выделено 9 г целевого продукта. Выход 45%, т. кип.  $116-117^\circ$  (4 мм),  $d_4^{20}$  1,040,  $n_D^{20}$  1,4520,  $M_R$  45,6, выч. 45,4. Найдено, %: С 54,20, Н 7,28, Cl 20,17,  $\text{C}_8\text{H}_{13}\text{ClO}$ . Вычислено, %: С 54,54, Н 7,38, Cl 19,80.

**Этилово- $\alpha$ ,  $\gamma$ -дихлор- $\beta$ -кетобутиловый эфир.** В смесь 15 г этилово- $\beta$ -бутилового эфира, растворенного в 50 мл четыреххлористого углерода, и 14 г измельченного мрамора при температуре  $0^\circ$  при перемешивании постепенно пропускали 9 г хлора (по привесу). После отгонки растворителя выделено 10,6 г этилово- $\alpha$ ,  $\gamma$ -дихлор- $\beta$ -кетобутилового эфира. Выход 44%, т. кип.  $60-62^\circ$  (2 мм),  $d_4^{20}$  1,228,  $n_D^{20}$  1,4600,  $M_R$  41,30, выч. 41,28. Найдено, %: С 39,20, Н 4,96, Cl 38,40,  $\text{C}_6\text{H}_{10}\text{Cl}_2\text{O}_2$ . Вычислено, %: С 38,81, Н 5,40, Cl 38,28.

**4-хлор-1-этокси-1-бутен-3-ОН.** В 7 г этилово- $\alpha$ ,  $\gamma$ -дихлор- $\beta$ -кетобутилового эфира постепенно добавляли 10 мл 50%-ного спирто-раствора KOH, нагревали 2 ч при температуре  $40-45^\circ$ , фильтровали и осадок промывали спиртом. После отгонки растворителя выделено 1,5 г целевого продукта. Выход 20,5%, т. кип. 63-5 (3 мм),  $d_4^{20}$  1,135,  $n_D^{20}$  1,4500,  $M_R$  35,30, выч. 35,90. Найдено, %: С 48,42, Н 5,97, Cl 23,72,  $\text{C}_6\text{H}_9\text{ClO}_2$ . Вычислено, %: С 48,64, Н 6,08, Cl 23,90.

### Выводы

1. Нами разработан новый способ получения алкилово- $\beta$ -кетобутиловых эфиров, соответствующих одно- и двухатомным спиртам в присутствии HCl.

2. Установлено, что в результате этерификации  $\beta$ -кетобутилового спирта, в присутствии HCl и безводного  $\text{Na}_2\text{SO}_4$ , основным продуктом является  $\beta$ -( $\beta$ -кетобутикс) кротилхлорид.

3. Показано, что при хлорировании алкилово- $\beta$ -кетобутилового эфира получают алкилово- $\alpha$ ,  $\gamma$ -дихлор- $\beta$ -кетобутиловый эфир.

4. Впервые получен  $\alpha$ -хлорметилово- $\beta$ -кетобутиловый эфир и определены оптимальные условия его синтеза.

5. Спектроскопическим исследованием установлено, что алкилово- $\beta$ -кетобутиловые эфиры существуют в кето-енольной таутомерной форме.

### ЛИТЕРАТУРА

1. Milas N. A., Le S. W., Schuerch G., Edgerton R. O., Platt I. T., Grosse F. X., Wiese L., Campbell M. A. J. Am. chem. soc. 70, 1591, 1948.
- Milas N. A., The Synthesis of Vitamin A and Related products, в книге: R. S. Harris and K. V. Thimann A. eds. Vitamins and Hormones vol. V., Academic Press, Лондон, 1947; Milas N. A. и др. J. Am. chem. soc. 70, 1597, 1948; Isler, Gross R. и др. Bull. trav. soc. Pharm. Bordeaux, 8857, 1950; Oroschnik W., Mebane A. D. J. Am. chem. soc. 74, 3807, 1952; Oroschnik W., Mebane A. D. J. Am. chem. Soc. 76, 5719, 1954; Oroschnik W. J. Am. chem. soc. 76, 5499, 1954; Pommeg H., Angew. Chem. 72, 811, 1960.
2. Robeson C. D., Lindsay I. K. пат. США 2 676 998, 1954.
3. Isler, Chimia (Swit.), 4, 103, 1950.
4. Killian D. B., Hepenton G. F., Nienhuis I. A. J. Am. chem. soc. 58, 893, 1936.
5. Milas N. A., Sakal E., Platt I. T. и др. J. Am. chem. soc. 70, 1602, 1948.
6. River Ph. D. Thesis M. I. T. Dec., 1941.

Институт теоретич. проблем химической технологии

Поступило 25.X 1968

Э. С. Рзаев, Ф. А. Абдуллаев, И. Н. Исмаилзаде,  
Н. М. Маммадов, Л. Д. Маммадова

**$\beta$ -кетобутил спирти төрмәләринин тәдгиги**

### ХУЛАСӘ

Мәгаләдә  $\beta$ -кетобутил спирти вә онун бәсит ефирләринин физик-химјәви хассәләри өјрәнүлмиш, бәсит ефирләрин синтез үсүлү верилмишdir. Ейни заманда,  $\beta$ -кетобутил ефирләрдә кето-енол таутомерләшмә тәдгиг едилмиш, онун варлығы спектроскопик вә хроматографик јолла тә'жин олунмушдур.

ФИЗИЧЕСКАЯ ХИМИЯ

А. И. АЛЕКПЕРОВ, М. А. БАБАЕВА, Ф. С. НОВРУЗОВА, С. Д. ДАДАШЕВА

ЭЛЕКТРООСАЖДЕНИЕ ТЕЛЛУРА ИЗ СОЛЯНОКИСЛЫХ, ВОДНЫХ  
И НЕВОДНЫХ РАСТВОРОВ

(Представлено академиком АН Азербайджанской ССР Г. Б. Шахтахтинским)

При электроосаждении теллура из водносолянокислых растворов кислотность электролита поддерживается в пределах 3—5 моль/л. В растворах с пониженной кислотностью протекает гидролиз, в результате чего выпадает  $\text{TeO}_2$  и режим электролиза нарушается. Из солянокислых неводных электролитов при любой кислотности электролита на катоде осаждается теллур.

Из имеющихся в литературе [1, 2] данных трудно составить представление о составе и степени чистоты электролитических осадков, полученных из солянокислых растворов. Выяснению указанных вопросов посвящается данная работа.

Водными электролитами служили водносолянокислые растворы  $\text{TeCl}_4$ . В качестве неводных электролитов употребляли метил- и этилспиртовые, уксуснокислые, этиленгликолевые растворы  $\text{TeCl}_4$ , четыреххлористый теллур, во всех указанных растворителях хорошо растворяются, полученные растворы обладают сравнительно высокой электропроводностью.

Все растворители предварительно были тщательно очищены и обезвожены соответствующими методами [3, 4]. Катодами служили пластиинки из платины и графита, анодом — графит. Электролиз проводили при постоянной температуре и различных плотностях тока.

Поляризационные измерения проводили гальваностатическим методом.

В первой серии опытов исследовался состав осадков, полученных при различных условиях электролиза. Поэтому осадки подвергались химическому ( $\text{Cl}_2, \text{Te}$ ) и спектральному (металлические примеси) анализам.

Выход по току (ВТ) определяли медным кулометром в расчете на  $\text{Te}^{4+}$ .

Во всех осадках, полученных электролизом, обнаружен хлор. Содержание хлора в осадках зависит от состава электролита. Наибольшее количество хлора наблюдается в осадках, выделенных из уксуснокислых электролитов, а наименьшее — из этиленгликолевых растворов (табл. 1).

В осадках хлор находится в виде  $\text{TeCl}_2$  (установлено способом, описанным в [5]).

Таблица 1  
Зависимость содержания хлора в электролитических осадках от состава электролита (плотность тока 10  $\text{mA/cm}^2$ ,  $t=25^\circ\text{C}$ , катод — пластина из платины)

Растворитель + 0,7 м $\text{TeCl}_4$	$\text{CH}_3\text{COOH}$	$\text{CH}_3\text{OH}$	$\text{C}_2\text{H}_5\text{OH}$	Этиленгликоль	Вод. 3 м $\text{HCl}$	Вод. 3 м $\text{NaOH} + 10\% \text{ NaCl}$
$\text{Cl}_2, \%$	5,0	2,9	2,67	0,04	1,5	Следы
ВТ, %	107	103,5	104,5	103	98,5	96,5

Количество хлора в осадках, полученных электролизом спиртовых электролитов, зависит еще от наличия в электролите избытка  $\text{HCl}$  или  $\text{LiCl}$ . Осадки, полученные из указанных электролитов, имеют сравнительно повышенное содержание хлора. Например, электролитические осадки, выделенные из электролита  $\text{TeCl}_4 + \text{C}_2\text{H}_5\text{OH} + 1\text{m HCl}$ , содержат до 4,5% хлора, тогда как в отсутствии избытка хлоридных соединений содержание хлора в осадках не превышает 3%.

Наличие избытка хлорида в спиртовых электролитах оказывает заметное влияние на структуру осадков. В процессе электролиза спиртовых электролитов, не содержащих избытка хлора, на катоде осаждается крупнозернистый осадок серого цвета.

Осадки, выделенные из электролитов, содержащих избыток хлора, мелкозернистые и черного цвета. Образование осадков с мелкозернистой структурой может происходить по нескольким причинам: одной из них является высокая катодная поляризация, которая наблюдается при электролизе (рисунок), другой — повышение активности поверхности электрода, обусловливающего образование на ней большого числа кристаллических зародышей.

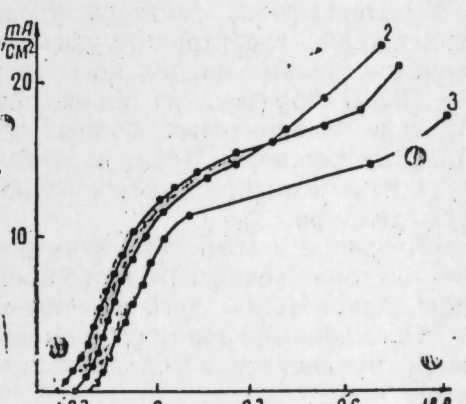
Отметим, что поверхность теллурового электрода обладает высокой адсорбционной способностью к ионам хлора.

Адсорбирующиеся на поверхности электрода ионы хлора препятствуют адсорбции других веществ.

Высокая поляризация связана с осаждением теллура на катоде из комплексных соединений. Прочность комплексов системы  $\text{TeCl}_4 + \text{CH}_3\text{OH} + \text{HCl}$  (избытка) зависит от добавленного количества избытка хлорида. На это, в частности, указывает смещение стационарных потенциалов Тe-электрода в отрицательную сторону с повышением концентрации  $\text{HCl}$  в растворе (табл. 2).

Таблица 2  
Зависимость стационарного потенциала Тe-электрода в растворах  $\text{TeCl}_4 + \text{CH}_3\text{OH}$ , содержащих различные концентрации  $\text{HCl}$   
 $C_{\text{HCl}} = 0,05 \text{ моль/л}$ ,  $t = 25^\circ\text{C}$

$\text{HCl}, \text{моль/л}$	$\varphi_{\text{Te}}, \text{В}$
Без добавки	+0,33
0,05	+0,31
0,5	+0,27
1	+0,25
3	+0,20
5	+0,18



Катодные поляризационные кривые 0,05 м растворов  $\text{TeCl}_4$  в метиловом спирте, содержащем  $\text{HCl}$  и  $\text{LiCl}$ : 1 —  $\text{TeCl}_4 + \text{CH}_3\text{OH}$ ; 2 — то же + 0,5 м  $\text{HCl}$ ; 3 — то же + 0,5 м  $\text{LiCl}$ .

С повышением содержания хлора концентрация свободных ионов теллура резко уменьшается, следовательно, повышается прочность комплекса.

Высокая катодная поляризация в присутствии избытка хлора обуславливает в то же время и более низкий выход по току катодного продукта.

При плотности тока 5—40  $\mu\text{A}/\text{см}^2$  ВТ  $\text{TeCl}_4$  в водносолянокислых электролитах составляет 97—99%. В спиртовых растворах, не содержащих избытка хлора, ВТ—103—104%, в 3—5 моль/л  $\text{HCl}$  ВТ снижается до 90—95%, содержание хлора в осадках при этом незначительно увеличивается.

Для электроосаждения теллура из спиртовых электролитов, содержащих избыток хлора, наиболее подходящая плотность тока 15—20  $\mu\text{A}/\text{см}^2$ ; в случае перемешивания электролита этот предел можно увеличить до 25—30  $\mu\text{A}/\text{см}^2$ . Спиртовые растворы  $\text{TeCl}_4$ , содержащие избыток хлора, обладают в 2—3 раза большей электропроводностью, чем растворы, не содержащие избыточного хлора.

Высокая катодная поляризация, хорошая электропроводность, снижение ВТ катодного продукта—все эти факторы отличают спиртовые, теллуровые электролиты, содержащие избыток хлора, от водных и спиртовых электролитов, не содержащих избыточного хлора.

Из уксуснокислых электролитов при плотности тока до 29  $\mu\text{A}/\text{см}^2$  на Pt-катоде осаждается плотный блестящий темно-серый осадок. При более высоких плотностях тока осадок отслаивается. Катодные осадки, полученные электролизом этиленгликоловых электролитов, бывают крупнокристаллическими и черного цвета. В интервале 5—10  $\mu\text{A}/\text{см}^2$ ,  $t=20-40^\circ\text{C}$  осадок плотно отлагается на поверхности электрода.

При более высоких плотностях тока осадок осыпается с поверхности катода.

В катодных продуктах, полученных электролизом водных и спиртовых растворов, кроме  $\text{TeCl}_2$ , обнаружены Si, Cu, Ag, Ca. В осадках, выделенных из этиленгликоловых и уксуснокислых электролитов, имеются только Ag, Cu, Mg, причем серебро концентрируется в катодных осадках, содержание меди не изменяется. Катодные осадки, выделенные из электролита, содержащего 10—2 моль/л выше серебра и меди или их суммы, бывают губчатые, серого цвета. Так как Ag является более электроположительным, чем теллур, возможно, что осадок теллура на катоде при недостаточной поляризации последнего контактирует с раствором указанного элемента. При очень малом содержании в электролите указанных примесей разряд их ионов происходит в режиме предельного тока.

Таким образом, из приведенных данных вытекает, что при электролизе солянокислых, водных, спиртовых, уксуснокислых, этиленгликоловых растворов  $\text{TeCl}_4$  на катоде осаждается элементарный теллур, в составе которого имеется от 0,03 до 5% хлора в виде двуххлористого теллура.

Введение в спиртовые электролиты избытка  $\text{HCl}$  или  $\text{LiCl}$  вызывает резкое торможение катодного процесса, сопровождающегося значительной поляризацией, чего не наблюдается в других электролитах.

Осажденный на катоде Te имеет более высокую чистоту. Многие примеси, имеющиеся в исходном теллуре, отсутствуют в электролитическом.

#### ЛИТЕРАТУРА

1. Алекперов А. Н., Бабаева М. А. Сб. Конференции работников металлургической и химической промышленности и сотрудников вузов. Изд. РГУ, Ростов н/Д, 1964. 2. Чижиков Е. М., Счастливый В. П. Теллур и теллуриды. Из-во „Нау-

ка“, М., 1966. 3. Одрит Л., Клейнберг Я. Неводные растворители. ИЛ, 1955. 4. Вайсберг А., Проскауэр, Риддик Дж. Органические растворители. ИЛ, 1958. 5. Алекперов А. Н., Бабаева М. А. Электроосаждение теллура из солянокислых электролитов. ДАН Азерб. ССР, № 1970.

Институт неорганической  
и физической химии

Поступило 27.II 1969

Э. И. Элекберов, М. Э. Бабаева, Ф. С. Новрузова

Сулу вә сусуз хлорид туршусу мәһілүлунда теллурин  
электролитик чөкдүрүлмәси

#### ХУЛАСӘ

Тәдгигатда дөрдхлорлу теллурин һидрокен хлоридли сулу, спиртли сиркә туршулу, этиленгликоллу мәһілүлларының мұхтәлиф шәрантәде электролитик чөкдүрүлмәси өјрәнилмишdir. Көстәрилән электролитләрин электролизи заманы катодда элементар теллур чөкүр. Онуң тәркибиндә 0,03—5%-ә гәдәр хлор мөвчуддур. Һәмир хлорун  $\text{TeCl}_4$  шәклиндә олмасы кимjәви анализ илә исbat едилмишdir. Чөкүнтуләрдәки хлорун мигдары электролиз шәрантингән, һәлледичинин тәбиэтиндән асылыдыр. Эн چох хлор дөрдхлору теллурин сиркә туршусу мүһитиндә алынан чөкүнтуләрindә, эн аз хлор исә этиленгликолун мәһілүлундан алынан чөкүнтудә олур. Ени заманда, көстәрилән электролитләрдә теллурин электродунун полjаризасијасы тәдгиг едилмишdir.

ОРГАНИЧЕСКАЯ ХИМИЯ

УДК 547.582.2: 661.185

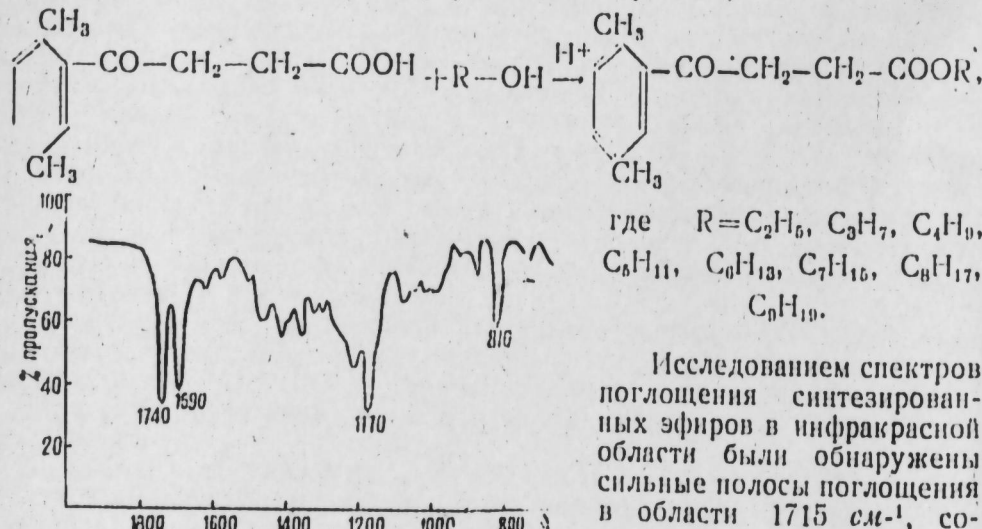
К. И. САДЫХОВ, Н. М. МАГЕРРАМОВА

**СИНТЕЗ НЕКОТОРЫХ ЭФИРОВ  $\beta$ -(2,5-ДИМЕТИЛБЕНЗОИЛ)-ПРОПИОНОВОЙ КИСЛОТЫ**

(Представлено академиком АН Азербайджанской ССР А. М. Кулиевым)

Среди различных поверхностно-активных веществ особый интерес представляют производные  $\beta$ -(2,5-дикарбоксилаты)-пропионовой кислоты. Настоящее исследование посвящено получению  $\beta$ -(2,5-диметилбензоил)-пропионовой кислоты и ее эфиров с целью дальнейшего изучения их поверхностно-активных свойств.  $\beta$ -(2,5-диметилбензоил)-пропионовая кислота была получена взаимодействием янтарного ангидрида с *n*-ксилолом в присутствии хлористого алюминия [1-6].

Этерификацией продукта реакции с различными спиртами были получены соответствующие эфиры по нижеприведенной схеме:



1—контроль; 2—сульфатное засоление 0,3%; 3—0,9%; 4—1,5%; 5—хлоридное засоление 0,3%; 6—0,9%; 7—1,5%; 8—карбонатное засоление 0,3%; 9—0,9%; 10—1,5;

*a*—цистин; *b*—лизин+гистидин; *c*—аргинин+аспарagine; *d*—глютамин+аспарагиновая к-та; *e*—серин+глиокол; *f*—глутамин, к-та+ треонин; *g*—валин; *h*—пролин; *i*—валин+метионин; *k*—фенилаланин; *l*—лейцин+изолейцин.

щения в области 810 см<sup>-1</sup> и 880 см<sup>-1</sup> характерны для 1,2,4-замещенного бензольного кольца (см. рисунок).

Согласно хроматографическим анализам в тонком слое окиси алюминия при различных системах растворителей:

- 1) бензол : серный эфир (1:2);
- 2) бензол : серный эфир (2:1);
- 3) гексан : ацетон (3:2)

синтезированные эфиры не содержали примесей ( $R_f=0,90-0,95$ ).

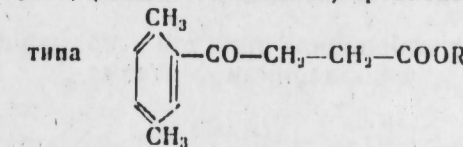
**ЭКСПЕРИМЕНТАЛЬНАЯ ЧАСТЬ**

I.  $\beta$ -(2,5-диметилбензоил)-пропионовая кислота с т.пл. 81—82°C была получена по методике, описанной в (1).

II. Бутиловый эфир  $\beta$ -(2,5-диметилбензоил)-пропионовой кислоты.

В реакционную колбу помещали 0,05 г/моль  $\beta$ -(2,5-диметилбензоил)-пропионовой кислоты, 0,5 г/моль дихлорэтана, 0,06 г/моль бутилового спирта и 1 мл концентрированной серной кислоты и смесь энергично перемешивали в течение 45 мин при температуре 70—80°C. Затем водный слой отделили и добавили еще 0,04 мол бутилового спирта и 0,5 мл концентрированной серной кислоты. После этого смесь нагревали до температуры 110°C при перемешивании в течение 90 мин и опять отделили водный слой. Обработку спиртом и кислотой повторяли до содержания  $\beta$ -(2,5-диметилбензоил)-пропионовой кислоты в органическом слое не выше 5%. В дальнейшем органический слой промывался теплой водой до нейтральной реакции и сушился над безводным сернокислым натрием.

**Качество эфиров  $\beta$ -(2,5-диметилбензоил)-пропионовой кислоты**



№ п.п.	<i>mR</i>	Вы- ход, %	Т-ра кип. °C (м.м рт. ст.)	<i>d</i> <sub>4</sub> <sup>20</sup>	<i>n</i> <sub>D</sub> <sup>20</sup>	<i>MR<sub>D</sub></i>		Найдено, %	Брутто- формула	Вычисле- но, %
						вычисл.	найд.			
1	C <sub>2</sub> H <sub>5</sub>	79,4	137 (0,8)	1,0841	1,5145	64,92	65,03	71,46	C <sub>14</sub> H <sub>18</sub> O <sub>3</sub>	71,79
2	C <sub>3</sub> H <sub>7</sub>	83,3	140—142 (1)	1,0601	1,5105	69,53	70,02	71,99	C <sub>15</sub> H <sub>20</sub> O <sub>3</sub>	72,58
3	C <sub>4</sub> H <sub>9</sub>	78,6	155—156 (1,1)	1,0499	1,5070	74,15	74,26	73,20	C <sub>16</sub> H <sub>22</sub> O <sub>3</sub>	73,28
4	C <sub>5</sub> H <sub>11</sub>	82,6	170—172 (2,5)	1,0364	1,5045	78,77	78,91	73,78	C <sub>17</sub> H <sub>24</sub> O <sub>3</sub>	73,91
5	C <sub>6</sub> H <sub>13</sub>	80,0	182—184 (2,5)	1,0229	1,5020	83,39	83,68	73,88	C <sub>18</sub> H <sub>26</sub> O <sub>3</sub>	74,48
6	C <sub>7</sub> H <sub>15</sub>	84,5	180—182 (1,4)	1,0119	1,5000	88,02	88,36	74,90	C <sub>19</sub> H <sub>28</sub> O <sub>3</sub>	75,00
7	C <sub>8</sub> H <sub>17</sub>	85,0	178—179 (0,7)	1,0069	1,4990	92,62	92,73	75,83	C <sub>20</sub> H <sub>30</sub> O <sub>3</sub>	76,10
8	C <sub>9</sub> H <sub>19</sub>	83,9	190—192 (0,6)	1,0007	1,4980	97,04	97,24	76,07	C <sub>21</sub> H <sub>32</sub> O <sub>3</sub>	75,90

баниям —C—O —R— связь. Наличие двух полос погло-

После отгонки растворителя и избытка спирта остаток перегоняли в вакууме. Было получено 10 г (78,6%) бутилового эфира  $\beta$ -(2,5-диметилбензоил)-пропионовой кислоты с т. кип. 155–156° (1,1)  $n_{D}^{20}=1,5070$ ;  $d_4^{20}=1,0499$  и элементарным составом.

найдено, % C=73,20 H=8,41  
вычислено, % C=73,28 H=8,39

В аналогичных условиях были синтезированы этиловый (I), и-пропиоловый (II), и-бутиловый (III), и-амиловый (IV), и-гексиловый (V), и-гептиловый (VI), и-октиловый (VII), и-нониловый (VIII) эфиры  $\beta$ -(2,5-диметилбензоил)-пропионовой кислоты.

В таблице приведены физико-химические константы и выходы синтезированных эфиров.

### Выводы

Получены и охарактеризованы 8 неописанных в литературе эфиров  $\beta$ -(2,5-диметилбензоил)-пропионовой кислоты.

### ЛИТЕРАТУРА

1. Синтез органических препаратов, сб. 2, 95–97, 1949.
2. Органические реакции, сб. 212, 1952.
3. Пат. США 2 071 496, 1937.
4. Rec. G. P. J. Am. Chem. Soc. 45 222, 1923.
5. Rogert, Ritter. J. Am. Chem. Soc. 47 526, 1925.
6. Papa, Schwenk, Willian k, Kinsberg. J. Am. Chew. Soc. 70, 3356, 1948.

Институт химии присадок

Поступило 28. X 1969

К. И. Садыхов, О. М. Мәһәррәмова

### $\beta$ -(2,5-диметилбензоил)-пропион түршусунун бә'зи ефирләриниң синтези

### ХУЛАСӘ

Мәгаләдә  $\beta$ -(2,5-диметилбензоил)-пропион түршусунун бә'зи ефирләриниң синтезиндән бәhc олумушшур. Апарылан тәдгигатлар иети-чесинде  $\beta$ -(2,5-диметилбензоил)-пропион түршусунун әдәбијатда мә'лум олмаған 8 жиңи ефири синтез вә харктеризә едилмишидир.

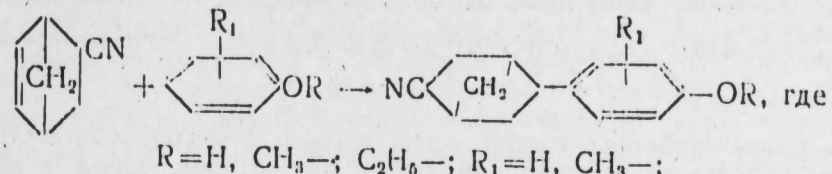
### ОРГАНИЧЕСКАЯ ХИМИЯ

УДК 544, 491, 458, 546, 27

С. Д. МЕХТИЕВ, М. Р. МУСАЕВ, Э. Э. ГАЙДАРОВА, Т. С. САМЕДОВА

### СИНТЕЗ ЦИАННОРБОРИЛФЕНОЛОВ И ИХ ЭФИРОВ

Настоящая работа посвящена синтезу нового класса соединений—цианнорборнилзамещенных фенола, крезола и фенетола по схеме:



Указанные соединения до нас синтезированы не были. Имеются данные [1] по конденсации фенола, орто-, мета- и пара-крезолов с норбориеном в присутствии  $\text{BF}_3$ , где авторы провели работы с целью получения новых душистых веществ и выяснения связи между химическим строением и запахом полученных продуктов.

Нами в качестве исходных продуктов берется фенол, крезолы и их эфиры, с одной стороны, и 2-цианбицикло-[2,2,1] гептен-5 (цианнорбориен)—с другой. Последний легко получается диеновым синтезом из цикlopентадиена и акрилонитрила [?]. Процесс осуществляется реакцией конденсации, где в качестве катализатора используется безводный хлористый алюминий.

### ЭКСПЕРИМЕНТАЛЬНАЯ ЧАСТЬ

Исходными продуктами служили фенол и его эфиры, а также цианнорбориен, физико-химические константы которых хорошо совпадают с литературными. Катализатором являлся хлористый алюминий.

Реакция проводилась в трехгорной стеклянной колбе, снабженной капельной воронкой, обратным холодильником и мешалкой следующим образом: 0,15 моль (20,8 г)  $\text{AlCl}_3$  подавали в реактор, загруженный 0,71 г/моль фенола и его производного. При этом наблюдалось повышение температуры от комнатной (18°C) до 36°C с частичным растворением  $\text{AlCl}_3$  и выделением паров  $\text{HCl}$ . Затем, в течение 30 мин при механическом перемешивании в реакционную смесь добавляли 0,14 г/моль (17 г) цианнорбориена.

По мере введения цианнорбориена температура росла и достигала 62°C, после чего смесь перемешивалась еще 30 мин. Конденсат обра-

батывался 8–9% HCl, промывался водой, сушился над сульфатом натрия и после отгонки не вступившего в реакцию фенола или его производного перегонялся под вакуумом выделением фракции целевого продукта. Выходы и физико-химические константы синтезированных продуктов приводятся в таблице.

Выходы и физико-химические свойства продуктов конденсации цианиорбориена с фенолом и его производными

Исходный фенол и его производные	Выход продуктов конденсации, % вес.	$n_D^{20}$	$d_4^{20}$	МВ		MRD		Содержание вычисл. найд.	по Кель- далью	Синтезированные соединения
				вычисл.	найд.	вычисл.	найд.			
Фенол	38,2	1,5577	1,5542	213	220	58,84	60,00	6,64	6,2	Цианиорбориил-фенол
О-крезол	57,2	1,5540	1,1280	227	232	63,378	64,38	6,15	5,9	Цианиорбориил-ортокрезол
Мета-крезол	37,8	1,5500	1,1251	227	231	63,37	64,24		5,8	Цианиорбориил-мета-крезол
Пара-крезол	37,6	1,5504	1,1260	227	230	63,37	64,21		5,82	Цианиорбориил-пара-крезол
Анизол	57,0	1,5535	1,1231	227	231	63,59	64,72	6,15	5,9	Цианиорбориил-анизол
Фенетол	45,3	1,5435	5,088	241	238	68,22	69,6	6,8	5,29	Цианиорбориил-фенетол

Из данных таблицы следует, что анизол, фенетол и орто-крезол обладают большей реакционной способностью, чем фенол и другие изомеры крезола в реакции конденсации с цианиорбориеном.

В настоящее время нами изучается структура синтезированных соединений.

### Выводы

1. Осуществлена реакция конденсации фенола, изомеров крезола, анизола и фенетола с цианиорбориеном в присутствии безводного  $\text{AlCl}_3$ . Установлено, что основными продуктами реакции являются цианиорбориилфенолы и их соответствующие эфиры, получаемые в количестве 37–57% от теории.

2. Впервые синтезированы и охарактеризованы физико-химическими константами 6 новых соединений—цианиорбориилзамещенные фенолы и их эфиры.

### ЛИТЕРАТУРА

1. Хейфиц Л. А., Шурови Л. М. и др. ЖОХ, 1963, 2412. 2. Gruson H. A. J. Amer. Chem. Soc. 64, 2457, 1042.

ИИХП

Поступило 16.II.1969

С. Д. Медиев, М. Р. Мусаев, Е. Е. Недэрова, Т. С. Семёдова

Синтезированы и охарактеризованы физико-химическими константами 6 новых соединений—цианиорбориилзамещенные фенолы и их эфиры.

### ХУЛАСЭ

Мэглэдэ фенолун, орта-, мета- вэ пара-крезолларын, анизолун, фенитолун синтезированы сусуз  $\text{BF}_3$  иширакы илэ конденсасија верилмишдир. Бундан башга, конденсасија мэйсулларынын чыхымы вэ физики-химјэви катитләри көстәрилмишдир. Фенолдан, о-, м-, п-крезолдан анизола вэ фенитола кечид заманы чыхым улгун олараг 38,2; 57,2; 37,8; 37,6; 57,0; 45,3-э бәрабәрдир.

С. М. КУЛИЕВ, А. П. МАНСУРОВ

### К ОПРЕДЕЛЕНИЮ ДОПОЛНИТЕЛЬНОГО ВНЕШНЕГО ДАВЛЕНИЯ НА ОБСАДНУЮ КОЛОННУ ПРИ ЭКСПЛУАТАЦИИ СКВАЖИН

Вопросу определения дополнительного внешнего давления на обсадную колонну от температурных изменений, происходящих при эксплуатации скважины в ее зацементированной зоне, посвящен ряд работ [1–3]. Однако в указанных работах не принято во внимание изменение температуры в радиальном направлении для каждого слоя составного цилиндра: обсадная колонна—цементное кольцо—возмущенная зона массива.

В данной работе сделана попытка учесть указанный фактор, что в известной степени приблизит условия задачи к действительности. При решении задачи рассматривается стационарный тепловой процесс и пренебрегают потоком тепла к торцам составного цилиндра. Предполагается, что на границах раздела слоев составного цилиндра соблюдаются условия непрерывности перемещений и напряжений, нормальных для границ.

Известно, что во время эксплуатации скважины горячая нефть, двигаясь по ее стволу, прогревает обсадную колонну, цементную оболочку и породу. Примем, что при этом распределение температуры в радиальном направлении симметрично относительно оси колонны, а изменение температуры движущейся жидкости вдоль оси в процессе эксплуатации скважины подчиняется линейному закону и с достаточной степенью точности может быть описано выражением:

$$T_{\text{ж}} = T_y + \Gamma_{\text{ж}} z, \quad (1)$$

где  $T_y$  — температура жидкости на устье скважины;

$\Gamma_{\text{ж}}$  — градиент изменения температуры жидкости;

$z$  — осевая координата, отсчитываемая от устья скважины.

На линейное распределение температуры жидкости вдоль оси колонны в фонтанирующих скважинах указывают и авторы работы [4].

Практически можно считать, что температура жидкости внутри колонны остается постоянной, т. е. в любом текущем сечении в радиальном направлении не изменяется.

Температуру пород на границе возмущенной зоны определяем по формуле

$$t_n = t_y + \Gamma_{\text{н}} z, \quad (2)$$

где  $t_y$  — среднегодовая температура горных пород на поверхности Земли;  
 $\Gamma_n$  — геотермический градиент изменения температуры горных пород.  
Радиус возмущенной зоны (рис. 1) может определяться по формуле:

$$r_4 = 2\sqrt{a\tau},$$



Рис. 1

где  $a$  — коэффициент температуропроводности пород;  
 $\tau$  — время эксплуатации скважины при данном установленном режиме работы.

Температура на внутренней поверхности обсадной колонны принимается равной температуре жидкости.

Температура на внутренней и внешней поверхностях цементной оболочки находим из уравнений [5]:

$$T_w - t_1 = (T_w - t_n) \frac{k}{2\pi r_1 \alpha_1}, \quad (3)$$

$$t_1 - t_2 = (T_w - t_n) \frac{k}{2\pi \lambda_1} \ln \frac{r_2}{r_1}.$$

Отсюда, получим:

$$t_1 = T_w - (T_w - t_n) \frac{k}{2\pi r_1 \alpha_1}$$

$$t_2 = T_w - \frac{k}{2\pi} (T_w - t_n) \left( \frac{1}{r_1 \alpha_1} + \frac{1}{\lambda_1} \ln \frac{r_2}{r_1} \right),$$

где  $\alpha_1$  — коэффициент линейного расширения материала обсадных труб;

$\lambda_1$  — коэффициент теплопроводности трубы;

$k$  — полный коэффициент теплопередачи.

Определим прирост температуры в каждом слое составного цилиндра обсадная колонна—цементное кольцо—возмущенная зона.

Если принять во внимание, что

$$\frac{\partial^2 t}{\partial z^2} = \frac{\partial^2 t}{\partial \varphi^2} = 0,$$

то уравнение теплопроводности при установленном тепловом режиме для цилиндрической стенки примет вид:

$$\frac{\partial^2 t}{\partial r^2} + \frac{1}{r} \cdot \frac{\partial t}{\partial r} = 0.$$

Общим решением этого уравнения будет:

$$t = c_1 \ln r + c_2.$$

С учетом граничных условий  $t|_{r=r_1} = T_w$  и  $t|_{r=r_2} = t_1$ , получим:

$$t = \frac{T_w - t_1}{\ln \frac{r_1}{r_2}} \ln \frac{r}{r_1} + T_w. \quad (4)$$

Подставляя (1), (2), (3) в (4) получим изменение температуры в обсадной колонне:

$$t = T_y + \Gamma_n z + \frac{k |T_w - t_y + (\Gamma_w - \Gamma_n)z|}{2\pi r_1 \alpha_1 \ln \frac{r_1}{r_2}} \ln \frac{r}{r_1}.$$

Прирост температуры в обсадной колонне будет:

$$T_1(r, z) = t - t_n = [T_y - t_y + (\Gamma_w - \Gamma_n)z] \left( \frac{k}{2\pi r_1 \alpha_1 \ln \frac{r_1}{r_2}} \ln \frac{r}{r_1} \right). \quad (5)$$

Пользуясь граничными условиями  $t|_{r=r_1} = t_1$ ,  $t|_{r=r_2} = t_2$  и  $t|_{r>r_2} = t_n$ , можем определить также прирост температуры в цементной оболочке и возмущенной зоне, которые соответственно будут:

$$T_2(r, z) = [T_y - t_y + (\Gamma_w - \Gamma_n)z] \left[ 1 + \frac{k}{2\pi} \left( \frac{\ln \frac{r_2}{r_1}}{\lambda_1 \ln \frac{r_2}{r_3}} \ln \frac{r}{r_2} - \frac{1}{r_1 \alpha_1} \right) \right],$$

$$T_3(r, z) = [T_y - t_y + (\Gamma_w - \Gamma_n)z] \left[ 1 + \frac{1 - \frac{k}{2\pi} \left( \frac{1}{r_1 \alpha_1} + \frac{1}{\lambda_1} \ln \frac{r_2}{r_1} \right)}{\ln \frac{r_3}{r_4}} \ln \frac{r}{r_3} - \frac{k}{2\pi} \left( \frac{1}{r_1 \alpha_1} + \frac{1}{\lambda_1} \ln \frac{r_2}{r_1} \right) \right].$$

Для определения дополнительного внешнего давления на обсадную колонну воспользуемся уравнениями равновесия в перемещениях и температурных напряжениях для плоского деформированного состояния. Уравнение равновесия для цилиндрической системы координат имеет вид [6]:

$$\frac{1}{r} \cdot \frac{du_l}{dr} - \frac{u_l}{r^2} + \frac{d^2 u_l}{dr^2} = \frac{1 + \mu_l}{1 - \mu_l} \alpha_l \frac{dT_l(r, z)}{dr}, \quad (6)$$

где  $l$  — номер слоев составного цилиндра;

$\alpha_l$  — коэффициент линейного расширения;

$T_l(r, z)$  — прирост температуры;

$\mu_l$  — коэффициент Пуассона.

Интегрирование уравнения (6) приводит к решению

$$u_l = \frac{\alpha_l}{r} \cdot \frac{1 + \mu_l}{1 - \mu_l} \int_{r_1}^r T_l(r, z) dr + A_l r + \frac{B_l}{r}, \quad (7)$$

где  $r_l$  — радиус  $l$ -го слоя составного цилиндра;

$A_l$ ,  $B_l$  — постоянные интегрирования.

Если учесть (7), то для плоского деформированного состояния ( $\epsilon_z = 0$ ) компонента напряжений в радиальном направлении (согласно теории температурных напряжений) определится так:

$$\sigma_r^{(1)} = \frac{E_1}{1+\mu_1} \left[ -\frac{(1+\mu_1)\alpha_1}{1-\mu_1} \cdot \frac{1}{r^2} \int_{r_1}^r r T_i(r) dr + \frac{A_1}{1-2\mu_1} - \frac{B_1}{r^2} \right]. \quad (8)$$

Входящие в это выражение шесть постоянных интегрирования  $A_1$  и  $B_1$  можно определить из граничных условий:

при  $r = r_1; \quad \sigma_r^{(1)} = 0$

$r = r_2; \quad \sigma_r^{(1)} = \sigma_r^{(2)}, \quad u_1 = u_2$

$r = r_3; \quad \sigma_r^{(2)} = \sigma_r^{(3)}, \quad u_2 = u_3$

$r = r_4; \quad \sigma_r^{(3)} = 0.$

Принимая  $i = 1$  и  $r = r_2$  с учетом выражений (5), (8) получим формулу для определения дополнительного внешнего давления на обсадную колонну:

$$P_t = \sigma_r^{(1)}|_{r=r_2} = -\frac{E_1 \alpha_1}{2(1-\mu_1)} [T_y - t_y + (\Gamma_{jk} - \Gamma_{ii})z] \left\{ 1 + \frac{-r_1^2 + \frac{k}{2\pi r_1 \alpha_1 \ln r_1 / r_2} \left[ r_2^2 \left( \ln \frac{r_2}{r_1} - \frac{1}{2} \right) + \frac{r_1^2}{2} \right]}{r_2^2} \right\} + \frac{E_1}{1+\mu_1} \left( \frac{A_1}{1-2\mu_1} - \frac{B_1}{r_2^2} \right).$$

Для количественной оценки дополнительного внешнего давления на обсадную колонну за счет возникающих в зацементированной зоне скважины температурных напряжений произведен расчет для следующих условий: глубина скважины  $H = 5000$  м, высота цементного стакана  $h = 2000$  м, наружный диаметр обсадной колонны  $d = 146$  мм, толщина стенки трубы  $\delta_1 = 10$  мм, температура флюида на устье скважины  $T_y = 60^\circ\text{C}$ , температура на забое  $t_3 = 110^\circ\text{C}$ , температура горных пород на устье скважины  $t = 23,5^\circ\text{C}$ ,  $E_1 = 2,1 \cdot 10^5 \text{ кГ/см}^2$ ,  $E_2 = 1,7 \cdot 10^5 \text{ кГ/см}^2$ ,  $\alpha_1 = 13 \cdot 10^{-6} 1/\text{°C}$ ,  $\alpha_2 = \alpha_3 = 3 \cdot 10^{-6} 1/\text{°C}$ ,  $\mu_1 = \mu_3 = 0,3$ ,  $\mu_2 = 0,4$ , полный коэффициент теплопередачи  $k = 2 \text{ ккал}/\text{м}^2 \text{ °C}$ , коэффициент температуропроводности горных пород  $a = 0,003 \text{ м}^2/\text{ч}$ , время эксплуатации скважины  $\tau = 100 \text{ ч}$ , толщина цементной оболочки  $\delta_2 = 30$  мм.

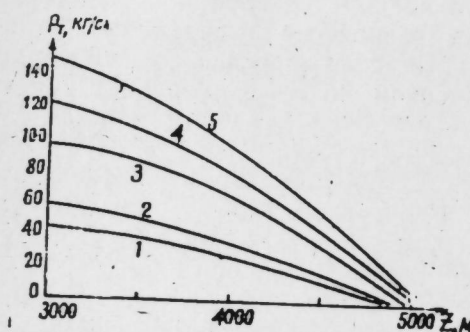


Рис. 2. Зависимость изменения дополнительного давления от модуля упругости горных пород в текущих сечениях цементного стакана при глубине скважины  $H = 5000$  м:  
1— $E_3 = 1 \cdot 10^5 \text{ кГ/см}^2$ ; 2— $E_3 = 2 \cdot 10^5 \text{ кГ/см}^2$ ;  
3— $E_3 = 4 \cdot 10^5 \text{ кГ/см}^2$ ; 4— $E_3 = 6 \cdot 10^5 \text{ кГ/см}^2$ ;  
5— $E_3 = 8 \cdot 10^5 \text{ кГ/см}^2$ .

Результаты расчета представлены в виде графика (рис. 2), из которого видно, что внешнее давление на обсадную колонну с увеличением

глубины текущего сечения цементного стакана уменьшается, а с ростом модуля упругости горных пород—возрастает. Кроме того, изменение модуля упругости горных пород и глубины текущего сечения цементного стакана оказывает существенное влияние на изменение дополнительного внешнего давления на обсадную колонну, которая может достигать значительной величины — в нашем примере  $145 \text{ кГ/см}^2$ . Для принятой в примере обсадной трубы  $146 \times 10$  мм из стали марки Е при овальности 0,01 и  $P_{cm} = 510 \text{ кГ/см}^2$ , указанное дополнительное давление составляет около 28% от сминающего давления. При коэффициенте запаса на смятие в зоне фильтра  $k_{cm} = 1,30$  допустимое сминающее давление  $P_{dop} = 392 \text{ кГ/см}^2$ , т. е. запас прочности этой трубы  $118 \text{ кГ/см}^2$ , что на  $27 \text{ кГ/см}^2$  меньше, чем определенное выше дополнительное давление. Следовательно, имеется опасность смятия колонны от дополнительного давления.

Таким образом, на основе изложенного приходим к выводу, что предварительный учет дополнительного внешнего давления, возникающего в зацементированной части обсадной колонны вследствие температурных напряжений, в известной степени поможет точному выбору коэффициента запаса прочности на смятие эксплуатационной колонны.

## ЛИТЕРАТУРА

- Измайлов Л. Б. Исследование и расчет зацементированной части обсадных колонн. „Недра”, 1966.
- Баймурзаев А. Л. и др. О дополнительном внешнем давлении на обсадную колонну при температурных изменениях в скважине. „Нефтяное хозяйство”, № 11, 1966.
- Абдинов М. А., Сулейманов И. А. К вопросу определения дополнительного внешнего давления на колонну при изменении температуры. „Изв. АН Азерб. ССР, серия наук о Земле”, № 6, 1967.
- Сидоров Н. А., Григорьев В. Н. О деформациях и напряжениях в обсадных колоннах скважин при высоких пластовых давлениях и температуре. Научно-технический сб. Некоторые вопросы крепления нефтяных и газовых скважин. ИТЭИИнефтегаз, 1962.
- Кутадзе С. С. Основы теории теплообмена. Машгиз, 1962.
- Боли Б., Дж. Уэйнер. Теория температурных напряжений. „Мир”, 1964.

Институт проблем  
глубинных нефтегазовых  
месторождений

Поступило 12.II 1969

С. М. Гулиев, Э. П. Мансуров

Гүјуларын истисмары заманы горујучу кәмәрә тә'сир едән әлавә харичи тәзҗигин тә'јиннә даир

## ХУЛАСӘ

Дәрин нефт гүјуларынын истисмары заманы температур дәјиши мәсінәттегінде мейдана чыхан вә горујучу кәмәрә тә'сир едән әлавә харичи тәзҗигин тә'јинни мәсәләси истәр нәзәри, истәрсә дә тәчрүби өткөндөн марагалыдыр.

Горујучу кәмәр-семент өртүү-сүхурун һәјәчанланымыш зонасындан ибарәт тәбәгә силиндрин радиал вә оху истигамәтләринде температур дәјиши мәсінәттегінде алынараг әлавә харичи тәзҗиг тә'јин едилмиш вә көстәрилмишdir ки, сүхурун еластикиjjэт модулунун, һәмчинин сement өртүүнүн чары кәсијинин дәрилийинин дәјиши мәсінәттегінде әлагәдар әлавә харичи тәзҗигин гијмәти горујучу борунун мөһкәмлик етијатындан чох ола биләр. Буна көрә дә, әлавә харичи тәзҗигин гијмәтини нәзәрә алараг, әзилмәjә гаршы мөһкәмлик етијаты әмсалынын дәгиг сечилмәсі истисмар заманы горујучу кәмәрин нормал ишләмәсі үчүн мүнүм шәрттәрdir.

ГЕОЛОГИЯ / НЕФТИ

Б. А. ГАДЖИЕВ

ХАРАКТЕР ПРОЯВЛЕНИЯ КОЛЕБАТЕЛЬНЫХ ДВИЖЕНИЙ В  
ВЕРХНЕМЕЛОВОЕ ВРЕМЯ В ПРЕДЕЛАХ КАЗАХСКОГО  
ПРОГИБА (М. КАВКАЗ)

(Представлено академиком АН Азербайджанской ССР А. А. Якубовым)

Казахский прогиб, имея северо-восточное простирание и располагаясь в бассейне р. Акстафачай, отделяет кулисообразано расположенные смежные положительные структуры (на западе Алавердский и на востоке Шамхорский антиклиниории) Сомхито-Агдамской зоны и в районе гор. Казах сливается со структурами Куринской впадины.

В геологическом строении исследуемой территории принимают участие отложения, начиная с верхней юры и до антропогена включительно.

В настоящей статье сделана попытка определить роль мощностей отложений в возобновлении характера (амплитуды, истинной величины и т. п.) колебательных движений верхнемелового времени в пределах Казахского прогиба.

Как отмечает В. В. Белоусов [5], распределение мощностей отложений, т. е. мест большего и меньшего их накопления, является весьма устойчивым во времени, последовательно, закономерно и тесно связано с ходом колебательных движений.

Приведенные мощности являются конечными, т. е. осадки каждого яруса перекрываются осадками последующего стратиграфического подразделения. Тем не менее в силу последующего размытия из-за нехватки определенных стратиграфических единиц в настоящее время восстановить истинную мощность осадков затруднительно.

Как известно, накопление осадков происходит в обстановке вертикальных (нисходящих) колебаний, с одной стороны, и изменения батиметрического (глубины морских бассейнов) уровня, с другой стороны.

Величина истинного прогибания, т. е. истинная величина колебательных движений, по данным мощностей отложений рассматриваемого периода в пределах Казахского прогиба определялась по формуле В. Е. Хания (1964).  $x = h - (p_1 - p_2)$ , при  $p_1 > p_2$  и  $x = h + (p_2 - p_1)$  при  $p_2 > p_1$ , где  $x$ —величина истинного прогибания,  $h$ —измеренная мощность

накопившихся осадков,  $p_1$ —первоначальная глубина морского бассейна,  $p_2$ —конечная глубина морского бассейна.

По имеющимся данным ряда исследователей, занимавшихся изучением палеографии, экологии, литологии и т. д. СВ склона М. Кавказа верхнемелового периода (М. М. Алиев, Р. Н. Мамедзаде и др.), средние глубины морских бассейнов характеризуются нижеследующими величинами: нижний коньок—50 м, кампан—110 м, сантон и маастрих—80 м, дат—35—45 м.

Начиная с раннемеловой эпохи до верхнемелового (нижеконьокского яруса) периода как СВ склон М. Кавказа, так и исследуемая территория в результате восходящих колебательных движений испытывают подъем и представляют собой обширную сушу, высоко поднятую над уровнем моря, колебательные движения носят дифференциальный характер.

Хотя в некоторых пунктах исследуемой территории известны и разрозненные выходы до нижнесенонских отложений, установление характера проявления колебательных движений удобнее анализировать с нижеконьокского времени, осадки которого распространены шире.

Нижеконьокский ярус—отложения широко развиты в Таузском заливе в районе сс. В. Оксюзли (представлены в основном аргиллитами мощностью до 268 м), Товус, Н. Кармирагбюр (туфопесчаники, туфоконгломераты мощностью до 570—580 м) и в Акстафинском заливе в районе с. Куши-Айрум (членование песчаников и известняков мощностью до 40 м).

Величина истинного прогибания исследуемой территории в рассматриваемом интервале времени, определенная по вышеприведенной формуле, характеризуется следующими величинами: в Таузском заливе—от 318 до 620—630 м, (в районе сс. Товус, Н. Кармирагбюр), в Акстафинском—в пределах от 90 (в районе с. Куши-Айрум).

Как видно из приведенных величин мощностей истинных прогибаний, в начале указанного времени исследуемая территория в целом испытывает погружение. Указанное время характеризуется широкой трансгрессией моря, наступающего с севера, в результате чего обширная часть исследуемой территории затапливается им.

Однако на общем фоне погружения Казахского прогиба наблюдается подъем кулисообразано расположенных положительных структур Шамхорского и Алавердского антиклиниориев, обрамляющих исследуемую территорию как с запада, так и с востока. Об этом свидетельствует присутствие прослоев туфоконгломератов и др. (в районе сс. Товус, Н. Кармирагбюр) среди песчано-глинистых (в Таузском заливе), песчано-известковистых отложений.

Верхеконьок-нижнесантонский интервал времени—(отложения рассматриваемого интервала на исследуемой территории пользуются широким развитием. Всюду в пунктах своего развития согласно перекрывает отложения нижнего конька. В Таузском заливе представлен порфиритами, туфопесчаниками, мергелями мощностью до 775 м, в пределах Акстафинского залива порфиритами, туфами и туфоконгломератами (сс. Севкар, Куши-Айрум), а в районе с. Кямарли в их составе появляются туфопесчаники и известняки. Мощность до 400 м.

Эти отложения также вскрыты (неполностью) бурением на площади Тауз—Казах. Последние по литологическому составу аналогичны с таковыми естественных обнажений. Вскрытая мощность до 195 м.

Величина истинного прогибания в указанное время характеризуется в пределах Таузского залива до 805 м, Аксафинского—до 430 м.

Как видно из приведенных значений мощностей литологических составов накопившихся осадков, а также величин истинных прогибаний,

исследуемая территория в указанное время испытывает интенсивное и устойчивое прогибание. Размах и амплитуда последних намного превышают таковые нижнеконьякского времени. Прогибание происходит неравномерно при условии некомпенсированного осадконакопления и сопровождается на участках максимальных прогибаний (Таузский залив) интенсивными вулканическими проявлениями.

Верхнесантонское время—отложения указанного времени всюду трансгрессивно перекрывают отложения верхнего конька—нижнего сантона. Последний свидетельствует о том, что исследуемая территория перед верхнесантонским временем в результате восходящих движений испытывала подъем и литологически представлена мергелями с прослойями голубых витрокластических туфов (трассов) в Таузском заливе и агломератовыми туфами (вершины горы Одундаг и Каракал), мергелями, известняками с прослойями туфов и туфопесчаников (с. Кямарли) в Акстафинском заливе.

Эти отложения вскрыты бурением на площади Тауз—Казах и Казах—Мамедтапе. Литологически аналогичны отложениям, развитым в пределах Таузского залива. Мощность—150 м.

Величина истинного прогибания исследуемой территории за рассматриваемое время не превышает 130—150 м, т. е. колебательные движения всюду проявились с одинаковой интенсивностью.

Исследуемая территория в верхнесантонское время в целом испытывает прогибание и всюду происходит накопление карбонатных пород, которые иногда прерываются мощными туфоконгломератами и туфобрекциями (с. Кямарли, Акстафинский залив). Прогибание происходит при условии компенсированного осадконакопления и сопровождается периодическими вулканическими проявлениями, о чем свидетельствует наличие прослоев бентонитовых глин среди осадков.

Кампанский век—эти отложения всюду согласно перекрывают отложения верхнего сантона. Литологически представлены известняками с прослойями крупнозернистых песчаников (в естественных обнажениях) и песчанистыми известняками (в скважинах).

Наибольшая мощность этих отложений фиксируется в районе г. Цингал (до 180 м) и в районе скважин профиля IV—IV площади Тауз—Долляр (до 280—300 м).

Величина истинного прогибания в кампанский век варьирует от 210 (в районе г. Цингал) до 320 м (в районе профиля IV—IV).

Как видно из приведенных значений величин истинных прогибаний в режиме колебательных движений существенных изменений не происходит, т. е. начавшееся в верхнем сантоне прогибание исследуемой территории продолжается и в кампанское время, достигая своего максимума в конце века. Колебательные движения проявляются неравномерно. Наблюдается увеличение размаха и амплитуды в направлении от СВ предгорий М. Кавказа в сторону р. Куры. Накопление осадков в указанный век (без вулканических проявлений) происходит при условии преобладания темпа прогибания над темпом осадконакопления.

Маастрихтский век—эти отложения известны в районе горы Кяиль и др. (Акстафинский залив), где представлены органогенно-обломочными известняками мощностью до 42 м, а также вскрываются скважинами площади Тауз—Казах №№ 21, 22 (вне профилей), 18 (пр. I—I) и 20 (пр. III—III). Представлены они в основном трещиноватыми известняками. Средняя мощность их порядка 120 м.

Во всех пунктах своего развития эти отложения несогласно перекрывают отложения кампанского века. Последний указывает на то, что на рубеже кампанского и маастрихтского веков исследуемая территория испытывает подъем и превращается в сушу, а затем с наступлением

маастрихтского века вновь испытывает прогибание. На общем фоне прогибания в пределах положительных структур происходит подъем, о чем свидетельствует более грубообломочный и песчаный характер отложений маастрихтского века с таковыми кампанского века.

Величина истинного прогибания за рассматриваемое время от 90 (в районе г. Кяиль) до 120 м (в районе скважин).

Накопление осадков в маастрихтское время происходит при условии преобладания темпа поднятия над темпом осадконакопления, что подтверждается обмелением дна морского бассейна с таковым кампанского века.

Датский век—естественные выходы отмечены Э. Т. Байрамалибейли [4] в районе с. Даши-Салахлы, А. А. Атабекяном [3] в районе с. Демирчиляр, г. Цахкар и в долине р. Севкар, а также вскрываются скважинами площади Тауз—Казах № 1, 13 (пр. I—I), 18 (пр. II—II), 21, 22 (вне профилей), где представлены мергелистыми и глинистыми известняками. Максимальная мощность датских отложений в скважине № 22 до 68 м, а в остальных скважинах варьирует в пределах от 9 (скв. № 1, пр. I—I) до 20 м (скв. № 21 вне профилей). Эти отложения во всех пунктах своего развития залегают согласно на отложениях маастрихтского яруса. Максимальная величина истинного прогибания в датский век до 28 м.

В датский век исследуемая территория в целом испытывает подъем, накопление осадков происходит лишь на тех участках, где мощности их превышают глубины морского бассейна рассматриваемого века.

В развитии колебательных движений верхнемелового времени в отношении относительного преобладания нисходящих или восходящих движений дважды отмечается преобладание нисходящих движений над восходящими и дважды восходящих над нисходящими. Первые в отношении геологического времени соответствуют началу нижнего конька до начала верхнего сантона и от начала кампанского века до начала маастрихтского, а вторые—от начала верхнего сантона до наступления кампанской трансгрессии и от начала маастрихтского века до конца датского века (рисунок).

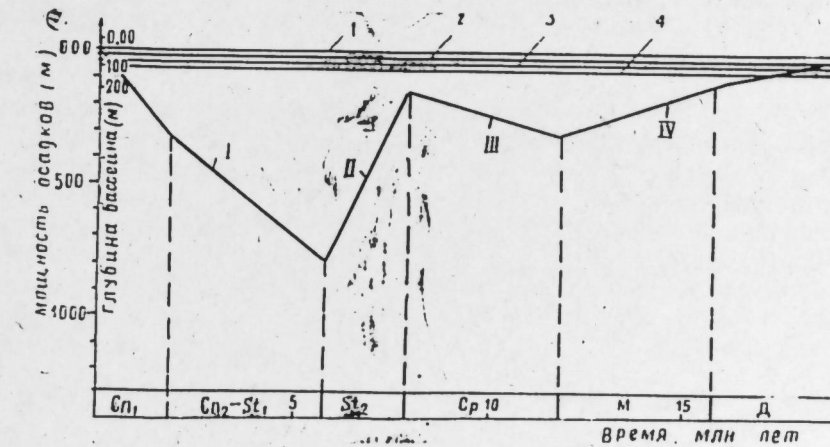


График максимальных величин колебательных движений верхнемелового времени в пределах Казахского прогиба (Малый Кавказ). Ось абсцисс—время (стратиграфические подразделения). Ось ординат—слева мощности отложений (м), справа—глубины морских бассейнов (м): 1—средняя глубина датского бассейна; 2—средняя глубина нижнеконькского времени; 3—средняя глубина сантона-маастрихтского бассейнов; 4—средняя глубина кампанского бассейна. I, III—относительное преобладание нисходящих движений над восходящими; II, IV—относительное преобладание восходящих движений над нисходящими.

## ЛИТЕРАТУРА

1. Алиев М. М., Мамедзаде Р. Н., Расулов Г. Л. Стратиграфия и текtonika меловых отложений Прикуринского района в связи с их нефтегазоносностью. "Меловые отложения Восточного Кавказа и прилегающих областей" (Биостратиграфия и палеография). М., 1967. 2. Атабекян А. А. ДАН Арм. ССР, 1953, № 3. 3. Атабекян А. А. Изв. АН Арм. ССР, 1959, № 6. 4. Байрамалибейли Э. Т. ДАН Азерб. ССР, 1964, № 9. 5. Белоусов В. В. Основные вопросы геотектоники. Госгеолиздат, 1962. 6. Мамедзаде Р. Н. Стратиграфия меловых отложений СВ части М. Кавказа. Изд. АН Азерб. ССР, 1967. 7. Халил В. Е. Общая геотектоника. Изд. "Наука", 1964.

Институт геологии

Поступило 28. II 1969

Б. Э. Һачыев

### Үст Тәбашир дөврүндә Газах чөкәклијинде баш вермиш рәгсвары һәрәкәтләрин хүсусијәтләrinе даир

#### ХҮЛАСЭ

Газах чөкәклији шимал-шәрг истигамәтиндә узанараг Ағстафа чајың һөвзәсиндә йерләшиб, Сомхит-Агдам тектоник зонасына дахил олан Шамхор (шәргдә) вә Алаверди (гәрбдә) антиклиниориләринин бирини дикәриндән айырараг, Газах шәһәри әразисинде Күр овалығының эсас структурлары илә бирләшир.

Мәгаләдә, топланмыш чөкүтүләрин галынлығына эсасән, Үст Тәбашир дөврүндә баш вермиш рәгсвары һәрәкәтләринин эсас чәһәтләринин көстәрilmәsinә чәһд едилмишdir. Беләки, В. В. Белоусова көрә, чох вә ja az галынлыглы чөкүтүләрин топланмасы заман с'тибарилә дәјишмәздир, ардычылдыр, ганунаујфундур, топланан чөкүтүләрин фасиал хүсусијәтләриндән асылы дејилdir вә յалныз рәгсвары һәрәкәтләрин кедиши илә сых әлагәдардыр.

Мәгаләдә тәдгиг едилән саһәнин Үст Тәбашир дөврүнүн айры-айры мәртәбәләриндә (алт конjak, үст конjak—алт сантон, үст сантон, кампан, маастрихт вә дат) баш вермиш рәгсвары һәрәкәтләрин җәчијәви хүсусијәтләри көстәрilmәшdir.

АЗӘРБАЙЧАН ССР ЕЛМЛӘР АКАДЕМИЈАСЫНЫН МӘРҮЗӘЛӘРИ  
ДОКЛАДЫ АКАДЕМИИ НАУК АЗЕРБАЙДЖАНСКОЙ ССР

ТОМ XXVI

№ 3

1970

## ГЕОЛОГИЯ НЕФТИ

В. З. СИМХАЕВ, Г. М. ГАЙДАРОВ, А. И. НИНАЛАЛОВ

### ГИДРОДИНАМИЧЕСКИЕ ИССЛЕДОВАНИЯ КОЛЛЕКТОРСКИХ СВОЙСТВ НИЖНЕМЕЛОВЫХ И ЮРСКИХ ОТЛОЖЕНИЙ НА МЕСТОРОЖДЕНИЯХ СЕВЕРНОГО ДАГЕСТАНА

(Представлено академиком АН Азербайджанской ССР Ш. Ф. Мехтиевым)

В результате большого разворота поисковых и геологоразведочных работ на нефть и газ в Дагестане, в пределах Прикумской нефтегазоносной области, было открыто много месторождений, некоторые из которых уже находятся в стадии пробной эксплуатации или опробования. С целью дальнейшей разработки месторождений появилась необходимость знания фильтрационных свойств пород продуктивного разреза. В этой связи нами изучались гидродинамические (коллекторские) свойства продуктивных мезозойских отложений, представленных нижнемеловыми и верхне-среднеюрскими карбонатными и терригенными разностями.

Гидродинамические исследования пластов и скважин проводились двумя методами: установившейся фильтрации и неустановившейся фильтрации.

Анализ полученных данных показал, что на месторождениях Северного Дагестана встречаются три разновидности коллекторов: пористые, трещиновато-пористые и чисто трещиноватые. Фильтрация жидкости в каждом конкретном случае порового пространства определялась по соответствующей методике. На кривые восстановления давления оказывают влияние не только физические параметры пласта (пористость, трещиноватость), которые обусловливаются структурой порового пространства, но и фазовое состояние флюида, а равно и их фазовые проницаемости. Это хорошо видно из рис. 1, 2, 3. Действительно,

зависимости  $\frac{kh}{\mu} - \kappa^{pr}$ ,  $\kappa - \kappa^{pr}$ ,  $\kappa - \kappa^{np}$  имеют две разновидности обусловленные характером получаемой продукции. Так, например, для IX пласта кривая "гидропроводность—проницаемость" в случае газоконденсатной залежи имеет больший угол наклона к оси абсцисс, чем для нефтяной зоны. При этом меняются и абсолютные величины гидропроводности при одинаковых значениях проницаемости.

То же можно сказать и относительно зависимости  $\kappa - \kappa^{pr}$ . Все это приводит к различной скорости движения флюида, передачи давления,

а также продуктивности (рис. 3). Для подтверждения высказанных соображений нами был построен график зависимости  $x - \frac{kh}{\mu}$  (рис. 4).

Согласно рис. 1, 2, 4 можно сказать, что с увеличением гидропроводности увеличивается пьезопроводность пород. Полученные зависимости не идут в разрез с общими представлениями законов фильтрации и передачи давлений в упруго-сжатой среде.

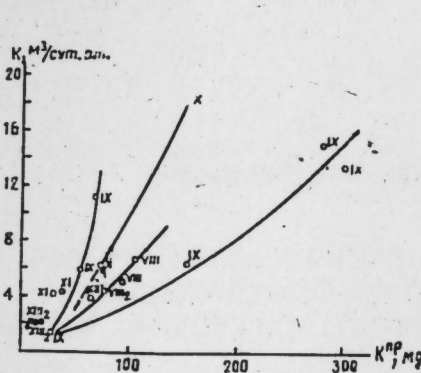


Рис. 1. Зависимость гидропроводности от проницаемости.

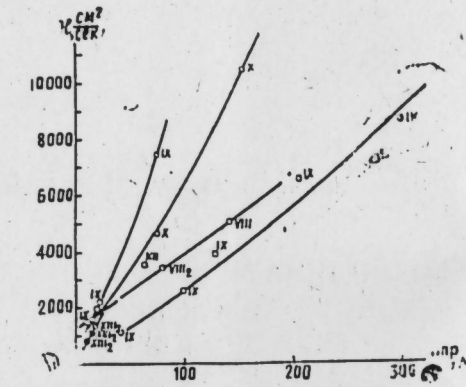


Рис. 2. Зависимость пьезопроводности от проницаемости.

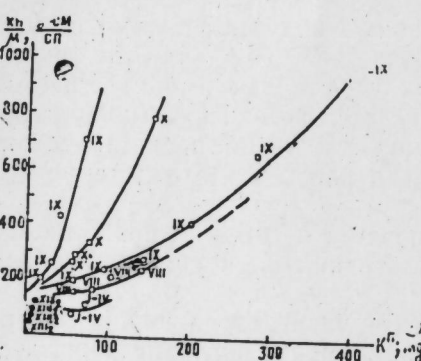


Рис. 3. Зависимость продуктивности от проницаемости.

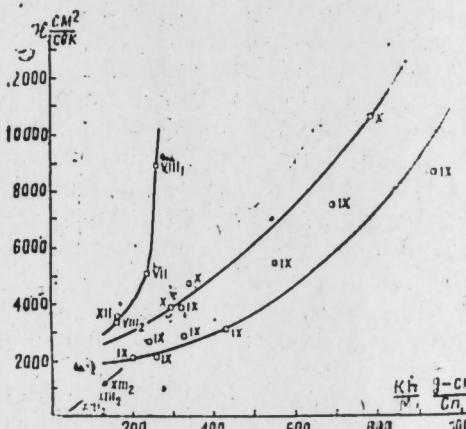


Рис. 4. Зависимость пьезопроводности от гидропроводности.

Опыт исследования кривых восстановления давлений в скважинах показал, что особую роль в распределении элементов гидродинамики флюида необходимо отводить их фазовым проницаемостям. В зависимости от величины насыщения смачивающей фазы и будет меняться величина ее фазовой проницаемости. Причем кривые зависимости относительной фазовой проницаемости от величины насыщенности будут зависеть еще в значительной степени от гидрофильтрности и гидрофобности пород. Исследования в этом направлении показали, что фазовые проницаемости в многокомпонентной системе в зависимости от смачиваемости пород для каждой из фаз имеют зеркальное изображение. Таким образом, подтверждается вывод о существенной роли фазовой проницаемости флюида, а также смачиваемости пород в гидродинамических исследованиях коллекторских свойств продуктивного разреза.

По мере нарушения равновесия в упруго-сжатой среде начинают проявляться изменения в коллекторских свойствах пород. Это можно проследить по гидродинамическим данным исследования скважин в процессе разработки многопластовых месторождений. Важным результатом гидродинамических исследований нижнемеловых и юрских отложений Северо-Дагестанской равнины является вывод о том, что песчаные коллекторы в условиях больших глубин и температур наряду с межзернистой пористостью обладают и трещиноватой. Эти выводы уже находят практическое применение в пределах Предкавказья.

Из построенных графиков видно, что для чисто трещиноватых коллекторов верхнеюрских отложений мы имеем наименьшие значения проницаемости, гидропроводности и пьезопроводности (рис. 1, 2, 4).

Одновременно с гидродинамическими исследованиями пластов и скважин в лаборатории ЦНИЛа объединения "Дагнефть" производились и экспериментальные работы по определению физических параметров пласта по кернам бурящихся скважин.

В результате обобщения всего полученного материала установили закономерное уменьшение с глубиной стратиграфического разреза пористости и проницаемости пород. Изменение проницаемости по разрезу происходит под влиянием необратимой деформации, которая имела место при диагенезе пород и их погружении на большие глубины. Сформировавшиеся породы приобретают новые свойства. Для карбонатных коллекторов величина необратимой деформации, возможно, больше, чем для пород с межзернистой пористостью (песчаников). Поэтому они (известняки) обладают пониженной проницаемостью. Конечно, на пористость и проницаемость трещиноватых коллекторов оказывает влияние еще целый ряд факторов, которые мы не рассматриваем в нашей статье.

Наряду с изучением коллекторских свойств по разрезу определенные исследования проводились по выявлению закономерностей изменения пористости и проницаемости по простианию продуктивных объектов. Анализ фактического материала показал, что в юго-восточном и южном направлениях от Сухокумской группы поднятий происходит уплотнение пород, уменьшение пористости, проницаемости и увеличение карбонатности.

Институт геологии

Поступило 14. X 1967

В. З. Симхаев, Н. М. Найдёров, Э. И. Ниналов

Шимали Дағыстан жатагларында Алт Тәбәшир вә Йура чекүтүләринин коллекторлыг хассәләринин һидродинамики тәддиги

#### ХУЛАСӘ

Мәгаләдә Шимали Дағыстан нефт-газ жатагларында гүуларын вәләјләрин һидродинамики анализи әсасында Алт Тәбәшир вә Йура чекүтүләрине гумдашылары илә дәнәчикләр арасында олан мәсамәләлклә бәрабәр, алт мәсамәлијә малик олмасы да көстәрилмишdir. Бундан башга, филтрасија хассәсинде флуидин иисбәти фаза кечиричилиji илә бәрабәр, сұхурларын исланма хассәси дә бөյүк рол ојнајыр.

ПЕТРОГРАФИЯ

А. Д. КЕРИМОВ, Г. С. МАМЕДОВ, Ф. А. КЕРИМОВ

К ВОПРОСУ ОБ УСЛОВИЯХ ОБРАЗОВАНИЯ И  
ВОЗРАСТЕ ВТОРИЧНЫХ КВАРЦИТОВ ЗАПАДНОГО  
СКЛОНА ЗАНГЕЗУРСКОГО ХРЕБТА

(Передставлено академиком АН Азербайджанской ССР М. А. Кашиаем)

Среди метасоматически преобразованных вулканогенных пород западного склона Зангезурского хребта значительным развитием пользуются вторичные кварциты, слагающие приэкзоконтактовый ореол Мегри-Ордубадского батолита и отдельные поля к северо-западу от него. Несмотря на широкое распространение и рудоносность, этим вторичным кварцитам до сих пор не уделялось достаточного внимания. Имеющиеся скучные литературные сведения не дают должного представления о составе вторичных кварцитов, о минеральных фациях, их взаимоотношениях, зональности, геологических и физико-химических условиях их образования.

Среди проблем, неотложно требующих дополнительного освещения и доказательств, в первую очередь нужно выделить вопросы генезиса и возраста вторичных кварцитов. До сих пор вторичные кварциты западного склона Зангезурского хребта рассматриваются как контакто-метаморфические образования, возникшие в сфере активного контактового воздействия среднеолигоцен-доминоценового граносиенитового интрузива Мегри-Ордубадского батолита [2]. Такой взгляд на происхождение вторичных кварцитов в основном базируется на представлении об их преимущественном распространении вдоль контакта с гранитоидным интрузивом и отражает концепцию контактowego генезиса вторичных кварцитов.

Наши фактические данные, полученные за последние годы в процессе изучения ряда рудных районов рассматриваемой области, позволяют прийти по затронутым вопросам к принципиально иным выводам о том, что вторичные кварциты западного склона Зангезурского хребта являются не своеобразными kontaktовыми образованиями, а продуктами газогидротермального изменения в процессе активного и длительного проявления среднеэоценовой вулканической деятельности. С интрузивным же магматизмом и, по-видимому, с его наиболее поздними этапами, связаны лишь, узкие, линейно вытянутые зоны гидротермально-измененных, в том числе и окварцованных пород, разви-

вающихся вдоль крупных трещин и тектонических нарушений. По времени образования они значительно оторваны от интересующих нас вторичных кварцитов.

В первую очередь, обращает внимание распространение обширных полей вторичных кварцитов исключительно внутри контуров вулканогенных пород среднего эоцена и их совместная линейная вытянутость параллельно Главному Ордубадскому глубинному разлому. Этот долгоживущий тектонический шов, проходящий в приосевой части Зангезурского антиклиниория на стыке его с Ордубадским синклиниорием, в ранний эоценовый период своего формирования, несомненно, служил подводящим каналом при движении магмы из глубины к поверхности. В общем незначительные излияния лав сопровождались сильными пароксизмальными эксплозиями колоссальной массы пирокластического материала, свидетельствующими о центральном типе извержений. Они привели к накоплению мощной вулканогенной толщи (андезиты, порфиры, их туфы и туфобрекции), достигающей в районе Аляги-Казангельдаг мощности 1000 м по Ш. А. Азизбекову [1]. Ограничено распространение имели трешинные извержения, подводящие каналы которых на современном срезе сохранились в виде дайкоподобных тел, переходящих в покровы аналогичного состава. Существовали также и многочисленные мелкие очаги излияний, представляющие собой отдельные выходы магмы вблизи основных вулканов с характерным более кислым составом исходной лавы (андезито-дациты, дациты). На современном уровне эрозионного среза они представлены субвулканическими интрузивами, отмеченными во многих пунктах исследованного района (Агдары, Насирваз, Квануц, Хазарюрт и др.). В ряде случаев с ними тесно ассоциируют отдельные разобщенные поля вторичных кварцитов, распространенные на значительном удалении от гранитоидного интрузива, вне его контактowego ореола (рис. 1). Непосредственная пространственная ассоциация вторичных кварцитов с вулканическими образованиями постоянно наводит на мысль о генетической связи между ними. Большой интерес представляют обломки вторичных кварцитов, передко несущих вторичную медную минерализацию, обнаруженные нами в агломератовых туфах вблизи субвулканических интрузивов Агдары, Квануца, Параги, Хазарюрта и др.

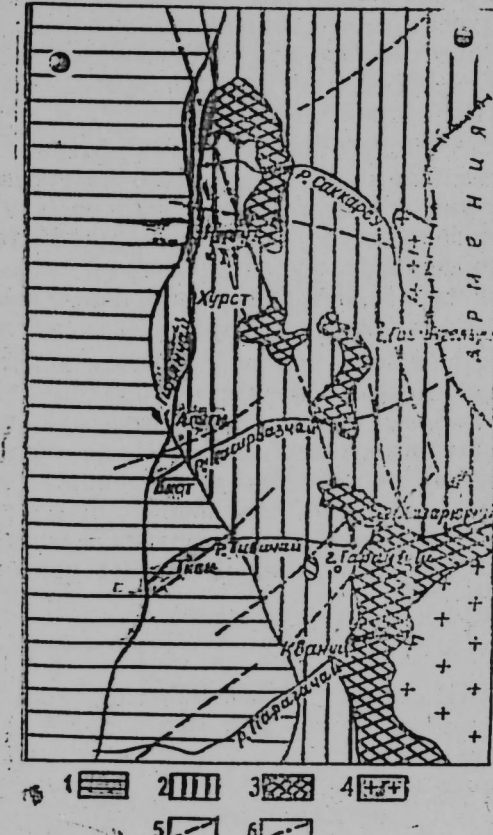


Рис. 1. Схематическая геологическая карта распространения вторичных кварцитов на северо-западном склоне Зангезурского хребта: 1—вулканогенно-осадочные породы среднего эоцена; 2—вулканогенные породы среднего эоцена; 3—вторичные кварциты; 4—гранитоиды Мегри-Ордубадского батолита; 5—тектонические нарушения; 6—ось антиклинальной складки.

Сторонники контактового гнезиса в зависимости от первичного состава изучаемых пород и условий метасоматоза выделяют кварциты эндозоны и кварциты экзозоны. Первые образовались, по их мнению, за счет приконтактового выщелачивания краевых фаций граносиенитового интрузива (габбро, габбро-диориты). Вторые — в результате метасоматического замещения вулканогенных пород. Однако наблюдения показывают, что всюду контакты окварцированных и интрузивных пород резкие и рвущие, что свидетельствует о добатолитовом возрасте вторичных кварцитов. Действительно, трудно себе представить образование обширных площадей типичных вторичных кварцитов за счет существенно габбродиоритовых краевых фаций граносиенитового интрузива. Известно, что до сих пор явления метасоматического замещения основных пород (габбро, базальтов, диабазов и др.) с образованием вторичных кварцитов не отмечались и, вероятно, они весьма редки.

Наряду с изложенными фактами, обращает внимание отсутствие сколько-нибудь заметного интенсивного окварцевания вокруг таких крупных гранитоидных штоков, как Лякяташ и Сакарсу — сателлитов Мегри-Ордубадского батолита. Интересно также, что дайки диорит-порфиридов и лампрофиров — жильных дериватов граносиенитового интрузива, ясно секут вторичные кварциты и в то же время не испытывают никаких гидротермальных изменений.

Наконец, неопровергнутым доказательством добатолитового, доэоценового возраста вторичных кварцитов являются впервые обнаруженные нами ксенолиты этих кварцитов в интрузивных породах эндоконтактовых фаций Мегри-Ордубадского батолита в районе Парагачайского медно-молибденового месторождения. Ксенолиты вторичных кварцитов довольно крупных размеров ( $6\text{--}13,3 \times 10^3 \text{ м}^3$ ) отмечены в роговообманковых диоритах и роговообманковых кварцевых диоритах по ручью Мунундара (левый приток р. Парагачай), меньших разме-

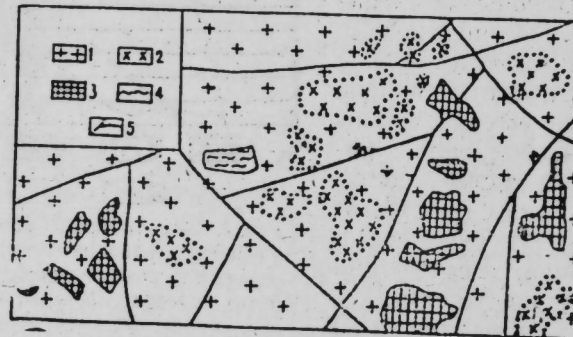


Рис. 2. Зарисовка — деталь размещения ксенолитов вторичных кварцитов в кварцевых диоритах недалеко от шт. № 57 Парагачайского месторождения: 1 — кварцевые диориты; 2 — шлиры кварцевых диоритов; 3 — ксенолиты вторичных кварцитов; 4 — ксенолиты сильво-железистых пород; 5 — трещины отдельности.

ров в районе штолни № 6 и штолни № 57 (рис. 2). Вмещающие крупные ксенолиты вторичных кварцитов интрузивные породы нередко приобретают гибридный характер с появлением в них новообразований кварца, многочисленных палочек, брусков и иголок апатита раз. подтверждает доинтрузивный возраст вторичных кварцитов, ас-

симилированных внедрившейся магмой в процессе формирования отмеченного батолита.

По предварительным данным микроскопических исследований, во вторичных кварцитах-ксенолитах, помимо преобладающего кварца в форме неправильных зерен различных размеров, установлены в заметном количестве серицит-мусковит, андалузит, рутил, диаспор, пирит, иногда апатит, циркон. Обращает внимание наличие в большом количестве граната (?) в виде правильно ограниченных (пяти- и шестиугольных) и изометрических зерен, обнаруживающих буроватую окраску, высокий показатель преломления и отчетливо выраженную изотропность. Помимо минерального состава, вторичные кварциты-ксенолиты и вторичные кварциты-фации, слагающие район Парагачайского медно-молибденового месторождения, обнаруживают полное сходство и по содержанию элементов-примесей, что видно из нижеприведенной диаграммы (рис. 3).

Таким образом, все выше-приведенные данные с очевидной наглядностью свидетельствуют о добатолитовом возрасте исследованных вторичных кварцитов и образовании их в генетической связи с газогидратотермальной деятельностью среднеэоценового вулканизма.

Сделанные нами выводы полностью согласуются с современными представлениями о происхождении вторичных кварцитов.

Н. И. Наковник [5], детально изучивший классические вторичные кварциты Центрального Казахстана и сопоставивший их с аналогичными породами других районов СССР и за рубежом, приходит к выводу, что вторичные кварциты представляют собой особый комплекс гидротермально метасоматических пород, генетически связанных с послемагматическими экструзивными, а не с глубинными интрузивными процессами.

Генетическую связь вторичных кварцитов с вулканической деятельностью убедительно доказал М. А. Кашкай [3, 4] при изучении колчеданных месторождений Малого Кавказа. Эта идея в дальнейшем получила широкое признание на большом фактическом материале по многим районам указанной территории, в том числе и по нашему.

## ЛИТЕРАТУРА

1. Азизбеков Ш. А. Геология Нахичеванской АССР, М., 1961.
2. Азизбеков Ш. А., Бекташ и С. А. Контактовый метаморфизм Мегри-Ордубадского гранитоидного батолита. «Изв. АН Азерб ССР», № 4, 1961.
3. Кашкай М. А. К вопросу о формировании колчеданных залежей Малого Кавказа. «Изв. АН Азерб. ССР», № 10, 1951.
4. Кашкай М. А., Алиев В. И. О гальках пирита пиритизированных вторичных кварцитов из Чирагидзорского месторождения колчеданных руд Азербайджанской ССР. Труды Гор.-геол. ин-та Уральского филиала АН СССР, вып. 43, 1959.
5. Наковник Н. И. Вторичные кварциты СССР, Недра, М., 1968.

Институт геологии

Поступило 2. I 1969

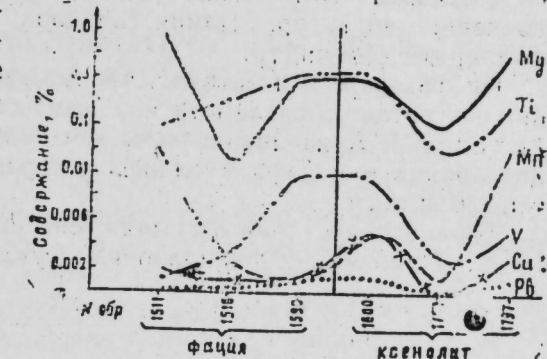


Рис. 3. Сравнительная диаграмма распределения элементов-примесей в ксенолитах и фациях вторичных кварцитов.

ХҮЛАСЭ

Зәнкәзур дағ силсиләсинин гәрб Іамачларында метасоматик јолла әмәлә кәлмиш вулканокен сүхурлар ичәрисинде төрәмә кварцитләри хүсуси јер тутур. Кениш мигјасда Ѵајымасы вә филиз дашымасына бахмајараг, әдәбијатда бу барәдә чох чүз'и мә'лumat вардыр. Бир сыра тәдгигатчылар төрәмә кварцитләриң Іалныз Меһри—Ордубад батолитинин Іан сүхурларла тәмас едән һиссәсинде инкишаф етмәсими вә онларын контакт метасоматик јолла әмәлә кәлмәсими сөјләјир.

Тәдгигатларымыз нәтичәсендә айынлашдырылышы дыр ки, төрәмә кварцитләр тәкчә Меһри—Ордубад батолитинин тәмасында дејил, да-на узагларда—Орта Еосен Іашлы вулканокен сүхурлар ичәрисинде дә кениш јер тутур. Һәмин саһәләрдә мәркәз типли вулканларын фәалијәти олмушудур.

Бу фактлара әсасланараң, төрәмә кварцитләриң Еосен вулканализмийни һидротемал фәалијәти илә әлагәдар олараг әмәлә кәлмәси тәсдиғи едилир. Буна ииандырычы даһа бир амил төрәмә кварцит ксенолитләринин илк дәфә мүәллифләр тәрәфиндән интрузивин ичәрисинде тапылмасыдыр.

Төрәмә кварцитләр һаггында јени сөјләниләнләр М. Э. Гашгај вә Н. И. Наковникин фикирләриң үзгүндүр.

ГЕОХИМИЯ

Ф. Г. ДАДАШЕВ, А. М. МАМЕДОВ

ГЕЛИЕНОСНОСТЬ УГЛЕВОДОРОДНЫХ ГАЗОВ  
ВОСТОЧНОГО АЗЕРБАЙДЖАНА

(Представлено академиком АН Азербайджанской ССР Г. А. Ахмедовым)

На базе богатых ресурсов природного газа и растущей мощности газодобывающей и перерабатывающей индустрии в нашей стране ускоренными темпами развивается газовая промышленность.

Разработка промышленных залежей газа требует тщательного изучения количественного распределения в нем всех компонентов с целью их наиболее рационального и полного использования в народном хозяйстве. Одним из ценных и содержащихся в небольших количествах компонентов природного газа является гелий.

Гелиеносность природных и, в частности, углеводородных газов Азербайджана изучена далеко не достаточно. В литературе освещены результаты единичных анализов с определением названного компонента в газах, отобранных из скважин и действующих грифонов грязевых вулканов.

В период полевых работ 1964—1967 гг. на нефтяных, газоконденсатных месторождениях, разведочных площадях и грязевых вулканах Восточного Азербайджана—Апшеронской, Кобыстанской, Прикурийской нефтегазоносных областей и Бакинского архипелага авторами было отобрано и исследовано более 150 проб газа на определение содержания гелия. Анализ газа произведен в газовых лабораториях ВНИИЯГГа и ВНИИГАЗа.

Полученные результаты показывают, что содержание гелия в газах нефтяных месторождений изменяется от 0,0002 до 0,0096%; в газах газоконденсатных месторождений—0,0020—0,0110%, в газах грязевых вулканов—0,0006—0,1200%.

Таким образом, содержание гелия в природных газах Восточного Азербайджана изменяется в довольно широких пределах—от десяти тысячных до десятых долей процента и по классификации В. П Якуниченко они могут быть относены к газам низкой, пониженної и повышенной гелиеносности.

Содержание гелия в составе углеводородных газов увеличивается со стратиграфической глубиной вмещающих пород.

Среднее процентное содержание гелия в газах ашеронского яруса, продуктивной толщи и грязевых вулканов

Место отбора проб	Возраст вмещающих пород	Число анализов	Среднее содержание гелия, %
Нефтечала, о. Глининый о. Обливной, о. Свиной	Ашеронский ярус	8	0,0041
Карадаг, Кяиниздаг, Сангачалы-море, Дуваний-море, о. Булла, Мишовдаг, Кюровдаг Карабаглы, Бабазанай, Нефтечала, Кюрсиянга, Пирсагат, Калмас, о. Обливной.	Продуктивная толща	64	0,0053
Грязевые вулканы	-	45	0,0074

Как видно из таблицы, вышеуказанные закономерности прослеживаются и по разрезу плиоценовых отложений Восточного Азербайджана. Так, пониженное содержание гелия—0,0041%, отмечается в газах ашеронского яруса, а сравнительно повышенное—0,0053% в газах продуктивной толщи.

Еще большее количество гелия отмечается в газах грязевых вулканов—0,0074%, которые питаются газом из нижнетретичных и мезозойских пород. Этот вывод подтверждается и материалами разрезов отдельных месторождений. Так, в разрезе продуктивной толщи на месторождениях Кюрсиянга от III горизонта (0,0036%) к VI (0,0075%), о. Булла от I горизонта (0,0011%) к VII (0,0065%) наблюдается увеличение содержания гелия. Аналогичное изменение количества гелия в природных газах наблюдается на месторождениях Умбаки, Кюровдаг, Калмас и др.

В отличие от указанных месторождений на месторождении Нефтечала вниз по разрезу плиоценовых отложений отмечается уменьшение содержания гелия: 0,0041% в газах ашеронского яруса и 0,0016% в продуктивной толще. В разрезе месторождения Карадаг, какой-либо направленности изменения содержания гелия в разрезе не наблюдается.

Не менее закономерно изменяется содержание гелия по площади. Большое количество анализов газа продуктивной толщи и грязевых вулканов позволило построить карты изменения содержания гелия в природных газах.

На картах, построенных по данным анализов газа продуктивной толщи (рис. 1), в пределах ЮВ Кобыстана, Прикуринской низменности и Бакинского архипелага по процентному содержанию гелия выделяются три зоны.

Первая зона охватывает пограничную область Ашеронского полуострова и ЮВ Кобыстана, а также северную часть Бакинского архипелага. Углеводородные газы этой зоны характеризуются наибольшим количеством гелия, изменяющимся в среднем от 0,0040 до 0,0083%. В пределах ЮВ Кобыстана и северной части Прикуринской низменности располагается вторая зона, в газах которой содержание гелия уменьшается до 0,0030—0,0039%.

Третья зона выделена на территории Прикуринской низменности и примыкающей акватории южной части Бакинского архипелага. Здесь содержание гелия в природных газах минимальное—0,0016—0,0028%, хотя на двух площадях—Бабазанай и Кюрсиянга процент его повышается соответственно до 0,0085 и 0,0049%.

Несколько иное распределение по площади концентраций гелия отмечается в газах грязевых вулканов Азербайджана. Зона пониженного содержания гелия 0,0008—0,0032 (рис. 2) охватывает акваторию

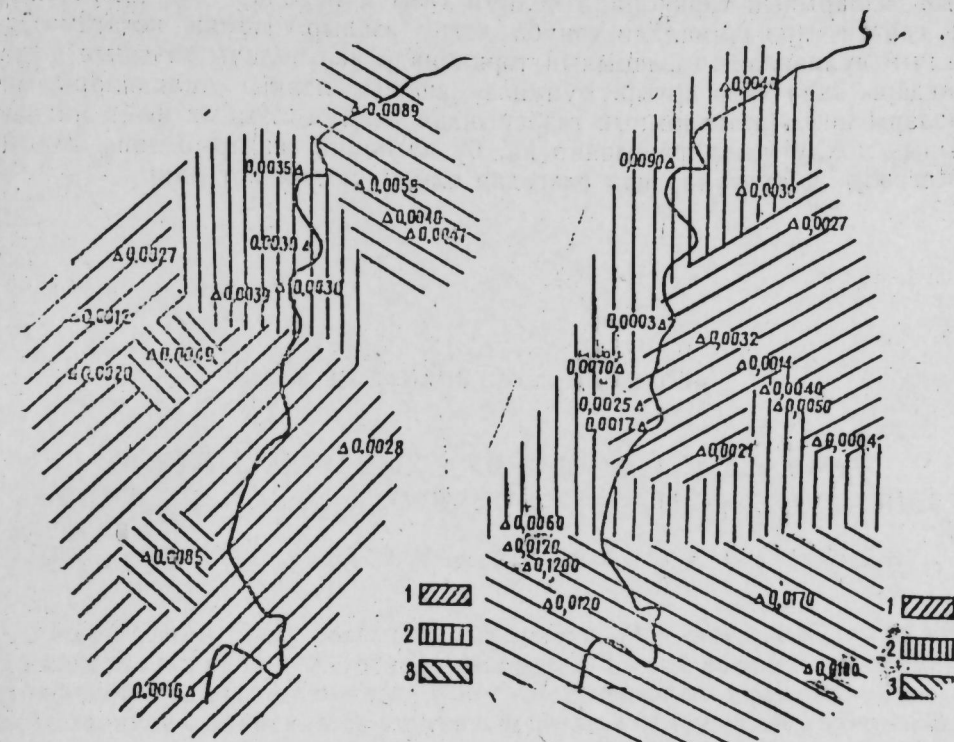


Рис. 1. Карта изменения содержания гелия в природных газах продуктивной толщи: 1—<0,0030%; 2—0,0030—0,0040%; 3—>0,0040%.

Рис. 2. Карта изменения содержания гелия в природных газах грязевых вулканов: 1—<0,004%; 2—0,004—0,0010%; 3—>0,010%.

большей части Бакинского архипелага и береговую полосу Прикуринской низменности. С запада и юга эта зона окружена грязевыми вулканами, в газах которых содержание гелия увеличивается до 0,004—0,009%. На юге по данным изучения природных газов пяти грязевых вулканов выделяется зона максимального содержания гелия, равного 0,010—0,122%.

Таким образом, в изменении содержания гелия как в разрезе, так и по площади нефтегазоносных областей наблюдается определенная направленность.

Институт геологии

Поступило 22. II 1968

Ф. Н. Дадашов, Э. М. Маммадов

Шәрги Азәрбајҹанда карбоидрокен газларынын тәркибиндә һелиум газы

ХУЛАСЭ

Ашерон, Гобустан, Курданы нефти-газлы вилајэтләриндә вә Бакы архипелагында јерләшән нефт, газ-конденсат йатагларынын, кәшифийәт саһәләрин вә палчыг вулканларынын карбоидрокен газлары тәр-

кибиндәки һелиум газының тәдгиги нәтижесинде мүәјжән едилмишdir ки, бу газ плиосен чөкүнүләри кәсилиши боју јухарыдан ашағыда дөгру ганунауғун олараг артыр. Бундан әlavә, тәдгиг едиләни јатагларын газларының тәркибиндә һелиум газы мәһсулдар гат чөкүнүләри саһәси үзрә шималдан чәнуба дөгру азалып. Һәмин истигамәтдә палчыг вулканлары газларының тәркибиндә исә һелиум газының фаза мигдары саһә үзрә артыр. Бунуна җанашы, палчыг вулканларының газлары нефт јатагларының газларындан һелиум газының фаза мигдарының чохлуғу илә фәргләнир ки, бу да һәмин газларын даһа гәдим (Мезозој) чөкүнүләр илә әлагәдар олмасына дәлаләт едир.

Н. М. ИСМАИЛОВ, Ш. А. МАМЕДОВА

ОБМЕН СВОБОДНЫХ АМИНОКИСЛОТ У ДУРМАНА  
ИНДЕЙСКОГО ПРИ ХЛОРИДНО-СУЛЬФАТНОМ ЗАСОЛЕНИИ

(Представлено академиком АН Азербайджанской ССР В. Р. Волобуевым)

Ранее нами было показано (Исмаилов, Мамедова, 1967), что под влиянием хлоридно-сульфатного засоления почвы алкалоиды дурмана индейского (*Datura innoxia* Miller) претерпевали количественное и качественное изменения: в листьях заметно увеличивалась концентрация, в остальных органах (корнях, стеблях, плодах) происходило снижение ее. При этом подавлялся синтез скополамина в листьях и обнаруживалось наличие гиосциамина. Засоление, вначале несколько тормозившее накопление белков в листьях и корнях, в последующие фазы развития усиливало синтез белков в указанных органах.

В связи с этим представляло интерес проследить направленность обмена свободных аминокислот и амидов, которые являются промежуточными веществами при синтезе алкалоидов и белков у растений. Результаты этих исследований и приводятся в настоящей статье.

Материалом для анализа послужили те же опытные растения, в которых определены алкалоиды и белковые вещества (Исмаилов, Мамедова, 1967). Аминокислоты были установлены методом нисходящей хроматографии на бумаге при растворителе—н-бутанол—уксусная кислота—вода (4:1:5). В качестве проявителя использовали ингицин по А. И. Бояркину (1956). Содержание аминокислот было определено визуально, с оценкой интенсивности окраски в шесть баллов.

Полученные нами данные (таблица) по аминокислотному составу листьев показали, что из 15 обнаруженных аминокислот преобладающими являются аргинин, лизин, амид аспарагин, а затем аспарагиновая и глютаминовая кислоты.

Прежде всего наблюдается увеличение содержания большинства аминокислот под влиянием засоления: гистидина, аргинина, аспарагина, аспарагиновой кислоты, серина, глицина, глютаминовой кислоты, треонина, аланина, метионина, валина. Если увеличение содержания этих аминокислот в листьях происходило в фазах цветения и незрелых плодов, то в зрелых плодах количество их, за исключением аргинина, серина и глицина, идет на убыль. Количество же других

аминокислот: цистина, лизина и амида глютамина—под влиянием хлоридно-сульфатного засоления во всех трех фазах развития уменьшалось.

**Влияние хлоридно-сульфатного засоления (0,8%) на содержание свободных аминокислот у дурмана индейского (оценка по шефферовской системе)**

Состав аминокислот	Листья				Семена			
	Бутонизация		Цветение		Плодоношение		Цветение	
	незас.	зас.	незас.	зас.	незас.	зас.	незас.	зас.
Цистин	1	0	2	0	2	1	1	3
Лизин	3	1	2	1	4	3	5	5
Гистидин	3	4	0	5	3	0	2	3
Аргинин	3	4	4	4	3	3	3	0
Аспарагин	3	5	4	5	4	3	2	2
Глютамин	3	3	5	4	4	3	—	—
Аспарагиновая к-та	2	4	2	4	5	3	0	0
Серин+глицин	0	4	1	4	1	3	1	1
Глютаминовая к-та	3	4	1	4	2	1	1	1
Треонин	0	3	0	5	2	1	0	0
Аланин	0	1	1	3	1	1	0	0
Метионин+валин	0	1	0	1	0	1	0	0
Лейцин	0	1	2	2	0	0	0	0

Подобный ход изменения аминокислот, т. е. увеличение общего их количества, хорошо согласуется с данными ряда авторов. Однако в изменении количества отдельных аминокислот, как, например, цистина, лизина, глютамина и др., наблюдалось значительное отличие от данных Тер-Карапетяна, Акопяна, 1957; Соловьева, 1960; Строгонова, 1962; Клышева с соавт., 1964; Приходько, 1966, в свою очередь являющихся разноречивыми. Это, по всей вероятности, объясняется различием в качестве засоления, его концентрации, а также типа обмена веществ (видовой принадлежности) опытных растений.

Что касается изменения генетически связанных с тропановыми алкалоидами аминокислот (Березнеговская, Кускова, 1965) дурмана, то следует отметить, что в одном случае происходило накопление глютаминовой кислоты—наиболее вероятного предшественника алкалоидов (она через свой полуальдегид может образовывать орнитин и далее пирролидиновое кольцо алкалоида) и аргинина, в другом—уменьшение содержания, например, лизина (орнитин не был определен, так как он в растении не обнаруживается [2]).

Можно определить, что нарастание алкалоидов в листьях дурмана при засолении идет за счет указанных аминокислот, в частности лизина, убывающего у опытных растений. Одним из условий образования алкалоидов является РН-среды, в наших опытах равный 5–5,5, при котором могут осуществляться соответствующие переходы аргинина в путресцин, а через них и образование тропановых алкалоидов. При засолении мы склонны считать усиление концентрации алкалоидов и большинства аминокислот в листьях следствием нарушения белкового обмена и недоупотребления азотистых веществ на развитие листьев и плодов дурмана. Усиление притока в листья аминокислот и алкалоидов из других органов (корней, стеблей) в наших опытах мало вероятно, потому что вследствие увеличения концентрации клеточного сока транспортировка веществ резко ухудшается.

Можно было ожидать что засоленные растения должны содержать больше глютамина, чем контрольные, ибо большая часть избытка аммиака при засолении, обезвреживаясь соответствующими акцепторами: кетокислотами, дикарбоновыми аминокислотами и пр.—может превращаться и в глютамин. Однако подобное явление нами не наблюдалось, более того, происходило некоторое снижение глютамина. Несмотря на это при засолении у дурмана можно заметить преобладание веществ, образующихся в результате защитной реакции (аспарагин, аланин, возможно аргинин) над продуктами токсического действия (лейцин, фенилаланин и пр.). Возможно, что это является одним из факторов, приводящих к солевыносливости дурмана, что и было видно по более или менее нормальному развитию опытных растений.

В связи с тем, что плоды дурмана индейского являются основным сырьем при получении скополамина, мы проследим за изменением свободных аминокислот и главных алкалоидов в ходе созревания плодов при засолении.

В семенах вышеуказанным методом было обнаружено 10 аминокислот: цистин, лизин, гистидин, аргинин, аспарагин, глютамин, аспарагиновая и глютаминовая кислоты, серин и глицин. Под влиянием хлоридно-сульфатного засоления количество указанных аминокислот менялось по-разному. Так, у незрелых семян наблюдалось либо увеличение количества отдельных аминокислот (цистина, гистидина, аспарагина, глютаминовой кислоты), либо постоянство их содержания (лизина, аргинина, серина, глицина).

В зрелых же семенах, подвергнутых действию солей, по сравнению с незасоленными растениями, наоборот, количество большинства аминокислот (цистина, лизина, гистидина, аргинина, серина, глицина), как и алкалоидов, уменьшалось. Глютамин в условиях почвенного засоления в семенах не обнаруживался. В контрольных растениях содержание большинства аминокислот в зависимости от спелости семян не менялось, происходило лишь некоторое нарастание в количестве цистина и глютамина.

Таким образом, в плодах дурмана наблюдался параллелизм в повышении и снижении содержания свободных аминокислот и алкалоидов в условиях засоления, тогда как в растениях пресного фона снижение алкалоидов не сопровождалось уменьшением аминокислот.

В условиях хлоридно-сульфатного засоления почвы (0,8%—средняя концентрация) в листьях дурмана индейского обмен свободных аминокислот и амидов изменялся в определенном направлении. В начале внесения солей фазы цветения и незрелых плодов, т. е. в период подавления синтеза белка в листьях, происходило нарастание количества большинства аминокислот из 15 обнаруженных: гистидина, аргинина, аспарагина, аспарагиновой кислоты, серина, глицина, глютаминовой кислоты, треонина, аланина. По мере созревания плодов в основном происходило обратное явление, что было связано с некоторой активизацией синтеза белков и алкалоидов. Однако содержание цистина, лизина и глютамина при засолении во всех фазах развития уменьшалось.

В начальный период засоления наблюдалось накопление алкалоидогенных кислот аргинина, глютаминовой кислоты. Возможно, что некоторое увеличение алкалоидоносности листьев происходит за счет указанных кислот и лизина.

Наличие слабокислой среды ( $\text{РН}=5-5,5$ ), видимо, также может способствовать соответствующим переходам от аргинина в орнитин и путресцин, а через них и образование тропановых алкалоидов.

## ЛИТЕРАТУРА

- Березниковская Л. Н., Кускова З. Р. О динамике аминокислот и алкалоидов в белладонне по мере ее развития. Научные доклады высшей школы. Биол. науки, № 2, 1965.
- Благовещенский А. В. Биохимия обмена азотсодержащих веществ у растений. Изд-во АН СССР. М., 1958.
- Исмаилов Н. М., Мамедова Ш. А. и Асланов С. М. Обмен алкалоидов и других азотистых веществ у дурмана индийского при засолении. Изв. АН Азерб. ССР. серия биол. наук, № 6, 1967.
- Клышев Л. К., Приходько Л. С., Строгонов Б. П., Шевякова Н. И. Азотистый обмен и образование алкалоидов в проростках гороха при солевом отравлении. I Всес. биох. съезд. Тез. докл., вып. III, М.-Л., 1964.
- Приходько Л. С. Особенности изменения обмена веществ у растений в условиях засоления. Автореф. канд. дисс. Алма-Ата, 1966.
- Соловьев В. А. Влияние ионов  $SO_4^{2-}$  и  $Cl^-$  на азотистый обмен галофитов и гликофитов. Физ. устойчивости растений. Тр. конф., 3—7 марта 1959.
- Строгонов Б. П. Физиологические основы солеустойчивости растений. Изд. АН СССР. М., 1952.
- Тер-Каррапетян М. А., Акопян Б. А. Изменение аминокислотного состава листьев гебелии в условиях засоления почв. ДАН Арм. ССР, т. 25, № 3, 1957.

Институт ботаники

Поступило 18. VII 1968

Н. М. Исмаилов, Ш. А. Маммадова

Һиндуда дәлибәнк биткисинде сәрбәст амин туршулары  
мүбадиләсінә хлорид сульфат дузлуғунан тә'сирі

## ХҮЛАСӘ

Мәгәләдә гијметли дәрман биткиси һиндуда дәлибәнккіндә алкалоидләриң әмәлә қәлмеси илә әлагәдар олан амин туршуларының дузлуулуг шәрәйтіндә дәјишилмәсіндән бәйс едилмишdir.

Тәрүбәләр көстәрмишdir ки, О, 8%-ли орта гатылығда хлорид сульфат дузлары олан торпагда бечәрилмиш биткінің ярпагларында илк фазаларда дуз тә'сиріндән эксәр амин туршуларының мигдары чохалыштыр. Тохумларың јетишмеш дөврүндә исә әкс һал мұшаһидә едилмишdir.

Амин туршуларының дәјишилмәсі зұлалларын синтезинин дәјишилмәси илә әкс истиғамәтдә кедир.

Дуз верилмиш биткіләрниң ярпагларында алкалоидләр чохалыры. Күман едилір ки, бу, алкалоидокен туршуларының (глутамин туршуру, аркинин, лизин вә с.) несабына олур.

## АЗЭРБАЙЧАН ССР ЕЛМЛӘР АКАДЕМИЈАСЫНЫН МӘРҮЗӘЛӘРИ ДОКЛАДЫ АКАДЕМИИ НАУК АЗЕРБАЙДЖАНСКОЙ ССР

ЧИЛД XXVI

№ 3

1970

## БОТАНИКА

В. С. НОВРУЗОВ

## ГУБА-ГУСАР РАЙОНЛАРЫНДА ЕПИФИТ ШИБЈӘЛӘРИН ВЕРТИКАЛ ЈАҦЫЛМАСЫ

(Азәрбајҹан ССР ЕА академики В. Тұтајұг тәгдим етмисидir)

Азәрбајҹан ССР-ин Губа—Гусар зонасы битки өртүйүнүн мұхтәлифлији илә фәргләнир. Битки өртүйүндәкі бу мұхтәлифлик мүреккәб тәбии амилләр мәчмусуның тә'сирини экс етдирир.

Л. И. Прилипкоја көрә [3], Бөյүк вә Кичик Гафгазын јамачларында биткіләрниң гуршаглар үзәре јаҦылмасы үмуми ганунаујғунлуг гајдастында кедир. Бу ганунаујғунлуг Губа—Гусар районларының битки өртүйүнүн јаҦылмасында да мұшаһидә олунур. Губа—Гусар районларының битки өртүйүнүн јаҦылмасына көрә ашағы (600—900 м), орта (900—1700 м) вә жуҳары дағлығ (1700—2300 м) гуршагларына айырмаг мүмкүндүр. Лиҳенология тәдгигатлар көстәрмишdir ки, битки өртүйүнүн башга группалары кими, шибјәләр дә гуршаглардан вә еләчә дә битки өртүйүндән асылы олараг дәјишир. Ашағыда Губа—Гусар районларының битки өртүйүнүн гуршаглар үзәре јаҦылма схеми верилмишdir (шибјәләр ән чох јаҦылан мешә ағач чинслері вә формасијалар үзәре көстәрилмишdir).

Дәнис сәвиј- јәснидән бүндүрлүү	Гуршаглар	Әсас формасијалар	Иглим	Торпаг
600—900 м	ашагы гуршаг	палыд, вәләс-фысадыг, көјрүш-вәләс-фысадыг	мұлајим исти, орта рүтубәтли	дағ-мешә гәли- вәји
900—1700 м	ортадаглығ гу- ршаг	фысадыг, вәләс-фысадыг палыд	мұлајим сојуг, орта рүтубәтли	ғонур дағ-мешә
1700—2300 м	жуҳары дағлығ гуршаг	палыд-фысадыг-вәләс, тозагачы	мұлајим сојуг, рүтубәтли	ачыг-ғонур дағ- вә чәмән дағ- мешә

Мә'лumatdan көрүнүр ки, ашағы гуршаг мешәләри үчүн Иберија палыды (*Quercus iberica*), палыд вә вәләс-фысадыг-көјрүш формасијасы характеристикдир.

Палыд габығындағы јарыглар рүтубәти, үзви вә гејри-үзви бирләшмәләри, бир соҳи шибәе иөнләриниң күләк атмагдан горујуб сахлајыр. Ашағы гуршагда палыд габығында *Pyrenulaceae*—3, *Galiciaceae*—3, *Parmeliaceae*—7, *Arthoniaceae*—2, *Graphidaceae*—4, *Gyalectaceae*—1, *Pertusariaceae*—2, *Lecideaceae*, 5, *Lecanoraceae*—5, фәсиләләринә дахил олан 41 иөв јајылмышдыр. Палыд габығының иөв тәркиби палыд-фыстығ ағачларындан чохдур.

Орта гуршагда мешәләр үчүн Шәрг фыстығы (*Fagus orientalis*), вәләс-фыстығ-палыд формасијасы характерикдир. Фыстығ шибәләриниң јајылмасы үчүн әлверишли субстраттың фыстығын наһамар габығы шибәләри күләк атмагдан горујур, һүндүрәгалхан будаглары мүәјжән шибәләр үчүн кифајэт гәдәр ишыг алмаға көмәк едир. Үзәри әкәрән мамырларда өртүлү олан көк чыхынтылары рүтубәтсөвән шибәләриниң инишафына әлверишли шәраит јарадыр. Бүтүн бунлар фыстығ ағачында шибәләрин күтләви мәскән салмасына сәбәб олур. Тәдгиг едилән фыстығда бунларын сајы 51-ә чатыр [1, 2].

Јухары дағлыг гуршағы үчүн тозағачы, палыд-фыстығ-вәләс формасијасы характерикдир. Бабадағ әтәйиндә тозағачының чох мараглы флористик тәркиби вардыр. Тозағачы көвдәсінин ашағы һиссәсіндә *Parmelia physodes*, *P. sulcata*, *Cladonia fimbriata*, *Leptoraphis epidermidis*; јухары һиссәсіндә *Parmelia olivacea*, *P. aspidota*, *P. exasperata*, *P. exasperatula*, *Lecanora collocarpa* *Opegrapha pulicaris*, *radiata* иөвләри мүшәнидә олунур. Палыд-фыстығ-вәләс формасијасында да иөв тәркиби бу чүрдүр.

Губа—Гусар рајонлары әразисинде апарылан лихенологи тәдгигаттар көстәрмишdir ки, шибәләрин бу әразидә јајылмасы субстратын характериндән, јајылма шәраитиндән, ишыгланма дәрәчәсіндән вә дәниз сәвијјәсінин һүндүрлүүндән асылыдыр. Она көрә дә бу әразидә јерләшән шибәләри 3 група аյырмаг олар:

- 1) Губа—Гусар рајонларында бүтүн гуршагларда јајылан шибәе иөвләри;
- 2) Саһәчә еңсиз гуршагларда јајылан шибәе иөвләри;
- 3) Јалныз јухары гуршагда јајылан шибәләр.

1-чи група ашағы дағлыг гуршағындан јухары гуршаға гәдәр јајылан шибәләр: *Acrocordia alba*, *Arthopyrenia cerasi*, *Pyrenula nitida*, *Coniocybe furfuracea*, *Arthonia dispersa*, *A. radiata*, *Graphis scripta*, *Opegrapha lichenoides*, *Peltigera canina*, *Lecidea glomerulosa*, *Cladotabulum*, *P. caperata*, *P. exasperata*, *P. scortea*, *P. olivacea*, *Physcia pulviferulenta*, *Ph. stellaris*, *Ph. aipolia*, *Lecania dimera*, *Buellia disciformis*, *Caloplaca cerina*, *Candelaria concolor*, *Candelariella aurella* иөвләри дахилдир.

2-чи група саһәчә еңсиз гуршаға дахил олан әсас мешә иөвләри: ашағы гуршагда *Microthelia atomaria*, *Arthopyrenia personii*, *Arthotheca*, *Biatora himosa*, *Caloplaca pollinii*, *C. lobulata*, *Pertusaria arborea*, *Catillaria globulifera*, *Anaptychia leucomelaena*, орта гуршагда *Crocunina membranacea*, *Gyalecta truncigena*, *Collema tenax*, *Lecanora nemoralis*, *Lecidea nemoralis*, *Evernia prunastri* var. *retusa*, *Ramalina asahiana*, *R. sinensis*, *Physcia grisea* f. *alphinonhora*, *Anaptychia epidermidis*, *Cyphelium viridescens*, *Calicium subtile*, *Ramulina fastigata* јајылмышдыр.

3-чү група 2000 м-дән йүксәкдә јајылан *Anaptychia intricata*, *Caloplaca cerinella*, *Physcia birjana* иөвләри дахилдир. 2 вә 3-чү

группа дахил олан иөвләр битдиши гуршағын мұхтәлиф сәчијјәви өзгәрағи әразиләрindә јајылмышдыр. Лакин мөвчуд олдуғу гуршағын һүндүрлүүндән кәнара чыха билмир.

#### ӘДӘБИЙЛАТ

1. Бархалов Ш. О. Гусар рајону шибәләри. Тр. Ии-та бот. АН Азерб. ССР, т. XXII, Баку, 1960.
2. Бархалов Ш. О. Распространение лишайников в Кусарском районе. ДАН Азерб. ССР, т. XVI, №3, Баку, 1960.
3. Прилипко Л. И. Лесная растительность Азербайджана, Баку, 1954.
4. Томин М. П. Определитель короговых лишайников Европейской части СССР. Изд-во АН Белорусской ССР. Минск, 1956.
5. Окснер А. Н. Визначник лишайників УССР. Київ, 1937.
6. Zahlbruckner. Catalogus Lichenum universalis, I—X, Leipzig, 1922—1940.

Ботаника институту

Алынмышдыр I. 17 1969.

В. С. Новрузов

#### О вертикальном распространении эпифитных лишайников в условиях Куба-Кусарского района

#### РЕЗЮМЕ

Распределение лихенофлоры в пределах Куба-Кусарского района обусловливается территориальной неоднородностью, которая прежде всего является результатом природного разнообразия района, получившего свое выражение в вертикальной зональности.

На основании изучения вертикального распространения лишайников в пределах Куба-Кусарского района в составе лихенофлоры автор выделил 3 группы лишайников: 1) с узко поясной приуроченностью; 2) сплошного распространения, встречающиеся от низменности до высокогорий; 3) характерные для высокогорий.

РАСТЕНИЕВОДСТВО

УДК 581.13

З. С. АЗИЗБЕКОВА, Г. А. РЗАЕВ, Э. М. МАМЕДОВА-ЗЕЙНАЛОВА

СОДЕРЖАНИЕ СВОБОДНЫХ АМИНОКИСЛОТ В ЛИСТЬЯХ  
ХЛОПЧАТНИКА В УСЛОВИЯХ РАЗНОКАЧЕСТВЕННОГО  
ЗАСОЛЕНИЯ

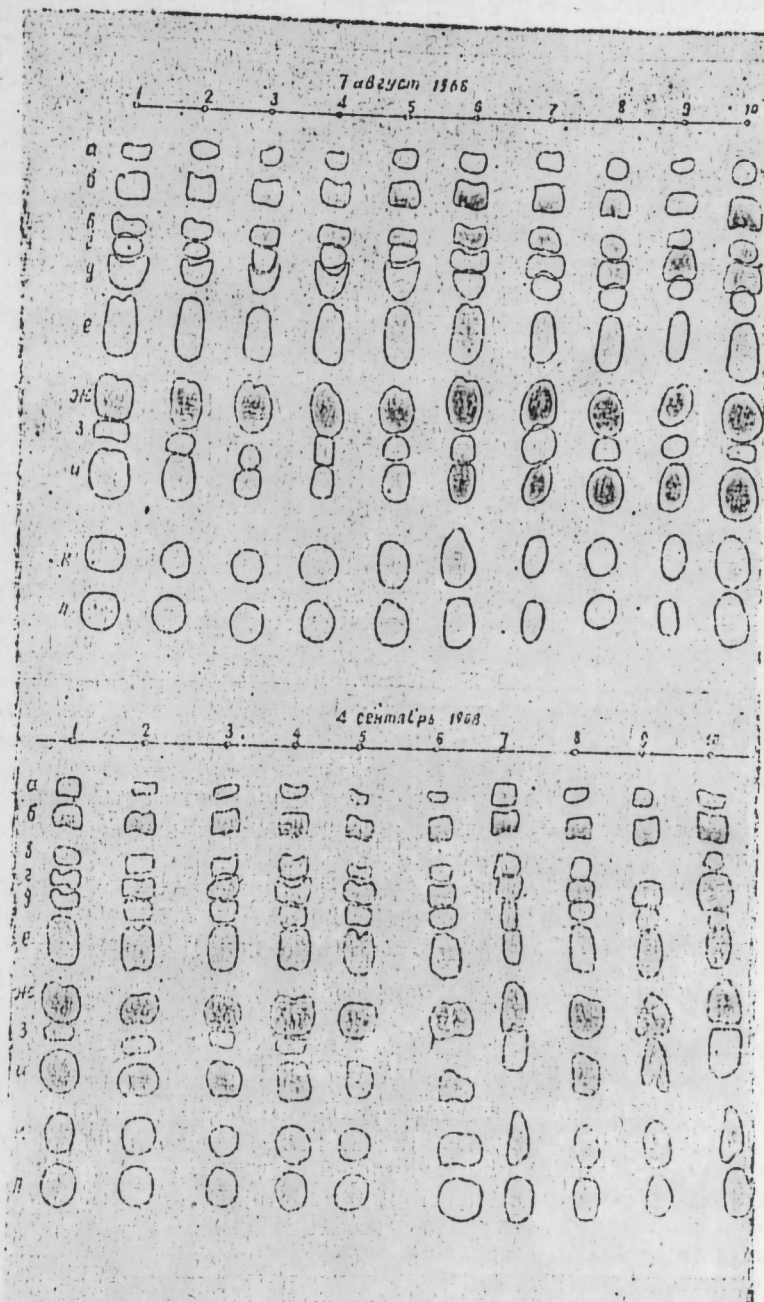
(Представлено академиком АН Азербайджанской ССР М. Г. Абуталыбовым)

Повреждение растений высокими концентрациями различных солей связано с образованием и накоплением в них токсических азотистых соединений. Рядом работ (Строгонов и Остапенко, 1946; Стругонов—1949; Стругонов, Иваницкая и Чернядева, 1956; Тер-Каррапетян и Акопян, 1957; 1960; Соловьев, 1959, 1960) убедительно показано, что под влиянием высоких концентраций солей у растений происходит интенсивное накопление свободных аминокислот. В литературе имеются противоречивые суждения о характере влияния разнокачественного засоления почвы на образование этих аминокислот. О накоплении свободных аминокислот на карбонатном почвенном засолении не имеется литературных данных вообще.

В свете всего сказанного нам кажется интересным изучить влияние разнокачественного засоления на накопление и состав свободных аминокислот.

Опыты проводились в условиях вегетационного домика Института ботаники АН Азербайджанской ССР. Методом хроматографии (Андреева и Осипова, 1962) на бумаге определялись свободные аминокислоты в листьях хлопчатника (сорта 108-Ф), выращенных в почвенной культуре с различным количеством  $\text{Cl}^-$ ,  $\text{SO}_4^{2-}$  и  $\text{CO}_3^{2-}$ . Полученные хроматограммы представлены в виде фотоснимков. Как видно из фотоснимков, в качественном составе аминокислот между контролем и опытными вариантами существенной разницы не наблюдается, тогда как содержания отдельных аминокислот претерпевают резкие изменения. Полученные хроматограммы показывают, что в фазе цветения (7 августа) у растений, произрастающих на засоленной почве с преобладанием сернокислых солей, происходит повышение лизина + гистидина, аргинина + аспарагина, глутаминовой кислоты и особенно аланина. Повышение содержания свободных аминокислот в листьях растений в условиях сульфатного засоления является не результатом усиления синтеза, а ухудшения их расходования на синтез белков. В условиях хлоридного засоления картина несколько меняется. Хлор заметно увеличи-

вал содержание свободных аминокислот. Отмеченное в условиях хлоридного засоления накопление лизина, пролина, аланина и других аминокислот происходит в результате резкого нарушения белкового обмена.



Ньютон (Newton, 1956), Ратнер с сотрудниками (1956) и ряд других авторов показали токсическое действие некоторых аминокислот (тироцина, фенилаланина, аланина, лейцина) на растения. Это позволяет думать, что при резком повышении хлоридного засоления содержание таких аминокислот, как лизин, аланин, пролин и других, должно быть неблагоприятным для растений. В этих условиях резко повышается содер-

жение лизина + гистидина, аргинина + аспарагина, глютаминовой кислоты + треонина; аланина и валина + метионина. Повышению свободных аминокислот в листьях хлопчатника способствует и карбонатное засоление почвы. Повышенное содержание глютамина в варианте карбонатного засоления свидетельствует о том, что синтез белка не прекращается. Это говорит о смещении соотношения синтез—гидролиз в сторону гидролиза. Интересно отметить, что не во всех типах засоления повышается содержание аминокислот. Из литературных источников известно, что в условиях засоления в организме растений накапливается в большом количестве аммиак, акцепторами которых являются амиды—аспарагин и глютамин. В наших исследованиях не всегда наблюдается повышение этих амидов. В последние годы большое значение придается аланину, как акцептору, связывающему аммиак (Петинов и Молотковский, 1960; Кретович, 1961; Тарчевский, 1964; Савицкая, 1965).

Возможно, что и в наших исследованиях нейтрализация токсического действия аммиака обеспечивается аланином, содержание которого резко повышается, особенно в условиях хлоридного засоления. В фазе плодоношения (4 сентября) общее содержание свободных аминокислот в контрольном варианте по сравнению с предыдущей фазой значительно повышается. Повышение аминокислот наблюдается и в условиях сульфатного засоления, причем закономерность была такая же, как и в фазе начала цветения, т. е. чем выше концентрация солей, тем больше накапливаются свободные аминокислоты в листьях хлопчатника. Увеличение содержания свободных аминокислот в фазе плодоношения, по-видимому, является результатом усиления гидролитических и ослабления синтетических процессов, распада высокомолекулярных соединений, в частности белковых веществ. В отличие от сульфатного засоления, хлоридное и карбонатное засоление, наоборот, резко снижает содержание некоторых свободных аминокислот в этой фазе развития растения.

Даже у слабо- и среднезасоленных вариантов наблюдается исчезновение пролина, а в сильнозасоленных вариантах—валина и метионина. Все эти данные свидетельствуют о том, что в условиях разнокачественного засоления нарушается азотистый обмен у хлопчатника, ухудшается расходование свободных аминокислот на синтез белковых веществ, усиливаются гидролитические процессы.

#### Выводы

1. Накопление лизина, пролина, аланина и других аминокислот в условиях засоления указывает на более глубокие нарушения в азотном обмене растений.
2. В фазе цветения во всех типах засоления повышается содержание в основном одних и тех аминокислот.
3. Увеличение содержания свободных аминокислот у растений при сульфатном засолении в фазе плодоношения является результатом усиления гидролитических процессов, распада высокомолекулярных соединений, в частности белковых веществ.
4. Хлоридное и карбонатное засоление оказывают более отрицательное влияние, чем сульфатное засоление.

#### ЛИТЕРАТУРА

1. Андреева Т. Ф. и Осипова О. П. Методика количественной бумажной хроматографии сахаров, органических кислот и аминокислот у растений. Изд-во АН СССР, 1962.
2. Кретович В. Л. 16-е Баховское чтение. Изд-во АН ССР. 1961

3. Петинов Н. С., Молотковский Ю. Г. Физиология растений. №7, вып. 3, 1960.
4. Ратнер Е. М., Колесов И. И., Ухина С. Ф., Доброхотова И. Н. докл. по физиологии устойчивости растений (морозоустойчивость, засухоустойчивость). Изд-во АН СССР, 1959.
5. Соловьев В. А. Тезисы конференции 1959 г. Изд-во АН СССР, 1960.
6. Соловьев В. А. Физиология устойчивости растений (морозоустойчивость, засухоустойчивость и солеустойчивость). Труды конференции 1959 г. Изд-во АН СССР, 1960.
7. Строгонов Б. П. Физиология устойчивости хлопчатника. Изд-во АН СССР, 1949.
8. Строгонов Б. П., Остапенко Л. А. ДАН СССР\*, т. 54, № 4, 1958.
9. Строгонов Б. П., Иванецкая Е. Ф., Чернядева И. П. Физиология растений, т. 3, вып. 4, 1956.
10. Савицкая Н. Н. Физиология растений, т. 12, вып. 2, 1965.
11. Тарчевский И. А. Фотосинтез Арм. ССР\*, т. 25, № 3, 1957.
12. Тер-Каррапетян М. А. и Акопян Б. А. ДАН СССР\*, т. 25, № 3, 1957.
13. Тер-Каррапетян М. А. и Акопян Б. А. Физиология устойчивости растений (морозоустойчивость, засухостойчивость, солеустойчивость). Труды конференции 1959 г. Изд-во АН СССР, 1960.
14. Newton W. Canad. Phytopathol. Soc. Proc. 24, 1956.

Институт ботаники

Поступило 20. I 1969

З. С. Эзибәјова, Г. А. Рајев, Е. М. Зеинарова

Мұхтәлиф қејфијәтли дузларын памбыг биткиси  
Јарпағында сәрбәст амин туршулары  
топланмасына тә'сири

#### ХУЛАСӘ

Мұхтәлиф қејфијәтли (хлорид, сульфат вә карбонат) дузлулугда бечәрилән памбыг биткиси јарпагларында сәрбәст амин туршуларының топланмасы өјрәнилмешdir,

Тәрүбәнин нәтижәси көстәрмишdir ки, мұхтәлиф дузлулугда бечәрилән биткиләрдә топланан сәрбәст амин туршулары қејфијәтчә фәргләнмишсә дә, мигдарча дузун қејфијәтніндән асылы оларaq кәскин сурәтдә фәргләнір. Дуз тә'сириндән лизин, пролин, аланин кими амин туршулары чох топланып ки, бу да биткидә азот мұбадиләсінин дә-jiшмәсі илә әлагәдарды.

Сәрбәст амин туршуларының мигдарча дәжишмәсінә карбонат вә хлорид дузлары, сульфат дузларына нисбәтән даға кәскин тә'сир едір.

БОТАНИКА

Т. М. АХУНДОВ, Л. И. ПРИЛИПКО

НОВОЕ МЕСТОНАХОЖДЕНИЕ СИНГОЛОВНИКА  
ВАНАТУРА *ERYNGIUM WANATURI WORONOW*  
В ЮЖНОМ ЗАКАВКАЗЬЕ И ЕГО КОНСОРТИВНЫЕ  
МИКОЛОГИЧЕСКИЕ СВЯЗИ

(Представлено академиком АН Азербайджанской ССР А. И. Каравым)

*Eryngium wanaturi* Wоронов—интереснейший представитель монотипной секции *Haplophylla*, характеризующийся цельными линейными листьями, в пределах СССР редко встречающийся в Южном Закавказье, в Армянской ССР, а за пределами нашей страны—в Турецкой Армении и Курдистане (см. рис. 1, 2). Географический тип—армянско-горный (Гроссгейм, 1967).

В Армянской ССР синеголовник Ванатура приурочен к каменистым травянистым склонам верхнего горного пояса. Известны местонахождения его в Даралагезе, Карны, Ярых.

5. VII 1967 г. Т. Ахундовым было установлено новое местонахождение этого вида в соседней с Арменией Нахичеванской АССР, в Шахбузском районе, на северо-восточном склоне горы Кюкюдаг, на высоте 2500 м над ур. моря.

Для флоры Азербайджана этот вид ранее не приводился, и таким образом находка Т. Ахундова представляет собой новинку для флоры Азербайджана\*. До сего времени это растение, очевидно, оставалось незамеченным; возможны и другие местонахождения синеголовника Ванатура в Нахичеванской АССР.

В последнее время при изучении биоценозов все большее внимание уделяется изучению консорций, как совокупности организмов, более или менее тесно связанных трофически и топологически с каким-либо организмом „хозяином“ (Е. М. Лавренко и Н. В. Дылис, 1968). В этом аспекте большой научный интерес и практическое значение имеет изучение консортивных связей высших автотрофных растений с паразитными и сапрофитными грибами.

Исследованиями Т. Ахундова на *Eryngium wanaturi*, собранного в Нахичеванской АССР, обнаружено 3 вида гриба, из которых один вид *Septoria eryngii* Pass., относящийся к пикнидиальным грибам

\* Определение гербария произведено Л. И. Прилипко.



Рис. 1. *Eryngium wanaturi* Wорон. из Нахичеванской АССР (г. Кюкюдаг).

паразитирует на синеголовнике, вызывая пятнистость листьев и преждевременное их усыхание и скручивание. В СССР этот вид гриба был впервые отмечен Марландом на *Eryngium maritimum* L. в Эстонской ССР (1948). В Нахичеванской АССР—второе местонахождение гриба.

По данным Т. Ахундова, споры *Septoria eryngii* Нахичеванской АССР имеют размеры  $27-36,8 \times 12-1,8 \mu$ , а по данным Саккардо, они равны  $20-25 \times 1-1,5 \mu$ , по Марланду,  $25-50 \times 1,5-2,5 \mu$ . Таким образом, для Кавказа указанный вид гриба приводится впервые. Кроме СССР, он известен и в Италии.

Другие два вида гриба—*Pleospora vulgaris* Niessl. и *Mycosphaerella eryngii* (Wallr. ex Fr.) Lindau относятся к сумчатым грибам и являются сапрофитами; они развиваются обычно на отмерших листьях и стеблях.

Рис. 2. *Eryngium wanaturi* Wogonow:  
1—ранее известные местонахождения в Армянской ССР; 2—новое местонахождение в Нахичеванской АССР.

Первый из них—сборный вид, отмечавшийся на отмерших органах многих видов цветковых растений, а второй—встречается только на видах *Eryngium*. *Mycosphaerella eryngii* имеет европейский географический тип ареала; для Кавказа он приводится впервые. Размеры спор: по Т. Ахундову,  $16,8-25 \times 2,1-3 \mu$ ; по Саккардо,  $19-21 \times 2,5 \mu$ .

Таким образом, новое местонахождение *Eryngium wanaturi* в Южном Закавказье способствовало обнаружению на растении этого вида одного облигатного паразитного гриба (приводится впервые для Кавказа) и двух сапрофитных грибов (один из них найден на Кавказе впервые).

Дальнейшие исследования *Eryngium wanaturi* позволяют расширить представление о консортивных связях этого растения „хозяина“.

#### ЛИТЕРАТУРА

- Бобрик Е. Г. Род *Eryngium*. Флора СССР, XVI, 73 М.—Л., 1950.
- Гроссгейм А. А. Флора Кавказа, VII: 22 Л., 1967.
- Лавренко Е. М. и Дылин Н. В. Успехи и очередные задачи в изучении биогеоценозов суши в СССР. „Ботанич. ж.“, 53, 2: 155, Л., 1968.
- Марланд А. Г. Критический обзор рода *Septoria* применительно к флоре Эстонии, 1948.
- Саккардо Р. А. Syllago Fungorum. I, p. 551, 1881.
- Саккардо Р. А. Syllago Fungorum, II, p. 242 1883.
- Саккардо Р. А. Syllago Fungorum, IX, p. 624, 1891.
- Winter. Cryptogamen Flora, Bd. I, Abt. 2, p. 502, 1817.

Институт ботаники

Поступило 24. IV 1969

Т. М. Ахундов, Л. И. Прилипко

Чәнуби Загафғазијада занатура зымбыртиканының  
(*Eryngium wanaturi* Wogonow) тапылдыры  
Жени Јер вә онуң көбәләкләрлә әлагәси

#### ХҮЛАСӘ

*Eryngium wanaturi* Wogonow биткиси әvvәлләр јалның Чәнуби Загафғазијада вә Ермәнистан әразисиндән мә’лум иди. Мәгаләдә һәмни биткинин Нах. МССР әразисиндән Азәрбайҹан флорасы учун биринчи дәфә олораг тапылмасы һаггында мә’лumat верилмишdir.

Мәгаләдә занатура зымбыртиканының көбәләкләрлә әлагәси тәсвир едилмиш, бу биткидә бир паразит—*Septoria eryngii* Pass. вә икى сапрофит көбәләк—*Pleospora vulgaris* Niessl, *Mycosphaerella eryngii* (Wallr ex Fr.) Lindau тапылмышдыр. Бүнлардан икиси Гафгазда биринчи дәфәдир ки, гејд олуңур.



В. В. МИШИНКИНА, В. Л. КОРОБОВ

## ЭКОНОМИЧЕСКАЯ ЭФФЕКТИВНОСТЬ ОТДЕЛЬНЫХ АГРОТЕХНИЧЕСКИХ ПРИЕМОВ БОРЬБЫ С ЭРОЗИЕЙ ПОЧВ

(Представлено академиком АН Азербайджанской ССР Д. М. Гусейновым)

В горных районах Азербайджанской ССР сельскохозяйственные угодья—пашни, выгоны, пастбища в основном расположены на склонах различной крутизны и экспозиции, что при неправильном применении агротехники обуславливает сильное проявление эрозионных процессов. Поэтому здесь особенно необходимы рациональные методы использования земли.

В связи с этим в районе развития эрозии забота о сохранении почвы должна входить в план организационно-хозяйственных мероприятий колхозов и совхозов. Сектором эрозии в течение ряда лет в некоторых районах Малого Кавказа проводилось испытание отдельных агротехнических приемов, направленных на задержание атмосферных осадков на месте их выпадения, на уменьшение стока и смыва почвы со склонов и на повышение урожайности сельскохозяйственных культур.

Многие из этих приемов рекомендованы в производство горных районов.

Однако внедрение их в настоящее время испытывает некоторые затруднения, что, на наш взгляд, обусловлено в известной мере отсутствием экономической оценки рекомендуемых приемов.

Поэтому для более обоснованного и правильного подхода к выбору их нами была предпринята попытка установления экономической эффективности отдельных противоэрозионных агротехнических приемов, что и составляет содержание настоящей статьи.

Вопрос экономической оценки противоэрозионных приемов, особенно для горных районов, до настоящего времени очень слабо разработан.

Рядом авторов (О. А. Скрябина, 1964, И. И. Белозер, 1965) произведен подсчет экономической эффективности противоэрозионной обработки зяби. Более подробно изучен вопрос экономической эффективности применения минеральных удобрений (Л. К. Лачинов, 1964 и др.). Однако единой методики оценки противоэрозионных приемов до сих пор еще не существует.

Нами при установлении экономической эффективности были учтены все затраты (руб/га), связанные с проведением противоэрозионных агротехнических приемов, с внесением минеральных удобрений, а также

подсчитана стоимость (руб) дополнительной продукции, полученной в результате их применения. Последняя определялась по государственным закупочным ценам для Азербайджанской ССР.

Расчеты стоимости противоэрозионной обработки, а также по внесению удобрений на склоновых участках и примерная эффективность их даются в таблице.

Экономическая эффективность применения отдельных противоэрозионных агротехнических приемов

Приемы	Затраты, руб/га		Прибавка урожая ц/га	Стоимость прибавки, руб	Чистый доход, руб/га
	на проведение приема и приобретение удобрений	на уборку и транспортировку дополнительного урожая			
Рыхление по вспаханному полю на глубину до 35 см ДТ-54, ПБ4-5	2,06	6,90	13,8 початков кукурузы	57,66	50,75
Вспашка на глубину 20–22 см с бороздованием ДТ-54, П4-35	—	7,63	14,6 початков кукурузы	60,5	52,87
Внесение N <sub>30</sub> P <sub>30</sub> под озимую пшеницу под кукурузу	8,60	0,50	2,1 зерна	40,80	31,70
	8,60	9,40	18,8 початков кукурузы	77,58	59,50

Теперь рассмотрим экономическую эффективность отдельных агротехнических приемов борьбы с эрозией почв.

Полосное глубокое рыхление—это чередование поперек склона полос обычной вспашки с полосами, взрыхленными на глубину до 35 см, которые располагались на расстоянии 15 м одна от другой.

Полосное рыхление проводится присечными или навесными плугами со снятыми отвалами или специальными плугами-рыхлителями по вспаханной зяби за 15–20 дней до посева.

Стоимость 1 га безотвального рыхления составляет 2 р. 06 коп.

Уборка початков кукурузы проводилась вручную. Затраты на уборку и транспортировку дополнительного урожая составляют 6 р. 90 коп.

В наших опытах при испытании этого приема под кукурузу прибавка урожая початков составила 13,8 ц/га, а в переводе на зерно—10,3 ц/га.

Стоимость 1 ц зерна кукурузы равна 5,5 руб., а стоимость всей прибавки составила 57,65 руб. Таким образом, чистый доход от проведения глубокого рыхления за вычетом всех дополнительных затрат равен 50 р. 75 коп.

Бороздование зяби—также весьма перспективный прием борьбы со смытой почвой. Проводится оно одновременно со вспашкой и не требует дополнительных затрат, так как удельное сопротивление, расход горючего и нормы выработки при этом не изменяются.

Используется для этих целей 4-корпусный тракторный плуг, с которого снимается третий отвал, а второй, обычный, заменяется удлиненным или же удлиняется металлической пластинкой толщиной 5–7 мм, длиной 30 см.

При испытании этого приема под культуру кукурузы прибавка урожая початков составляла 14,6 ц/га, а в переводе на зерно—11,0 ц/га, стоимость которого равна 60,5 руб.

Затраты, связанные с уборкой и транспортировкой дополнительного урожая составили 7 р. 63 коп. Чистый доход за вычетом этих затрат был равен 52 р. 87 коп.

Одним из эффективных средств повышения плодородия эродированных почв является применение минеральных удобрений.

Многочисленные опыты, проведенные в различных районах Азербайджана, показали высокую отзывчивость эродированных почв на внесение удобрений.

Затраты средств и труда на приобретение удобрений и внесение их компенсируются исключительно высокими прибавками урожая (таблица). Так, при внесении под озимую пшеницу азота и фосфора по 30 кг/га действующего начала получен чистый доход в сумме 31 р. 70 коп. под кукурузу—59 р. 50 коп.

Как видно из данных, приведенных выше, наши подсчеты показали, что все расходы, связанные с применением таких противоэрозионных приемов борьбы, как бороздование полосное, глубокое рыхление и другие, очень незначительны и вполне окупаются в первый же год их применения получением дополнительного урожая и уменьшением его себестоимости.

Таким образом, возможность повышения продуктивности сельскохозяйственных культур не ограничивается перспективой расширения площадей под различные с/х угодья, а может быть также обусловлена и повышением урожайности на основе применения последних достижений науки и практики.

Если учесть, что, помимо прямого действия описанных выше агротехнических приемов на урожай сельскохозяйственных культур, сохраняется и сама почва, ее плодородие, ценность их для сельскохозяйственного производства весьма существенна.

#### ЛИТЕРАТУРА

1. Скрябина О. А. Водная эрозия дерново-подзолистых почв Пермской области и некоторые агротехнические приемы борьбы с ней. Автореф дисс. 1964. 2. Белоzer И. М. Агротехническая эффективность противоэрозионной зяблевой вспашки на склонах. Автореф дисс. 1965. 3. Лачинов Л. К. Экономическая эффективность применения удобрений под зерновые культуры. 1964.

Поступило 15. V 1968

Сектор эрозии

В. В. Мишинкина, В. Л. Коробов

Торпаг ерозијасы илә мүбаризәдә агротехники тәдбиrlәrin иgtisadi сәmәrәliji

#### ХУЛАСӘ

Мәгаләдә ерозија гарши бир сыра агротехники тәдбиrlәrin: дондурма шумунда шырымларын ачылмасы, золагларла дәринидән јумшалтма, јујулмуш торпагларла минерал күбрәләрин верилмәси вә с. и гтисади сәмәrәliji шәрһ олунмушдур. Тәдгигатлар көстәрмишдирки, бу тәдбиrlәrin һәјата кечирилмәсинә сәрф олунан мәсариф алынан

Элавә мәһисулун вә онун маја дәјәринин ашағы дүшмәсі несабына һәмин ил өдәнилір. Белә ки, золагларла дәриидән јумшалтма тәдбириниң һәјата кечирилмәсі бүтүн элавә хәрчләри чыхдыгдан соңра 38 ман 28 гәп тәмиз кәлир верир. Бу кәлир дондурма шумунда шырымларын ачылмасы несабына 52 ман 87 гәп, пајызлыг, буғда әкни саһесинә 30 кг/га тә'сирдичи маддә несабы илә азот вә фосфорун верилмәсіндән 31 ман 70 гәп олур. Һәмин дозаларын гарбыдалы әкни саһесинә тәтбигиндән тәмиз кәлир 59 ман 50 гәп-жи тәшкил етмишdir.

Көстәрилән тәдбиirlәrin һәјата кечирилмәсі кәнд тәсәррүфаты бит-киләринин мәһисулдарлығыны артырмагла жаңашы, торпағын мүйитлини горујуб сахлајыр.

Д. А. ДЖАБАРОВ, М. К. ГАНИЕВ

## ДЕЙСТВИЕ ОСЕРНЕНОГО КЕРОСИНА НА КОЖУ ЖИВОТНЫХ

Результаты нашего исследования показали, что осерненный керосин является эффективным средством против чесотки, экземы и подкожного овода крупного рогатого скота. Осерненный керосин испытан в виде водных эмульсий и линиментов. Поэтому изучение влияния его на кожу животных очень важно.

Для опыта было взято 33 кролика, столько же телят и бычков до годовалого возраста.

После втирания осерненного керосина в чистом виде на коже кроликов при пальпации через 1—3 суток отмечались боли, утолщение кожи и покраснение эпидермиса. На 4—6-й день было замечено незначительное покраснение кожи эпидермиса, а на 6—8-й день отмечалась сухость кожи. Начиная с 9—12-го дня наблюдалось выпадение (частичное) волос. Это особенно было заметно у молодых кроликов. Выпадение волос на спине животных восстанавливается через 2 месяца.

Для предупреждения выпадения волос было использовано вазелиновое масло на осерненном керосине в соотношениях 1:1, 1:2, 1:3, 1:4 и 1:5 (в каждом случае осерненный керосин взят по одной части).

Установлено, что от втирания (в смеси 1:1) осерненного керосина на вазелиновом масле через 1—3 суток на коже кроликов при пальпации отмечена болевая чувствительность и утолщение ее. Также при осмотре было отмечено незначительное покраснение кожи эпидермиса. На 4—6-й день было отмечено незначительное утолщение кожи. Указанные изменения проходили в течение 12 дней.

После втирания смеси (1:2) осерненного керосина с вазелиновым маслом в кожу кроликов на 1—3 сутки отмечается незначительное утолщение ее и боль.

Указанные изменения проходили в течение одной недели. От втирания линимента на вазелиновом масле (1:3) на коже кроликов особых изменений не отмечалось.

Осерненный керосин в воде не растворяется, поэтому считаем нужным приготовить водные его растворы с эмульгатором жидким сульфанолом (1:1 или 1:2).

При втирании осерненного керосина в концентрации 3% уже через 1—2 суток. От применения 5%-ных растворов изменения кожи кроликов были аналогичными и проходили на 2—3 сутки. От 10%-ного раствора осерненного керосина изменения

кожи проходил через 5—6 суток. 20 %-ный раствор осерненного керосина дает более заметные изменения кожи кроликов. В этих случаях уже через 24 ч после нанесения раствора на кожу кролика отмечается значительное утолщение, а также и утолщение подкожной клетчатки. При пальпации животные реагируют. Через 3—6 суток указанные изменения замедляются и отмечается высыхание эпидермиса кожи и покраснение ее. Указанные изменения проходят уже через 12 суток с незначительным выпадением волос. Основные изменения при этом сводились к потере блеска волос, небольшому утолщению кожи, частичному подсыханию эпидермиса.

Отслоение и шелушение кожи ни в одном случае не наблюдались. После втирания в кожу кролика осерненного керосина в чистом виде (жидкого) местная температура кожи на 1—3-й день повышается в пределах 2,5—1,5°C. На следующие сутки постепенно температура кожи выравнивается и восстанавливается через 6—8 суток. С появлением сухости кожи, прохождением гиперемии и частичным выпадением волос незначительно понижается местная температура кожи (0,5—1°C, см. табл. 1). От водных растворов высоких концентраций (10—20%) осерненного керосина на вазелиновом масле (1:1; 1:2) также отмечается повышение местной температуры кожи на 1,8—1,1°C.

Таблица 1  
Средние данные изменения местной температуры кожи у кроликов  
после втирания осерненного керосина

Концентрация в соотношении	Количество животных	До втирания	Местная температура, °C											
			После втирания (сутки)											
			1	2	3	4	5	6	7	8	9	10	11	12
Чистая	3	35,0	38,5	38,0	37,8	37,1	36,6	38,0	35,0	34,5	34,0	35,0	34,0	-
1:1	3	35,3	37,0	36,8	36,0	36,0	34,4	34,0	34,5	34,3	35,	35,3	-	-
1:2	3	35,4	36,5	36,0	36,0	35,9	35,0	35,0	35,0	35,5	35,	35,3	-	-
1:3	3	35,5	35,2	35,0	34,7	35,0	35,5	35,5	-	-	-	-	-	-
1:4	3	35,4	35,8	35,7	35,6	35,5	35,4	-	-	-	-	-	-	-
1:5	3	35,5	35,8	35,7	35,6	35,5	35,4	-	-	-	-	-	-	-
Водные растворы с жидким сульфанилом														
1	3	35,2	35,1	35,2	-	-	-	-	-	-	-	-	-	-
2	3	35,3	35,5	35,3	35,3	-	-	-	-	-	-	-	-	-
3	3	35,4	35,7	35,6	35,5	35,4	-	-	-	-	-	-	-	-
10	3	35,5	36,0	35,8	35,6	35,5	35,5	-	-	-	-	-	-	-
20	3	35,4	36,8	36,5	36,8	35,8	35,5	35,0	34,3	34,0	34,5	35,0	35,4	-

При втирании осерненного керосина 3 %-ной концентрации еще заметные отклонения исчезли уже через 1—2 суток. От применения 5 %-ного раствора изменения были аналогичными и проходили через 2—3 суток. Основные изменения при этом сводились к небольшому утолщению кожи, частичному подсыханию эпидермиса. От применения осерненного керосина той же концентрации уже на 5 сутки почти никаких изменений обнаружено не было. 20 %-ный раствор осерненного керосина дает более выраженные изменения после втирания в кожу крупного рогатого скота: утолщение кожи, боли при пальпации и подсыхание эпидермиса, потеря блеска волос и частичное выпадение их. Указанные изменения проходили в течение второй недели.

С повышением концентрации осерненного керосина увеличивалась интенсивность местных изменений. При нанесении препарата в чистом виде через 24 ч на кожу крупного рогатого скота отмечалось значительное утолщение ее, а также припухание подкожной клетчатки. При пальпации животные реагировали. В ходе опытов установлено, что от действия осерненного керосина через 10—15 дней происходит выпадение волос на спине животных, особенно у молодняка крупного рогатого скота.

Покраснение эпидермиса, утолщение кожи и подкожной клетчатки высыхание кожи и другие изменения происходят в течение 15—25 дней, а выпадение волос на спине животных восстанавливается через 2 месяца.

При проведении опытов как на кроликах, так и на крупном рогатом скоте установлено, что осерненным керосином в смеси с вазелиновым маслом можно предупредить выпадение волос после втирания в кожу спины. Осерненный керосин на вазелиновом масле (1:1) дает большое утолщение, а при пальпации—боли кожи. От смесей при концентрации 1:2 и 1:3 на коже животных отмечается небольшое утолщение. При втирании смесей более высоких концентраций (1:4 и 1:5) не происходит таких изменений кожи у крупного рогатого скота.

После втирания в кожу крупного рогатого скота низких концентраций водных растворов осерненного керосина (5—10%) и смеси на вазелиновом масле (1:2, 1:3) местная температура кожи мало изменяется. Повышение температуры на 0,6—0,9°C связано с покраснением эпидермиса кожи.

После втирания в кожу чистого осерненного керосина в виде 20 %-ной водной эмульсии и линимента (1:1) в первые двое суток местная температура кожи повышается в среднем на 1—2°C.

От высоких концентраций осерненного керосина, а также в чистом виде и 20 %-ной концентрации в период выпадения волос отмечается незначительное понижение кожной температуры на 0,4—1,0°C (см. табл. 2).

Таблица 2

Средние данные изменений местной температуры кожи у крупного рогатого скота после втирания осерненного керосина

Концентрация в соотношении	Количество животных	До втирания	Местная температура, °C											
			После втирания (сутки)											
			1	2	3	4	5	6	7	8	9	10	11	12
Чистое	3	34,8	34,8	38,5	38,0	37,5	37,0	36,0	35,0	34,0	33,8	33,5	34,0	34,3
1:1	3	34,5	36,4	36,3	36,0	34,6	34,6	33,5	33,6	33,4	34,0	34,3	34,5	34,5
1:2	3	34,4	35,3	35,5	35,0	34,7	34,5	34,0	34,0	34,3	34,5	34,5	34,5	34,5
1:3	3	34,5	35,1	35,2	35,0	34,9	34,8	34,8	34,5	34,5	34,5	34,5	34,5	34,5
1:4	3	34,6	34,8	34,7	34,6	34,6	34,6	34,6	34,6	34,6	34,6	34,6	34,6	34,6
1:5	3	34,7	34,9	34,8	34,7	-	-	-	-	-	-	-	-	-
Осерненный керосин на вазелиновом масле														
1:1	3	34,5	36,4	36,3	36,0	34,6	34,6	33,5	33,6	33,4	34,0	34,3	34,5	34,5
1:2	3	34,4	35,3	35,5	35,0	34,7	34,5	34,0	34,0	34,3	34,5	34,5	34,5	34,5
1:3	3	34,5	35,1	35,2	35,0	34,9	34,8	34,8	34,8	34,8	34,8	34,8	34,8	34,8
1:4	3	34,6	34,8	34,7	34,6	34,6	34,6	34,6	34,6	34,6	34,6	34,6	34,6	34,6
1:5	3	34,7	34,9	34,8	34,7	-	-	-	-	-	-	-	-	-
Водные растворы с жидким сульфанилом (1:0,5)														
1%	3	34,3	34,3	34,2	34,3	-	-	-	-	-	-	-	-	-
3%	3	34,5	34,7	34,6	34,5	34,5	34,5	34,5	34,5	34,5	34,5	34,5	34,5	34,5
5%	3	34,4	34,9	34,7	34,6	34,6	34,6	34,6	34,6	34,6	34,6	34,6	34,6	34,6
10%	3	35,5	35,3	35,0	34,8	34,6	34,6	34,5	34,5	34,5	34,5	34,5	34,5	34,5
20%	3	34,7	36,0	35,5	35,0	34,5	34,5	34,0	33,7	34,0	34,0	34,1	34,4	34,6

Опыты, проведенные на кроликах и крупном рогатом скоте, показали, что после втирания осеннеенного керосина в чистом виде на коже появляется покраснение эпидермиса, повышается местная температура ее, после чего через 8—12 дней начинается частичное выпадение волос. В это время от водных растворов и линиментов при втирании их в кожу животных отмечаются легкообратимые изменения.

Институт ветеринарии

Поступило 25. III 1968

Ч. Э. Чабаров, М. К. Ганиев

## Күкүрдләшдирилмиш нефтиң һөјвандарының дәрисинә тә'сири

### ХУЛАСЭ

Күкүрдләшдирилмиш нефт бајтарлыг тәчрүбәсинде илк дәфә Азәрбајҹан Елми Тәдигат Бајтарлыг Институтунда сынағдан кечирилмишdir. Ајлын олмушдур ки препарат ирибујнузлу һөјвандарының дәри мозаланына вә gotur хәстәлийнә гаршы еффектли васитәдир.

Тәчрүбәләр нәтижәсендә мүәјјән едилмишdir ки, күкүрдләшдирилмиш нефти тәмиз һалда довшанын вә гарамалының дәрисинә сүртдүкдән соңра дәридә гызарты, јерли һәрарәтин јүксәлмәси вә нәһајет 8—12 күндән соңра дәридә түккләрин төкүлмәси мүшәнидә едилir. Лакин күкүрдләшдирилмиш нефтиң дуру мәлһәмләри вә су илә мәһлүлү дәријә сүртүлдүкдә зәиф дәјишиләр әмәлә кәтирир.

АЗӘРБАЙҖАН ССР ЕЛМЛӘР АКАДЕМИЈАСЫНЫН МӘРҮЗӘЛӘРИ  
ДОКЛАДЫ АКАДЕМИИ НАУК АЗЕРБАЙДЖАНСКОЙ ССР

ТОМ XXVI

№ 3

1970

МЕДИЦИНА

А. Б. АГАЛАРОВ

## ГИСТОПАТОЛОГИЯ АНГИОРЕТИКУЛОМ И АНГИОРЕТИКУЛОСАРКОМ ПОЛУШАРИЙ БОЛЬШОГО МОЗГА ПОСЛЕ ИХ СУБТОТАЛЬНОГО УДАЛЕНИЯ

(Представлено академиком АН Азербайджанской ССР Дж. М. Абдуллаевым)

Ангиоретикулома и ангиоретикулосаркома по сравнению с другими опухолями головного мозга встречаются довольно редко. Как указывает Л. И. Смирнов, они встречаются в 5—7% случаев, Е. В. Шмидт — в 4,7% среди всех внутричерепных новообразований.

Эти опухоли могут быть как доброкачественными (ангиоретикулома), так и злокачественными (ангиоретикулосаркомы).

По данным вышеуказанных авторов, ангиоретикулосаркомы могут локализоваться в любой доле мозга. Достигая больших размеров, они занимают две, три и даже четыре доли. По данным А. Г. Зыковой, чаще всего они располагаются в височной и смежных с ней теменной и лобной областях. Развиваются они в белом веществе мозга поверхности. Ангиоретикулосаркомы могут расти в любом направлении каждой доли мозга (А. Г. Зыкова).

Лечение больных с ангиоретикулами и ангиоретикулосаркомами — в основном хирургическое. По данным А. Г. Зыковой, прогноз после удаления ангиоретикулом обычно хороший. Лучшие результаты лечения получены у тех больных, которые даже после полного удаления опухоли (по показаниям хирургов) подвергались систематической глубокой рентгено- или гамма-терапии.

Следует отметить, что при изучении довольно обширной литературы нам не удалось найти ни одной работы, которая была бы посвящена динамике реакции опухоли на операционную травму. Для выяснения этих вопросов нами проведены исследования мозга больных, погибших в разные сроки после субтотального удаления ангиоретикуломы и ангиоретикулосаркомы, методом гистотопографических срезов через весь мозг с сопоставлением результатов исследования биоптического материала, взятого в момент первой или повторной операций. Окраски производили гематоксилин-эозином по ван-Гизону, Нисслю, Шпильмейеру, Пердро, Снесареву, Футу.

Из больных, умерших после удаления ангиоретикуломы, получивших большого мозга, 4 оперированы однократно, 2—повторно. Рентгенотерапию применяли только к двум повторного оперированным. Среди исследованных мы выделили две группы. Первая группа—4 больных, у которых операция произведена однократно; смерть наступила через 2 $\frac{1}{2}$ , 4, 3 дня и 4 дня (2 случая) после операции. Вторая группа—2 больных, оперированных неоднократно; смерть наступила через 22 ч и через 6 месяцев 17 дней после последней операции.

Первая группа. После операции отмечены регресс опухолевых клеток вблизи участка геморрагического размягчения и мелкоточечных кровоизлияний:

мы приводим только изменения самой опухолевой ткани, так как патогистологическая картина самой операционной раны и динамика ее изменений подробно описаны нами в других работах.

Только в одном наблюдении умершего через 4 дня после операции отмечено некоторое различие в характере опухоли до и после операции, которое следует отнести за счет неоднородности опухолевой ткани, ибо эти изменения обнаружены далеко от зоны операции.

Вторая группа. При рассмотрении случаев данной группы в одном из них мы отметили, что несмотря на продолжительность периода между первой и второй операцией (1 месяц 29 дней), больной умер через 22 ч после второй операции. Как в биоптическом материале, так и в материале, взятом после вскрытия, обнаружены одинаковые изменения.

Ангиоретикулома с явлениями малигнизации, которые характеризовались местами плотноклеточностью, пикнозами ядер опухолевых клеток и наличием митозов.

Наибольший интерес представляет второй случай. Приводим более подробно:

больной оперирован четырехкратно. Смерть—через 6 мес. 17 дней после 4-й операции. Интервалы между первой и второй операциями 1 год 7 мес.; между второй и третьей—11 мес. 13 дней. Между операциями больному проводили рентгенотерапию.

Биопсия в момент первой операции. Ангиоретикулома, встречаются клетки с никнотичными ядрами, имеется умеренный клеточный полиморфизм; на препаратах, окрашенных по Пердро, много коллагеновых волокон.

Биопсия в момент второй операции. Ангиоретикулома, по сравнению с первой биопсией отмечается более плотное расположение опухолевых клеток, встречаются митозы. На препаратах, импрегнированных серебром по методу Пердро, ретикулярные и коллагеновые волокна видны только вокруг кровеносных сосудов.

Вскрытие: опухоль состоит из отдельных узлов, вокруг которых имеется соединительнотканая капсула; однако ткань опухоли имеет строение, характерное для ангиоретикулосаркомы; резко выраженный полиморфизм; много митозов.

Подытоживая данные этого наблюдения, следует обратить внимание, что опухолевая ткань после неоднократных операций и лучевой терапии характеризовалась выраженной малигнизацией.

### Ангиоретикулосаркомы

Всего исследовано 11 больных, умерших после удаления ангиоретикулосаркомы. Они были распределены на 3 группы. К первой группе отнесено 7 больных; смерть наступила через 12 ч—1 сутки (2 слу-

ча), на 5, 9 (2 случая) и 14-й день после операции. Во вторую группу вошел 1 больной, смерть наступила через 10 мес. 25 дней после операции. Третью группу составили 3 больных, оперированных неоднократно. Во второй и третьей группах больные подвергались лучевой терапии.

При рассмотрении наблюдений, относящихся к первой группе, отметили, что до 14-го дня после операции в опухолевой ткани, прилежащей к геморрагическому размягчению, происходят лишь дегенеративные изменения. Отдельные регионарные метастазы, по-видимому, связаны с характером опухолевой ткани, поскольку за этот период никакого прогрессивного роста не обнаружено.

Во всех почти случаях видна была ангиоретикулосаркома, с выраженным клеточным полиморфизмом, с участками некроза, окруженного валом из опухолевых клеток; имеются участки, клетки которых содержат кровяной пигмент гемосидерин; на препаратах, импрегнированных серебром по методу Пердро, видны отдельные ретикулярные волокна.

Случай второй группы отличается от передыдущих хорошо развитой соединительнотканой стромой и обширными некрозами, что связано не только с операцией, но и с гамма-терапией. Однако, несмотря на гамма-терапию, вокруг некрозов отмечен рост опухолевой ткани.

Что-либо с уверенностью сказать об обнаруженных метастазах, настолько связанных с оперативным вмешательством, мы не можем. По-видимому, в возникновении их играет роль как характер опухоли, так и гамма-терапия.

Ниже приводим наблюдения, относящиеся к третьей группе.

В этой группе есть отличительная черта—продолжение роста опухоли. Кроме того, характерно разрастание соединительнотканой стромы, связанной с оперативным вмешательством, гамма-терапией. Возникновение метастазов в определенной степени связано с оперативным вмешательством.

В данных случаях наряду с регионарными метастазами в мозговой ткани наблюдалась метастазы в мягких тканях головы по ходу бывшего раневого канала.

В заключение можно отметить, что опухолевая ткань после операции характеризуется быстрым продолженным ростом, доказательством чему служит быстрое замещение операционного дефекта после повторной операции. Продолженный экстракранеальный рост отмечается также по краю некроза. По-видимому, оперативное вмешательство ускоряет существующее метастазирование, являющееся характерной чертой самой опухоли. Кроме того, оно, как и гамма-терапия, способствует росту соединительнотканой стромы опухоли.

### Выводы

1. В течение 4 (при ангиоретикуломе) и 14 дней (при ангиоретикулосаркоме) в опухолевых клетках, прилежащих к краевому геморрагическому размягчению, происходят дегенеративные изменения.

Эти изменения в основном выражаются в зернистости протоплазмы опухолевых клеток (гематоксилин—эозин, ван-Гизон).

2. После повторных операций наряду с продолженным ростом ангиоретикуломы можно было наблюдать ее малигнизацию. Хирургическое удаление ангиоретикулосаркомы ускоряет метастазирование в опухоли, которое характерно для самой опухоли. Однако при этом

определенную роль играет лучевая терапия, если она применялась в послеоперационный период. Оперативное вмешательство и лучевая терапия (гамма-терапия) способствуют росту соединительной ткани в мозговой ране.

#### ЛИТЕРАТУРА

1. Зыкова А. Г. Клиника ангиоретикулосарком больших полушарий головного мозга. Канд. дисс. Свердловск, 1961.
2. Крон Н. М. Микроскопическое строение опухоли большого мозга. М., 1961.
3. Могильницкий Б. Н., Бирюков М. Л. К вопросу об ангигиобластомах и полиморфноклеточных глиобластомах. Вопросы нейрохирургии, 1939, т. 3, № 1, стр. 45–54.
4. Смирнов Л. И. Патологическая анатомия и патогенез травматических заболеваний нервной системы. ч. 1. М., 1947.
5. Смирнов Л. И. Гистогенез, гистология и топография опухолей мозга ч. 1. М., 1951.
6. Шмидт Е. В. Ангиоретикулома головного мозга. Arch. Neurol. Psychiatr., 1952, vol. 67, pp. 237–252.
7. Гаттер F., Kinsey M. W. The cerebrar hemangioblastomas. Arch. Neurol. Psychiatr., 1953, Bd. 13, s 158–159.
8. Kautzky R. a. Vierdt N. Ein Angioblastom des Grosshirn. Zbl. Neurochir., 1953, Bd. 13, s 158–159.
9. Kuts H. Klinik Histopathologie und Vererbungspathologie der v. Hippel–Lindauerschen Erkrankung. Z. Ges. Neurol. Psychiatr., 1932, Bd. 138, S. 414–427.

АМИ им. Н. Нариманова

Поступило 8. I 1970

#### ЯЗЫКОЗНАНИЕ

Н. С. ДЖИДАЛАЕВ

#### К ВОПРОСУ ОБ ИСТОРИЧЕСКОЙ ОБЩНОСТИ КАВКАЗСКОГО И ПЕРЕДНЕАЗИАТСКОГО МИРОВ

(Представлено академиком АН Азербайджанской ССР М. Ш. Ширалиевым)

Вопрос о генетической близости так называемых древних неиндоевропейских языков Передней Азии (урартского, хурритского, хаттского) с кавказскими (абхазо-адыгскими, дагестанскими, нахскими, картвельскими) до сих пор остается дискуссионным, хотя в известной мере чаша весов склоняется в пользу сторонников этой близости\*.

Оставляя в стороне вопрос об аргументации лингвистической общности, в данном сообщении приведем некоторые факты, которые, как нам представляется, с достаточной убедительностью могут послужить дополнительном доводом в пользу мнения прежде всего о культурно-исторической, а может, и этнической общности кавказского и переднеазиатского миров. Остановимся именно на тех лишь названиях переднеазиатских божеств, которые имеют фонетически тождественные соответствия по крайней мере в двух разных лингвистико-географических точках на Кавказе. Последнее обстоятельство уже сводит на нет возможность случайного совпадения.

Querā — название урартского божества [1], 373. У лаков существует „Праздник выхода плуга“ („Праздник первой борозды“), который, одновременно с „Праздником весны“, проводится в день весеннего равноденствия. Причем и в наше время празднование сопровождается древнейшим языческим ритуалом (торжественные костры перед домами и на священных вершинах, перепрыгивание через костер и заклинание хорошего урожая, ритуальное блюдо — шеничная каша — символ сытости и благополучия, разные игры, состязания и т. п.). Все это свидетельствует, в частности, о широком распространении еще в деревенности культуры и, стало быть, культа земледелия, независимо от их автохтонности. Следует отметить, что совершенная горская

\* Наиболее обстоятельные сведения о состоянии разработки вопроса можно получить из книги известного специалиста по истории и языкам Древнего Востока И. М. Дьяконова „Языки Древней Передней Азии“, М., 1967, в которой автор, хотя и с некоторой осторожностью, высказывает в пользу некоторых языков Кавказа с переднеазиатскими.

традиция террасного земледелия вырабатывалась и отшлифовывалась, видимо, на протяжении не одного столетия.

В связи с этим обращает на себя внимание лакское выражение *qwara dulunna!* „пусть *qwara* даст!“—обычное приветствие—пожелание в адрес того, кто пашет или занят прополкой. *Qwara*—стоит в усеченной форме эргативного падежа; должно быть *qwara*-I (в лакском языке к двухсложным словам с конечным -a аффикс эргативного (= родительного) падежа -I обычно присоединяется непосредственно). Конструкция предложения с переходным глаголом требует постановки „действия“ *qwara* в эргативном падеже. Ср.: *zanna-I dulunna!* „пусть бог даст!“.

И если в урартском *qwera* означает „пренсподия“, „небо“, то можно привести также другое лакское выражение—проклятие: *Ina qwaralasivuj!*—досл. „пусть тебя *qwara* возьмет!“ (т. е. „да исчезнешь, умрешь ты!“) или *Ina, jala lausun, qwara lasivuj!*—досл. „пусть тебя, взяв от нас, *qwara* возьмет!“ (т. е. „да исчезнешь, умрешь ты!“).

Грузинское божество плодородия и урожая Квирина, несомненно, идентично урартскому божеству *Quera* ([2], 135).

*Wašshaw*—хаттское божество (*mašhum//wašhw* — неситское божество) ([3], 120). Название этого божества сохранилось в лакском языке в качестве междометного слова. Выражение *waušaw qijamat* употребляется обычно при плаче—причитаниях по рано умершему человеку:

*Waušaw ucajritar*  
*Ars iwku nitil...*  
„Говорят, *waušaw* кричит  
Мать, у которой сын умер...“

Или: *waušaw buťaj!* *Waušaw*, отец!—употребляется в переносном смысле и выражает разнообразные эмоции, как-то: удивление, восхищение, предупреждение и т. п. В современном лакском языке *wašshaw* имеет определенную семантическую нагрузку: „плач“, „вопль“, „крик“ и т. п. (сравн. также составной глагол *waušaw uciń* „зарывать“).

Хаттское *wašshaw* соотносится с адыгейским божеством *uašho* ([3], 120).

*Allai* (хурритск.) „госпожа“, „владычица“; *alaw-ini/e* (урартск.) „господский“—обычный эпитет богини *Ištar* ([1], 381). В лакском языке оно сохранилось в качестве междометного слова, употребляющегося, например, при резких болях: *allaj, dadaj!* (*allaw dadaj!*) „ой, мама!“; *allaj tul čan!* „ой, моя нога!“ (к примеру, когда на ногу упал камень).

В удинском языке как обычный эпитет бога употребляется *alloj*: *te alloj arcı bixoldzıh* досл.: „ тот выше сидящий бог“ (т. е. „всевышний“). *Alloj* имеет также значения: „небо“, „небесный“\* и все то, что связана с возвышенным [4].

#### ЛИТЕРАТУРА

1. Дьяконов И. М. Справительно-грамматический обзор хурритского и урартского языков. Переднеазиатский сб. М., 1961.
2. Дьяконов И. М. Языки Древней Передней Азии. М., 1967.
3. Меликишвили Г. А. „Наири—Урарту“. Тбилиси, 1954.
4. Справка каанд. филологических наук В. Л. Гукасяна. Институт литературы и языка

Поступило 29. II 1968

\* И. И. Мещанинов урартск. „Али-Сушуни“ переводит как „вышенебесное“, где ал имеет значение „высшее“, „высокое“, „небесное“, и связывает с удинским ал//аллоj. (И. И. Мещанинов. „Язык Ванских клинообразных надписей“. М., 1932, т. 1, стр. 78).

Н. С. Чидалаев

#### Гафгаз вэ Өн Асија халгларынын тарихи элагэлэринэ даир

##### ХУЛАСЭ

Инди-Авропа дилләри айләсинә мәңсуб олмајан Өн Асија дилләринин (хуррит, һатт, урарт) Гафгаз дилләри илә көнетик җаҳыныны мәсәләси елми аләминдә һәләлик мубаһисәлидир.

Мәгаләдә һәмни халгларын мәдәни вә гисмән дә етник элагэләрилә бағлы олан бә'зи лексик фактлара тохунулмуштур. Бунлардан биринчи нөвәбәдә нәзәр-диггәти чәлб едән Өн Асија халглары аллаһларынын адларыдыр. Бу адлар кичичик фонетик дәјишилмәләрлә Гафгаз дилләринин бә'зиләриндә мөвчуддур.

Урарту аллаһларындан биринин ады *Quera*—дыр ([1], 373). Дағыстан халгларындан олан лакларда „Jaz бајрамы“ илә тәхминән ejni вахта дүшән „Илк шырым (шумда) бајрамы“ вардыр. Бајрам күнү мүгәддәс тәпәләрдә дә евләриң габағында тонгаллар галаныр, һамы аловун үстүндән һоппанараг бол мәңсул арзу едир. Соңра тохлуг вә фираванлыг символу кими буғда ашы биширилир. Бүтүн бунлар көстәрир ки, гәдимдә лакларда әкиницилил күлтү кениш мөвгө тутмуштур.

Бунунда элагәдар олараг, лак дилиндәки бир ифадә нәзәр-диггәти чәлб едир. Экин әкәни вә җаҳуд сулајаны көрдүкдә, лаклар она *qewara dulunna!* (гоj *qwara* версии) ифадәси илә мұрачиәт едирләр. Бурада *Qwara* еркатив һалда дурур.

Урарту дилиндә *quera*-нын „көj“, „сәма“ мә'насында да ишләндүйни нәзәрә алараг, лак дилиндәки бир гарғышы хатырлајаг: *ina qwara lasivuj!* (сәни *qwara* вурсун, һәрфән: гоj сәни *qwara* апарсын!) вә җаҳуд *ina jala lausun, qwara eosuenav* (һәрфән: гоj сәни биздән *qwara* апарсын, јә'ни сәни өләсән, јох оласан!).

Күрчүләрин мәңсулларлыг вә бәрәкәт аллаһы Квириа „шүбһәсиз ки, Урарту аллаһы *Quera* илә ejnidir ([2], 125).

Һатталлаһы—*Wašhan* (Несит аллаһы—*mašhum//wašhunw*; 3. 120). Лак дилиндә бу илә ныда шәклиниңдә галмышдыр. *Waušau qijama* та адәтән чаван өлмүш адамын җәнәзәси үзәриндә ағлајан заман ифадә едилер:

*waušau ucajritar*  
*Ars ivku nitil...*  
„Дејирләр, *Waušaw* ҹағырыр  
Ананы, һансы ки, оғлу өлмүшлүр...“

Һатталлаһы *Wašhan* адыг дилиндәки *uašho* (аллаһ) илә ejnidjet тәшкүл едир ([3], 120).

*Allaj* (хуррит.)—„ханым“, „хөкмдар“; *alaw-ini/e* (урарту ағаја мәңсуб, ағалыг) аллаһ *Ištar*-ын ады епитетләридир ([1], 381). Лак дилиндә бунлар илә ныда шәклиниңдә мұһафизә олунуб сахланмышыр. Шиддәтли ағры олдугда *allaj, dadaj!* (*allaw dadaj!*) „Аj ana!“, *allaj tul čan!* („аj, мәним аյагым!“) дејилер.

Удин дилиндә „аллаһ“ын епитети кими *allaj* сөзү ишләдилер. И. И. Мещанинову фикринчо, урарту дилиндә „Ал-Сушуни“—јухары, сәмәви демәкдир [4]. Белә олдугда, лак вә удин дилләриндәки *allaj* урарту дилиндәки форма илә тәхминән ejnidjet тәшкүл едир.

## Петрографија

Ә. Д. Қаримов, І. С. Маммадов, Ф. Ә. Қаримов. Зәнкәзүр дағ силилесинин гәрб јамачларында төрәмә кварцтәрләриңиң эмәлә көлмәсін вә јашына даир 48

## Кеокимја

Ф. Һ. Дадашов, Ә. М. Маммадов. Шәрги Азәрбајҹанда карбоидрокен газларының тәркибинде һелиум газы . . . . . 53

## Биткиләрин биокимјасы

Н. М. Исмаилов, Ш. А. Маммадова. Іниду дәлибәик биткиниң сәрбәст амин туршулары мүбадиләсина хлорид сульфат дузлугунуң тә'сирі . . . . . 57

## Биткичилик

В. С. Новрузов. Губа-Гусар рајонларында епитет ышбәләрин вертикаль яйылмасы . . . . . 61

З. С. Эзизбәјов, Г. А. Рзаев, Е. М. Зејналова. Мұхталиф кејијәттә дүзларының памбыг биткини јарнагында сәрбәст амин туршулары топланымасына тә'сирі . . . . . 64

## Ботаника

Т.М. Ахундов, Л. И. Прилипко. Җәнуби Загағазијада ванатура зымыртыканының (*Erlingium wanaturl Wogono*) тапылдығы және јер вә онун көбәләкләрлә: әлагәсі . . . . . 68

## Агрокимја

В. В. Вишникова, В. Л. Коробов. Торпағ ерозијасы илә мүбаризәдә агротехники тәдбиirlәриниң итисади сәмәрәлүү . . . . . 71

## Бајтарлыг

Ч. Ә. Чаббаров, М. К. Гәнијев. Қықурдләшдирилмиш нефтиң һејванларының дәрисинә тә'сирі . . . . . 75

## Тибб

А. Б. Агаларов. Бејүк бејни күрәләриниң англоретикулом вә англоретикулосаркомасының субтал чыхарылмасындан соңра олаң һистопатологија . . . . . 79

## Диңчиллик

Н. С. Чидалаев. Гафгаз вә Өн-Асија халгларының тарихи әлагәләрниң даир . . . . . 83

## МУНДӘРИЧАТ

### Ријазијјат

Ариф Җәфәров. Сефра үзәрниңда вә парчада тә'жин олунмуш функцияларының ән жаңышы жаһынлашма нәзәријәсінин тәрәс мәсәләсін һагында . . . . . 3

### Еластигијјат нәзәријәсі

Ж. Ә. Эмәнзәдә, И. И. Семёнова. Дәйнешән гальваник оxa нәзәрәни симметрик еластикти плитәсінің таразығ мәсәләсінин һәлли . . . . . 7

### Нәзәри физика

Ж. М. Сейидов, М. Н. Абдуллаев. Мүрәккәб шызамлы магнит кристалдарында икى магнионлу удулмаја даир . . . . . 11

### Енергетика

Ф. Һ. Иүсейинов, А. Һ. Тамаев. Ихтијары конфигурацијалы электрик дәврәләриниң дискрет принципиң максимумы әсасында һесаблама алгоритми һагында . . . . . 15

### Кимја

Р. Һ. Исмаилов, С. М. Элиев, Н. Г. Рзаев. Алұмосиликат катализаторунун штиракының толуолун ә-олефиннән илкілләшмәсі . . . . . 19

Ә. С. Рзаев, Ф. А. Абдуллаев, И. Һ. Исмаилзәдә, Һ. М. Маммадов, Л. Д. Маммадова. 3-кетобутыл спирти төрәмәләриниң тәдгиги . . . . . 22

### Физики кимја

Ә. И. Әлакбаров, М. Ә. Баబаева, Ф. С. Новрузова. Сулу вә суусуз хлорид туршусу мәнлүлүндә теллурүн електролитик чәкдүрүлмәсі . . . . . 26

### Ұзын кимја

К. И. Садыков, О. М. Мәһәррәмова. (2,5-диметилбензоил) — пропион туршусунун ба'зи ефиirlәриниң синтези . . . . . 30

С. Д. Медиев, М. Р. Мусаев, Е. Е. Нєждирова, Т. С. Сәмәдов. Сианиорборнилфенол вә онун ефиirlәриниң синтези . . . . . 33

### Газыма

С. М. Гулиев, Ә. П. Мәңсурев. Гууларының истиемары заманы горујучу замәрә тә'сир едән әлавә харичи тәэсігии тә'жиниң даир . . . . . 35

### Нефт қеолокијасы

Б. Ә. Ыачыев. Уст Тәбашир дәврүндә Газах чөкәклиниңда баш вермиш рәгесвары һәрәкәтәриниң үзүсүсүйәтләрен даир . . . . . 40

В. З. Симхажев, Һ. М. Нєждаров, Ә. И. Нинайлов. Шимали Җағыстан җатагларында Алт Тәбашир вә Йура чөкүнүләриниң коллекторларында һидродинамики тәдгиги . . . . . 45

## СОДЕРЖАНИЕ

### Математика

- Ариф С. Джагаров. Об обратной задаче теории наилучших приближений функций на сфере и на отрезке . . . . . 3

### Теория упругости

- Ю. А. Амейзаде, И. И. Семенова. Решение задачи об осесимметричном упругом равновесии плиты переменной толщины . . . . . 7

### Теоретическая физика

- Ю. М. Сейдов, М. Н. Абдуллаев. К вопросу двухмагнитного поглощения в сложных магнито-упорядоченных кристаллах . . . . . 11

### Энергетика

- Ф. Г. Гусейнов, А. Г. Тамасев. О возможностях применения принципа максимума Понтрягина для расчета электрических цепей . . . . . 15

### Химия

- Р. Г. Исмайлов, С. М. Алиев, Н. К. Раев. Алкилирование толуола  $\alpha$ -олефинами в присутствии синтетических алюмосиликатов . . . . . 19

- А. С. Раев, Ф. А. Абдуллаев, И. Г. Исмайлзаде, И. М. Мамедов, Л. Мамедова. Исследование производных  $\beta$ -кетобутилового спирта . . . . . 22

### Физическая химия

- А. И. Алекперов, М. А. Бабаева, Ф. С. Новрузова, С. Д. Дадашева. Электроосаждение теллура из солянокислых, водных и неводных растворов . . . . . 26

### Органическая химия

- К. И. Садыхов, Н. М. Магеррамова. Синтез некоторых эфиров  $\beta$ -(2,5-диметилбензоил)-пропионовой кислоты . . . . . 30

- С. Д. Мехтиев, М. Р. Мусаев, Э. Э. Гайдарова, Т. С. Самедова. Синтез цианиборнилфенолов и их эфиров . . . . . 33

### Бурение

- С. М. Кулиев, А. П. Мансуров. К определению дополнительного внешнего давления на обсадную колонну при эксплуатации скважин . . . . . 35

### Геология нефти

- Б. А. Гаджиев. Характер проявления колебательных движений в верхнемедовое время в пределах Казахского прогиба (М. Кавказ) . . . . . 40

- В. З. Симхазев, Г. М. Гайдаров, А. И. Ниязалиев. Гидродинамические исследования коллекторских свойств нижнемеловых и юрских отложений на месторождениях Северного Дагестана . . . . . 45

### Петрография

- А. Д. Керимов, Г. С. Мамедов, Ф. А. Керимов. К вопросу об условиях образования и возрасте вторичных кварцитов западного склона Зангезурского хребта . . . . . 48

Геохимия  
Ф. Г. Дадашев, А. М. Мамедов. Гелиосность углеводородных газов Восточного Азербайджана . . . . . 53

### Биохимия растений

- Н. М. Исмаилов, Ш. А. Мамедова. Обмен свободных аминокислот у дурмана индейского при хлоридно-сульфатном засолении . . . . . 57

### Ботаника

- В. С. Новрузов. О вертикальном распространении эпифитных лишайников в условиях Куба-Кусарского района . . . . . 61

### Растениеводство

- З. С. Азизбекова, Т. А. Рзаев, Э. М. Мамедова-Зейналова. Содержание свободных аминокислот в листьях хлопчатника в условиях разнокачественного засоления . . . . . 64

### Ботаника

- Т. М. Ахундов, Л. И. Прилипко. Новое местонахождение синеголовника Ванатура (*Eringium wanaturi* Wogono) в Южном Закавказье и его консортивные микологические связи . . . . . 68

### Агрономия

- В. В. Мишинкина, В. Л. Коробов. Экономическая эффективность отдельных агротехнических приемов борьбы с эрозией почв . . . . . 71

### Ветеринария

- Д. А. Джабаров, М. К. Ганиев. Действие осернистого керосина на кожу животных . . . . . 75

### Медицина

- А. Б. Агаларов. Гистопатология ангиоретикулом и ангиоретикулосарком полушарий большого мозга после их субтотального удаления . . . . . 79

### Языкознание

- Н. С. Джидалаев. К вопросу об исторической общности кавказского и переднеазиатского миров . . . . . 83



**40 коп.**

**Индекс  
76355**